

COMUNICAÇÃO TÉCNICA

Nº 179951

Métodos geofísicos aplicados à investigação geotécnica: aplicações em obras de engenharia e barragens

Leonides Guirelli Netto

Palestra apresentada Semana de Estudos da Geologia, 2025.

A série "Comunicação Técnica" compreende trabalhos elaborados por técnicos do IPT, apresentados em eventos, publicados em revistas especializadas ou quando seu conteúdo apresentar relevância pública. **PROIBIDO REPRODUÇÃO**

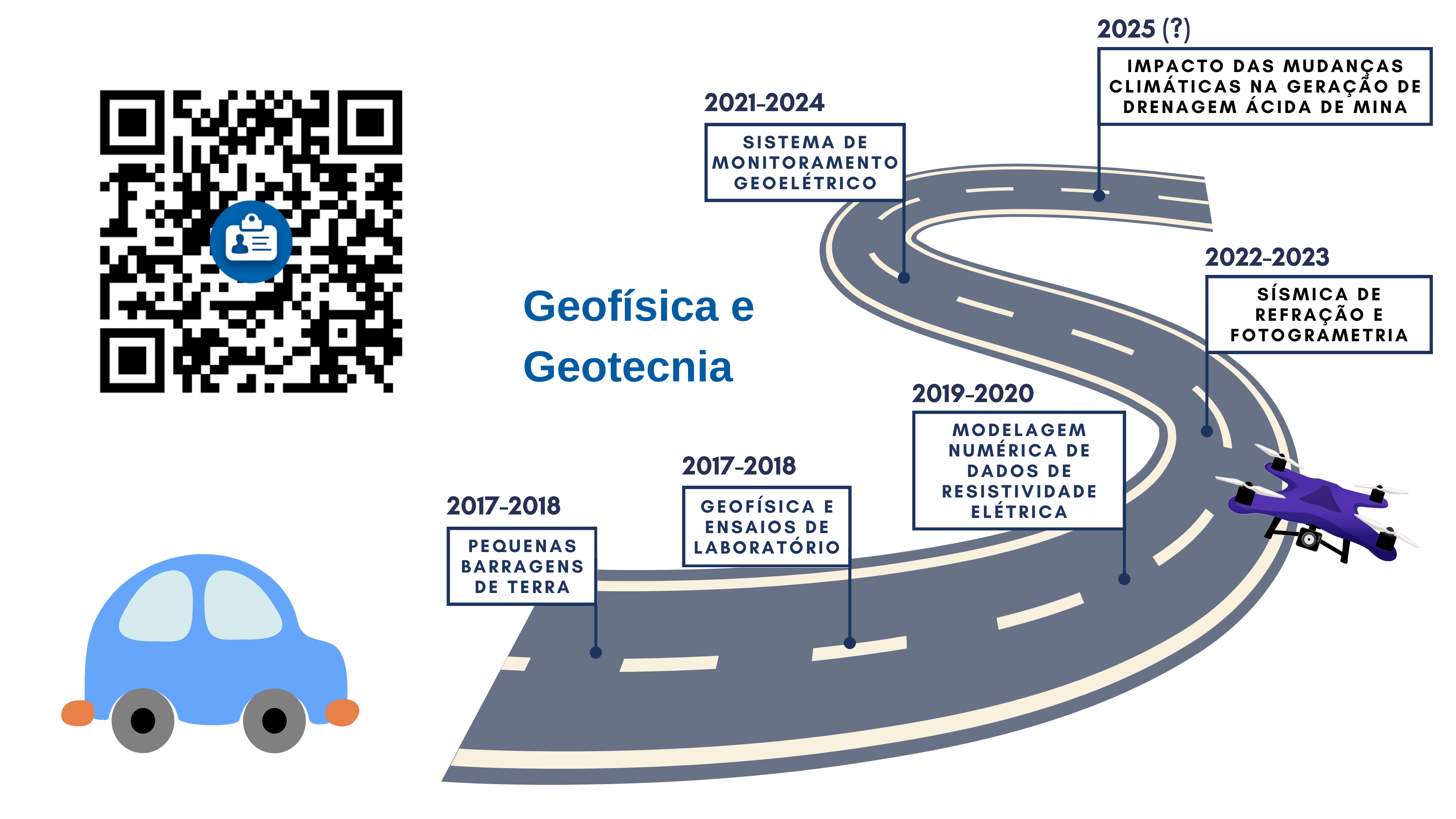
Instituto de Pesquisas Tecnológicas do Estado de São Paulo S/A - IPT
Av. Prof. Almeida Prado, 532 | Cidade Universitária ou Caixa Postal 0141 | CEP 01064-970
São Paulo | SP | Brasil | CEP 05508-901
Tel 11 3767 4374/4000 | Fax 11 3767-4099

www.ipt.br



Leonides Guireli Netto Pesquisador IPT





tópicos da apresentação

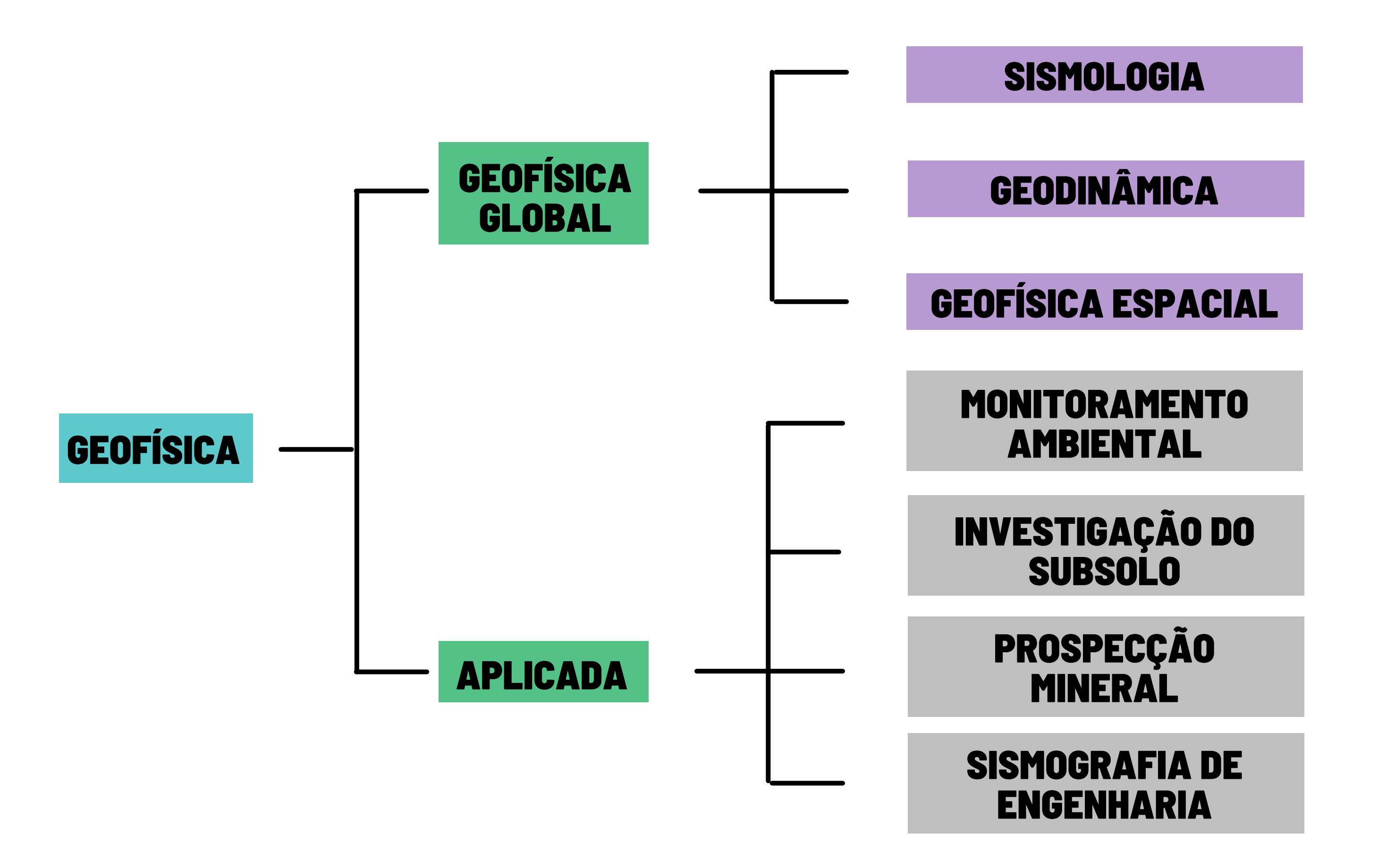
- 1. Fundamentos da Geofísica Aplicada.
- 2. Estudos de casos.

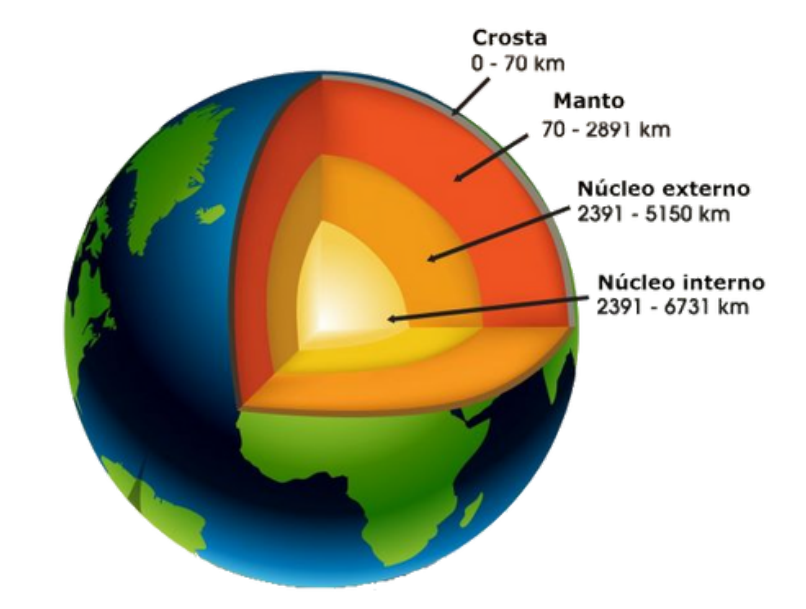
Mina Osamu Utsumi e estudo em laboratório do IPT.

Fundamentos da Geofísica Aplicada

O que é geofisica?









Áreas da Geofísica Aplicada







Engenharia

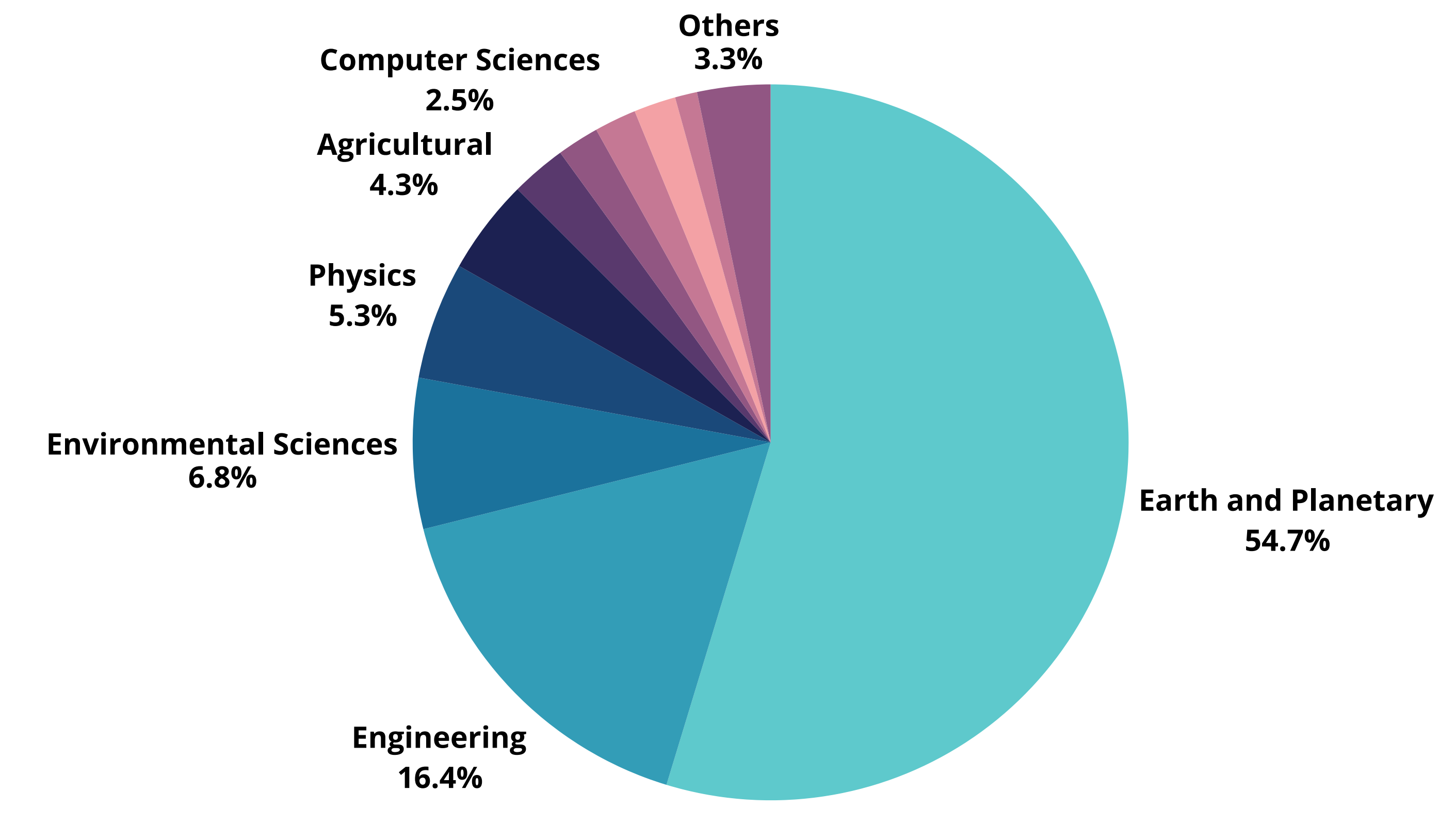
Geotecnia e Meio Ambiente

Ciência que estuda o interior da Terra por meio de medições indiretas de propriedades físicas, sem a necessidade de realizar perfurações em subsuperfície.

Ferramenta de investigação do meio físico (geólogico) que fornece suporte as investigações diretas (invasivas), como sondagens, abertura de trincheiras, amostragem de solo, etc.



Áreas das principais publicações de Geofísica



Fonte: Scopus, 2019.

Como a geofísica explora o interior da Terra?



A geofísica explora as diferentes propriedades físicas da Terra



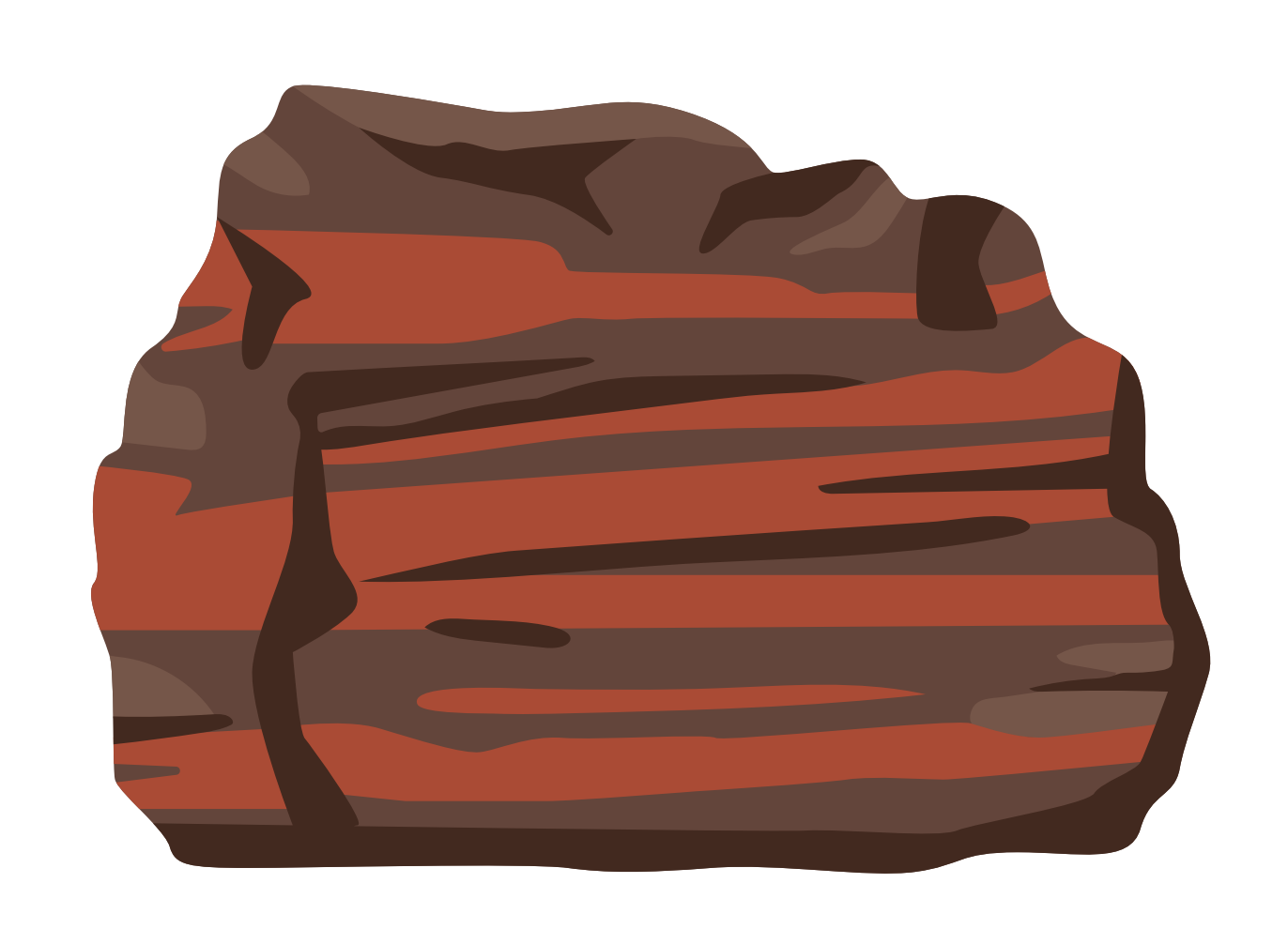
$$V = IR$$

$$P = \frac{m}{v}$$

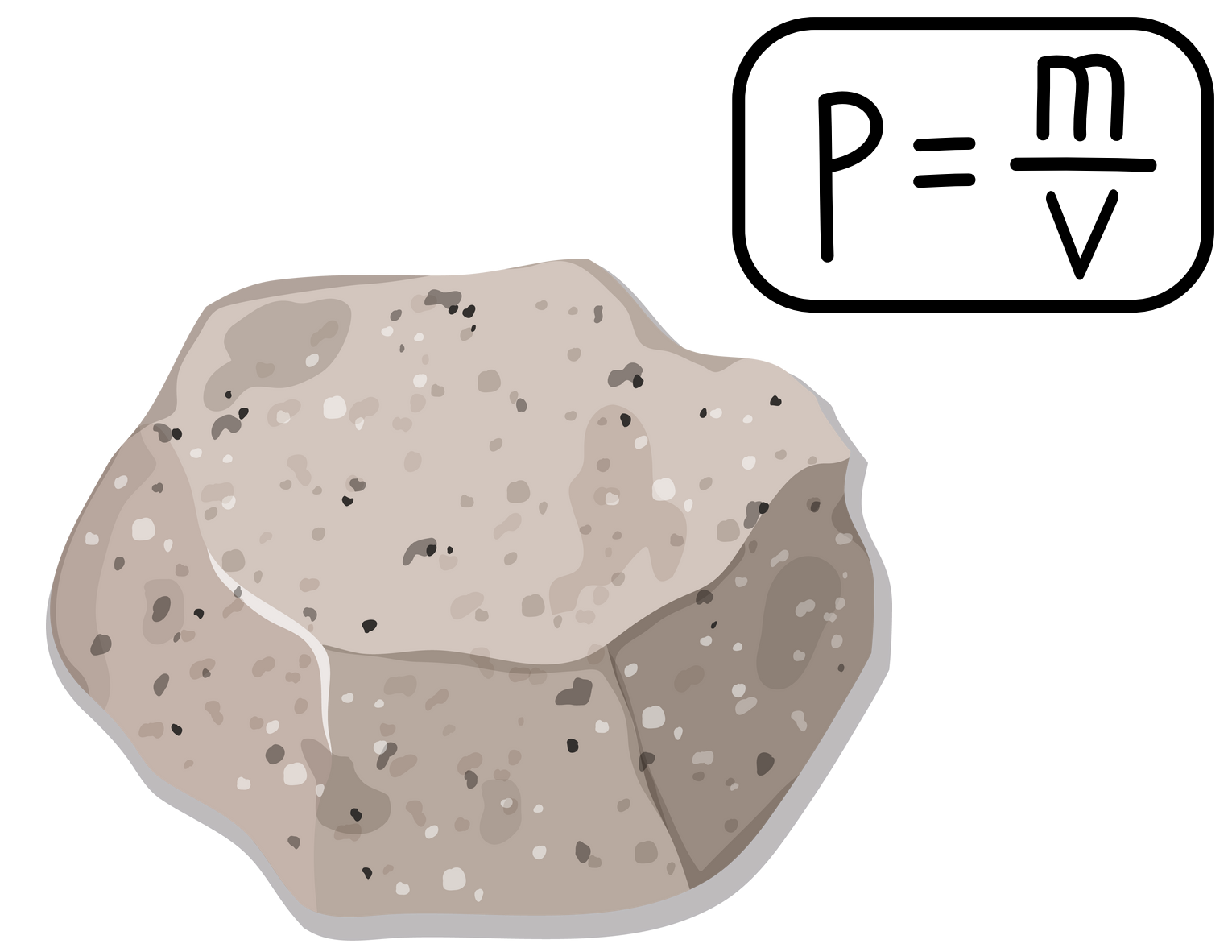
$$v = f\lambda$$

$$E = -$$

Como essas relações são exploradas no meio físico?

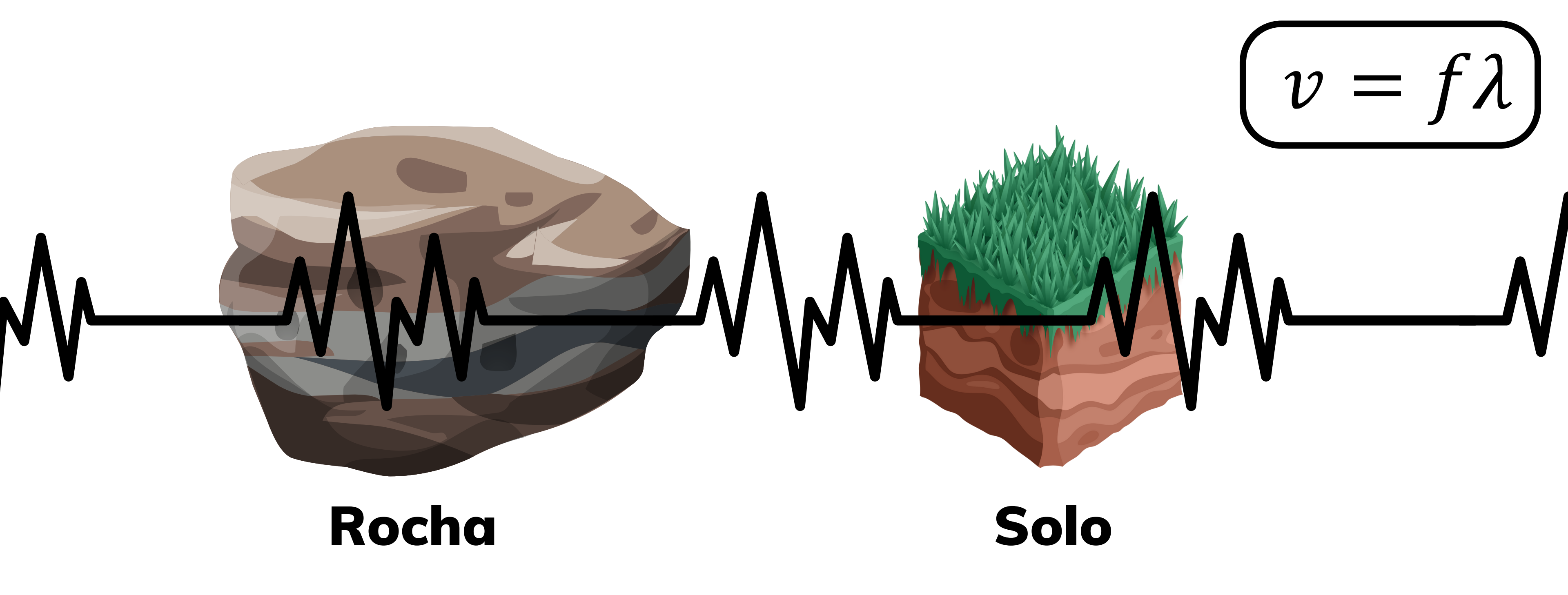


Rocha com altos teores de ferro

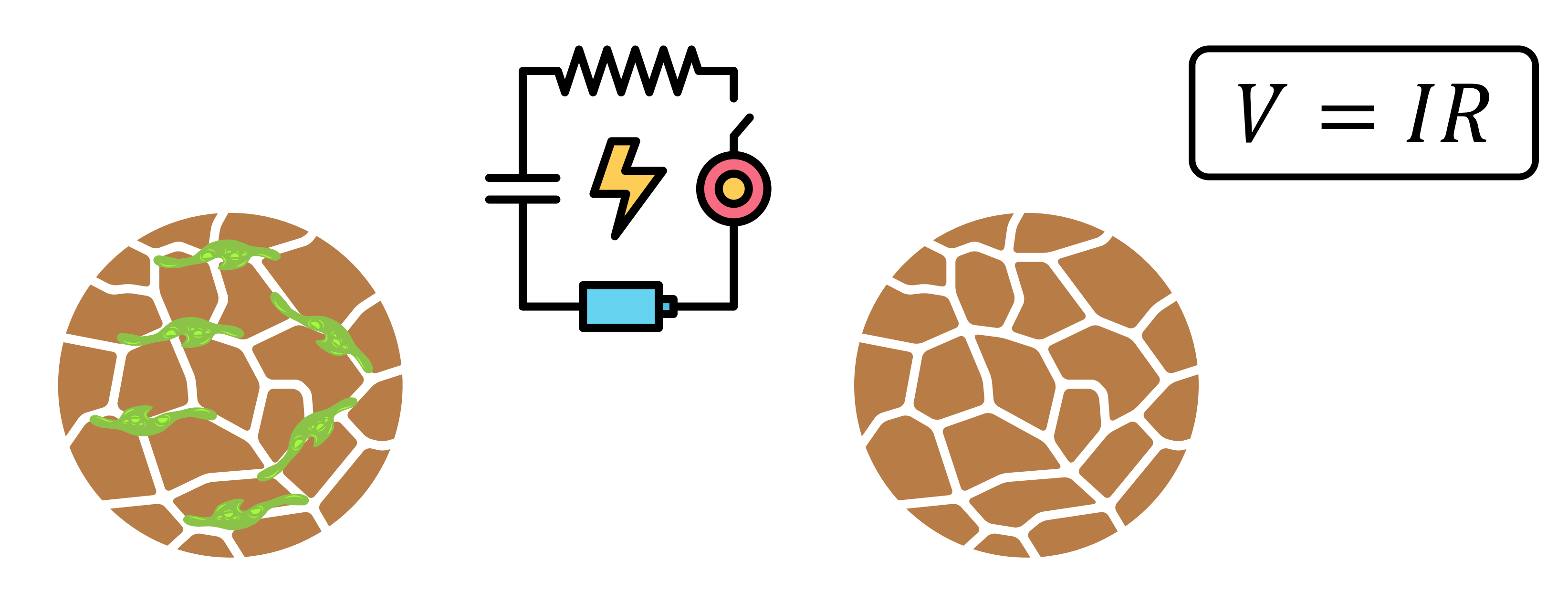


Rocha com baixos teores de ferro

Como essas relações são exploradas no meio físico?



Como essas relações são exploradas no meio físico?



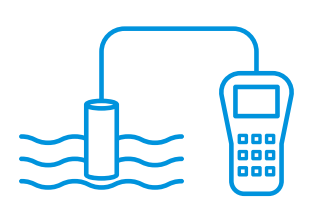
Solo contaminado

Solo não contaminado

Quais as vantagens e desvantagens em utilizar a geofísica?







Instrumentação geotécnica

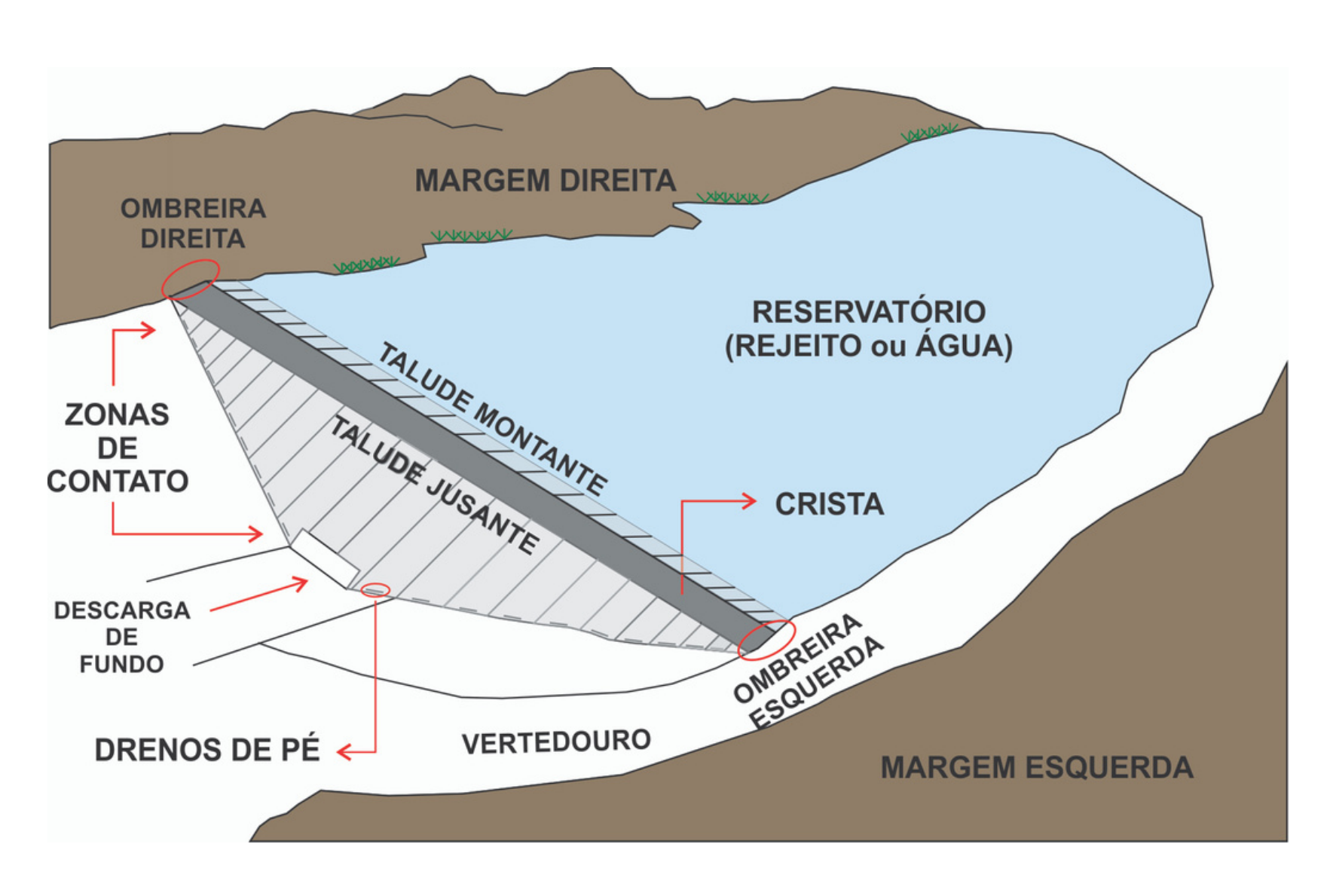
Independente da forma adotada pela mineração, todo o passivo, quando acumulado, na forma de barragens, precisa ser monitorado, comumente através de instrumentação (piezômetros e inclinômetros), e receber constante vistorias (inspeções visuais), para garantir um monitoramento eficaz e seguro.

Instrumentação geofísica

A aplicação de métodos indiretos (geofísicos) buscando investigar estruturas de barragens e pilha de rejeitos vem sendo cada vez mais empregada no Brasil, devido a ampla cobertura em um curto período, resultando numa ótima relação custo/benefício.



Instrumentação para monitoramento de barragens e pilhas de rejeito

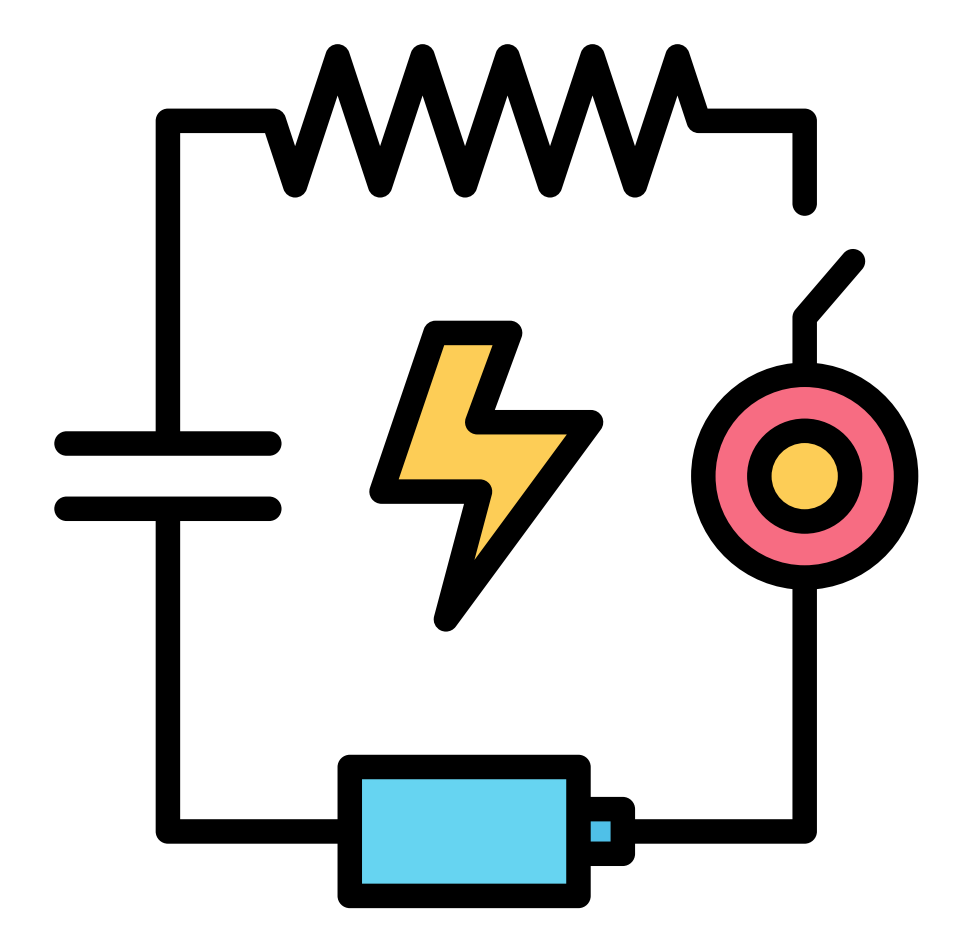


Fonte: Guireli Netto et al., 2020.



Qual a relação?

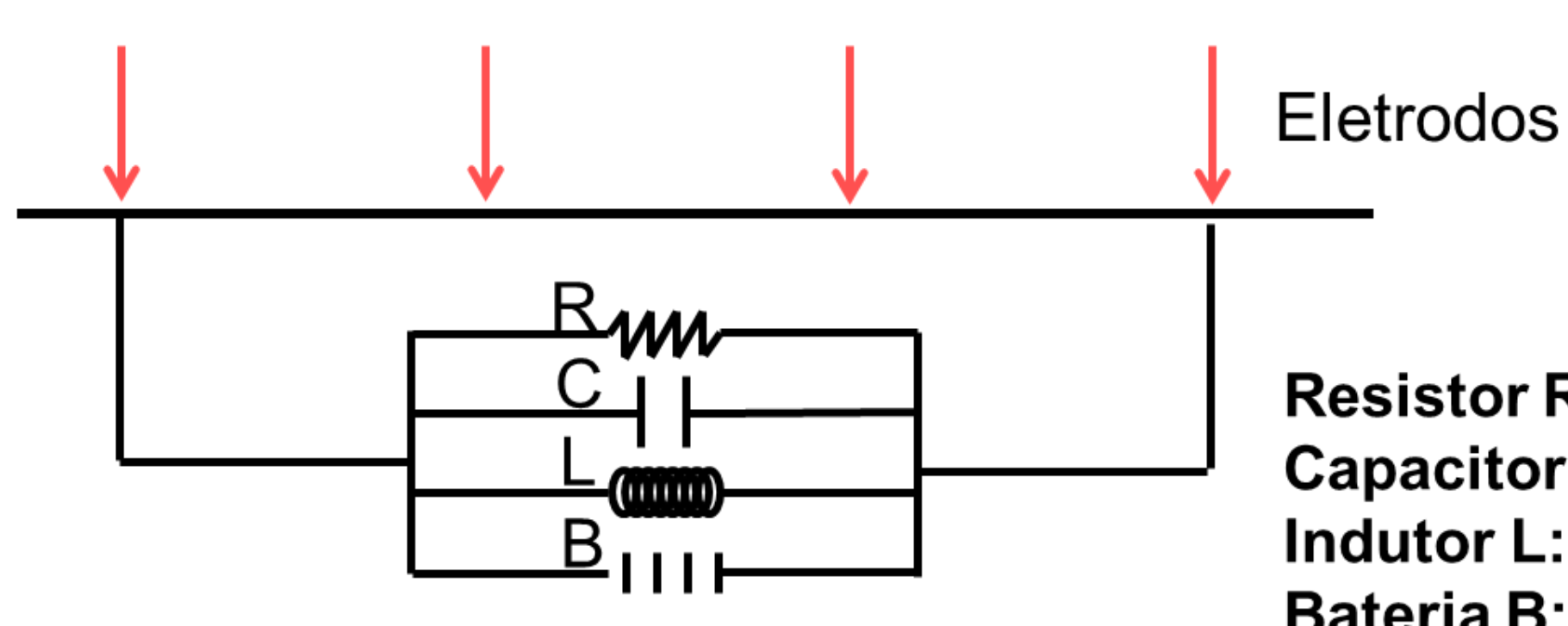


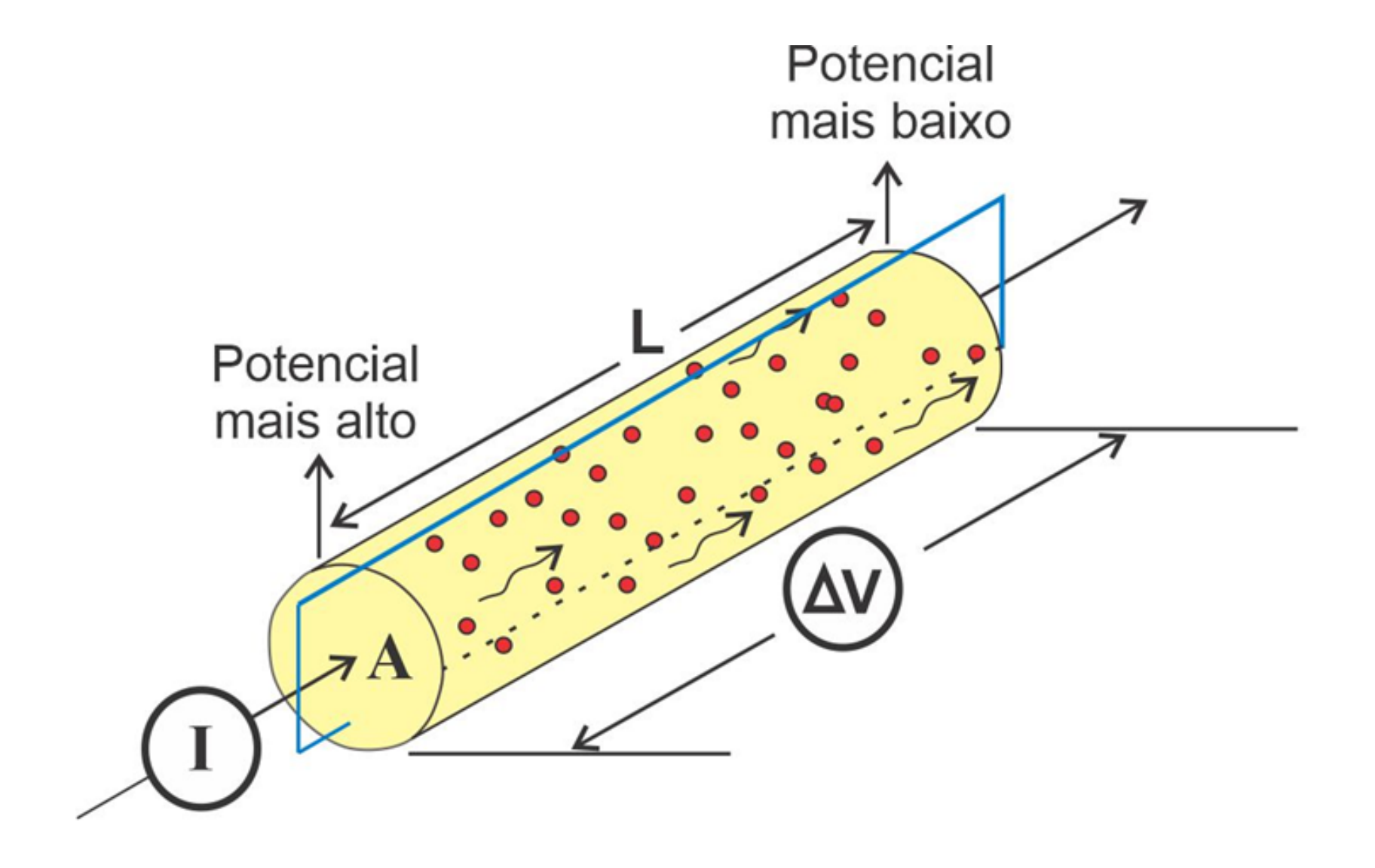


Por que funciona?

A Terra como um circuito elétrico

Os materiais geológicos podem ser conceitualmente modelados como um circuito composto por uma resistência, um capacitor, um indutor e uma bateria:





Resistor R: dissipador da energia aplicada sob a forma de calor Capacitor C: armazenamento de energia como separação de cargas

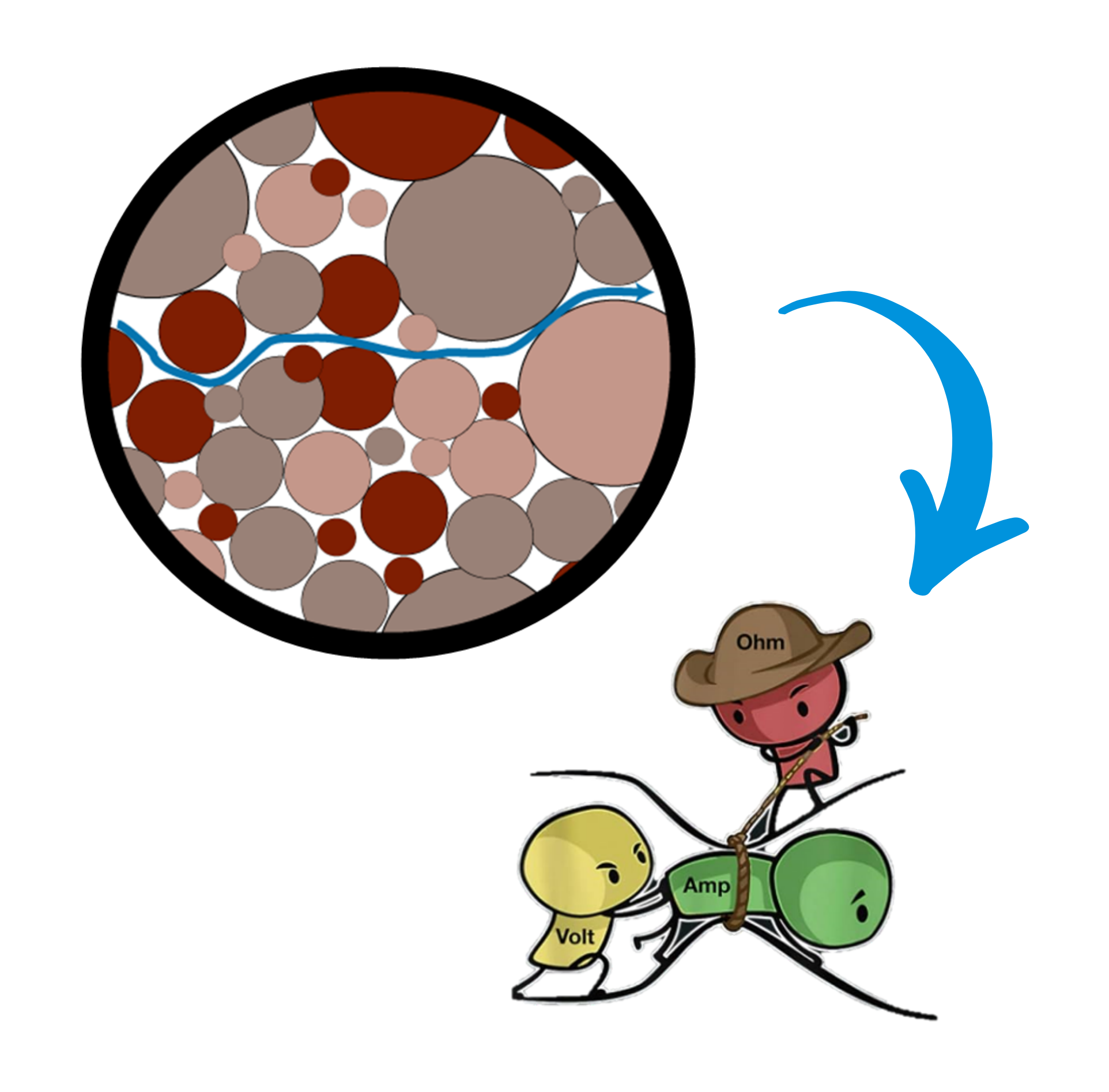
Indutor L: auto tensão associada a métodos electromagnéticos

Bateria B: eletrocinética e potenciais próprios

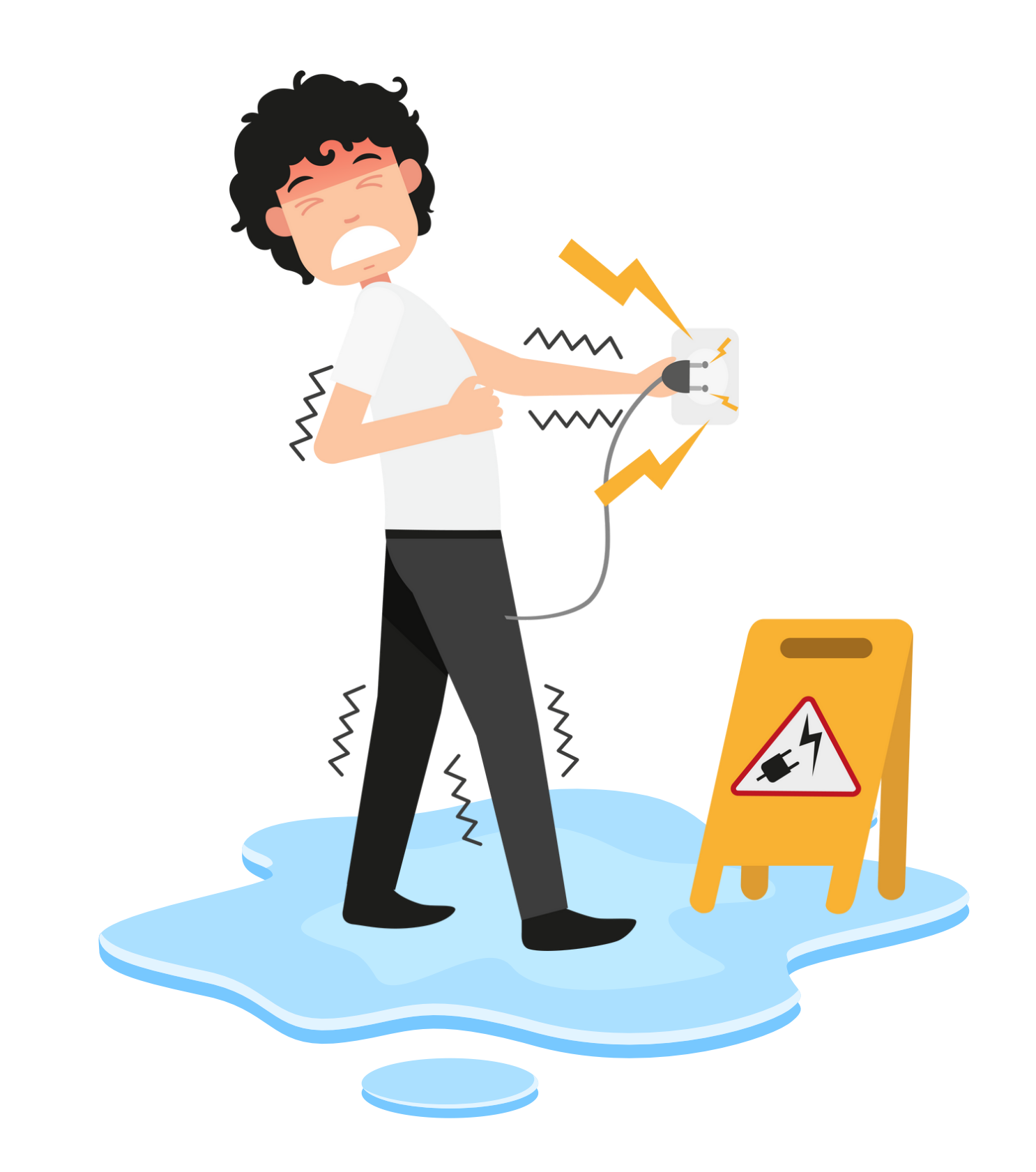
Por que métodos elétricos?

As diferenças de potenciais medidas são sensíveis às propriedades elétricas da matéria:

- Litologia.
- Porosidade.
- Grau de compactação.
- Conectividade do fluído dos poros.
- Química do fluído dos poros.
- Concentração de metais nos fluídos.







Eletrorresistividade

OBJETIVO

Estudam a distribuição em profundidade da resistividade elétrica.

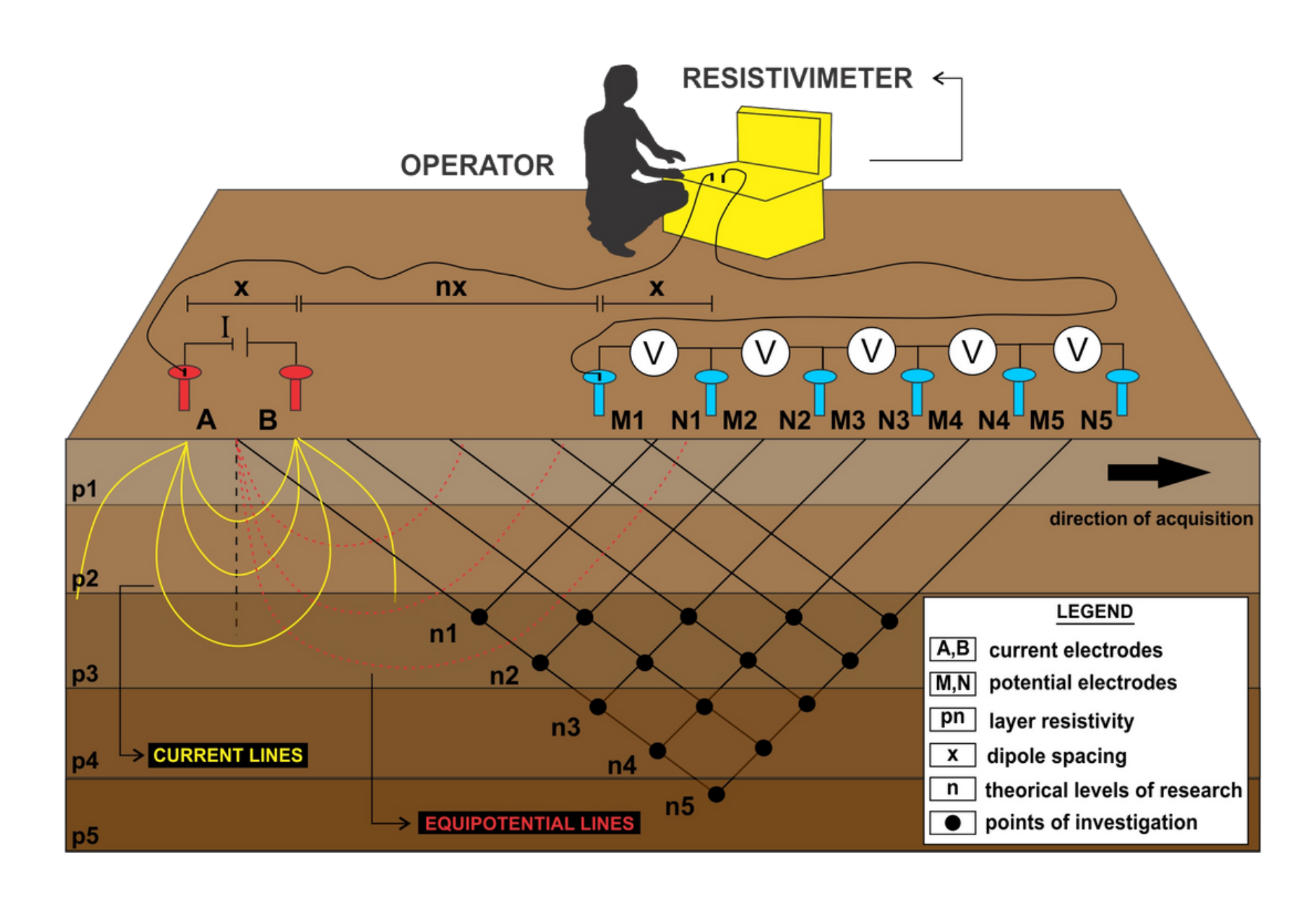
PROPRIEDADES FÍSICAS

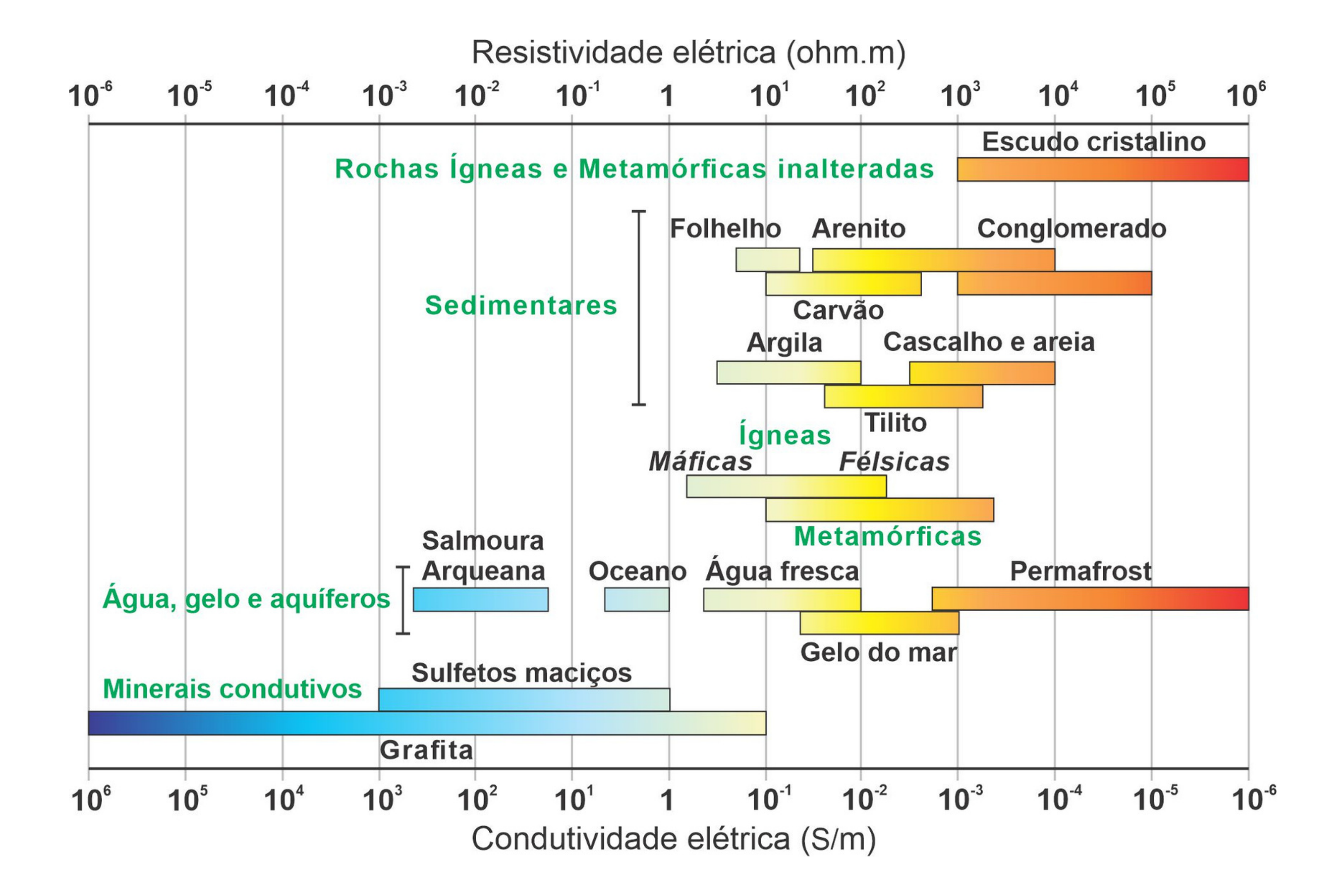
Parâmetro relacionado principalmente com as propriedades elétricas: resistividade elétrica. Fatores que influenciam: compactação do material, grau de saturação, graus de alteração e fraturamento do maciço, presença de argila.

FONTE E SENSORES

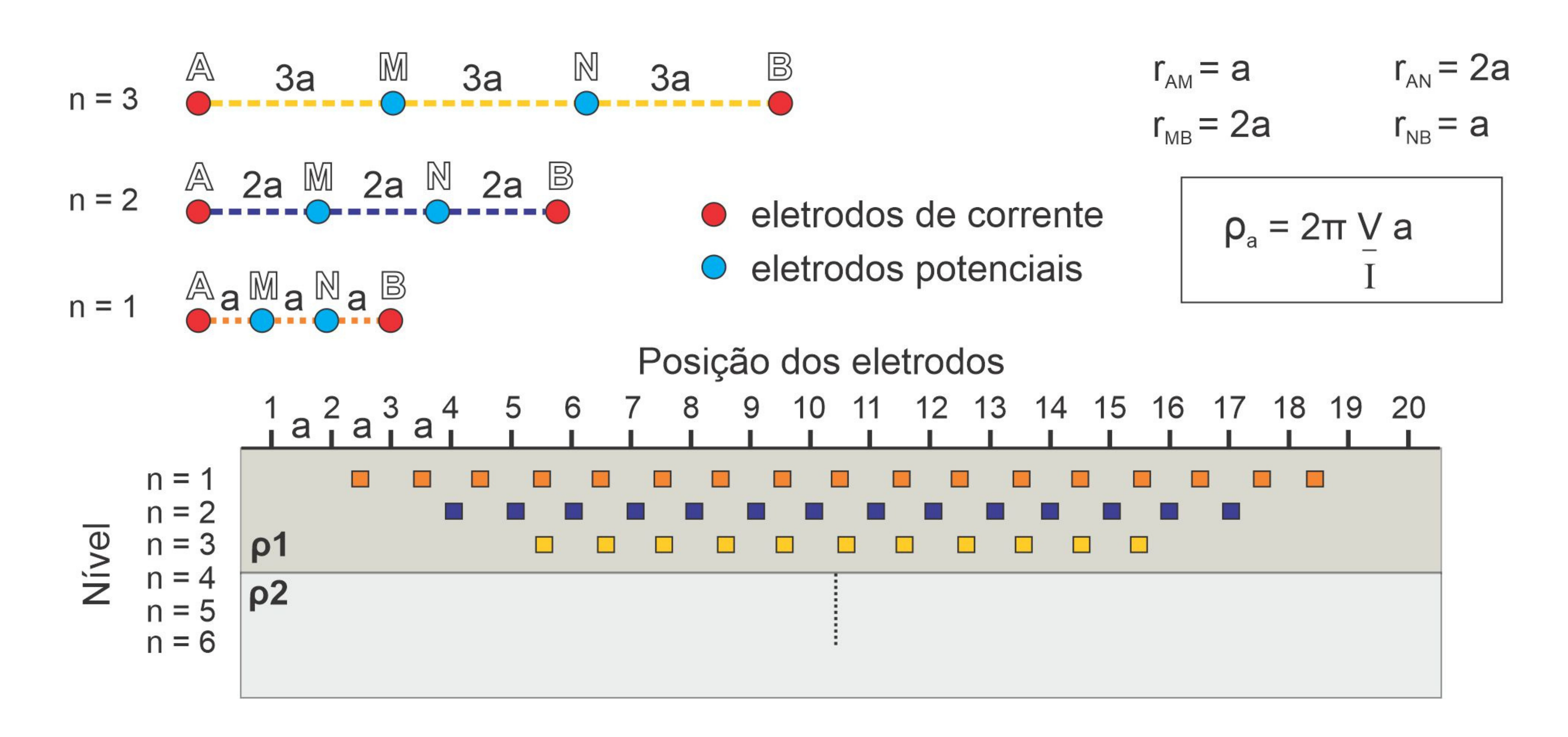
Fonte: injeção de corrente elétrica no solo. Sensores: eletrodos acoplados no solo em diferentes arranjos.

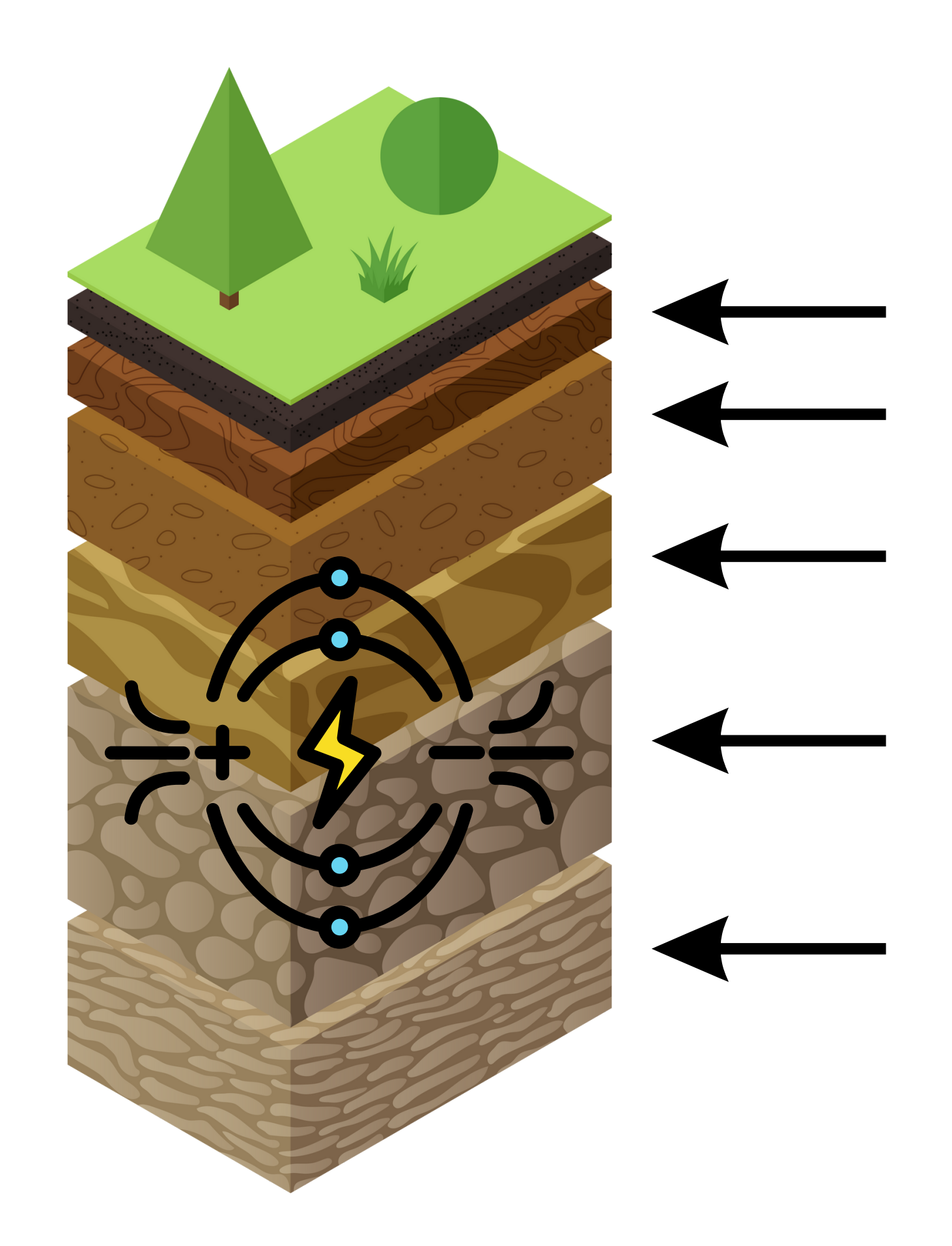
Arranjos geoelétricos em campo

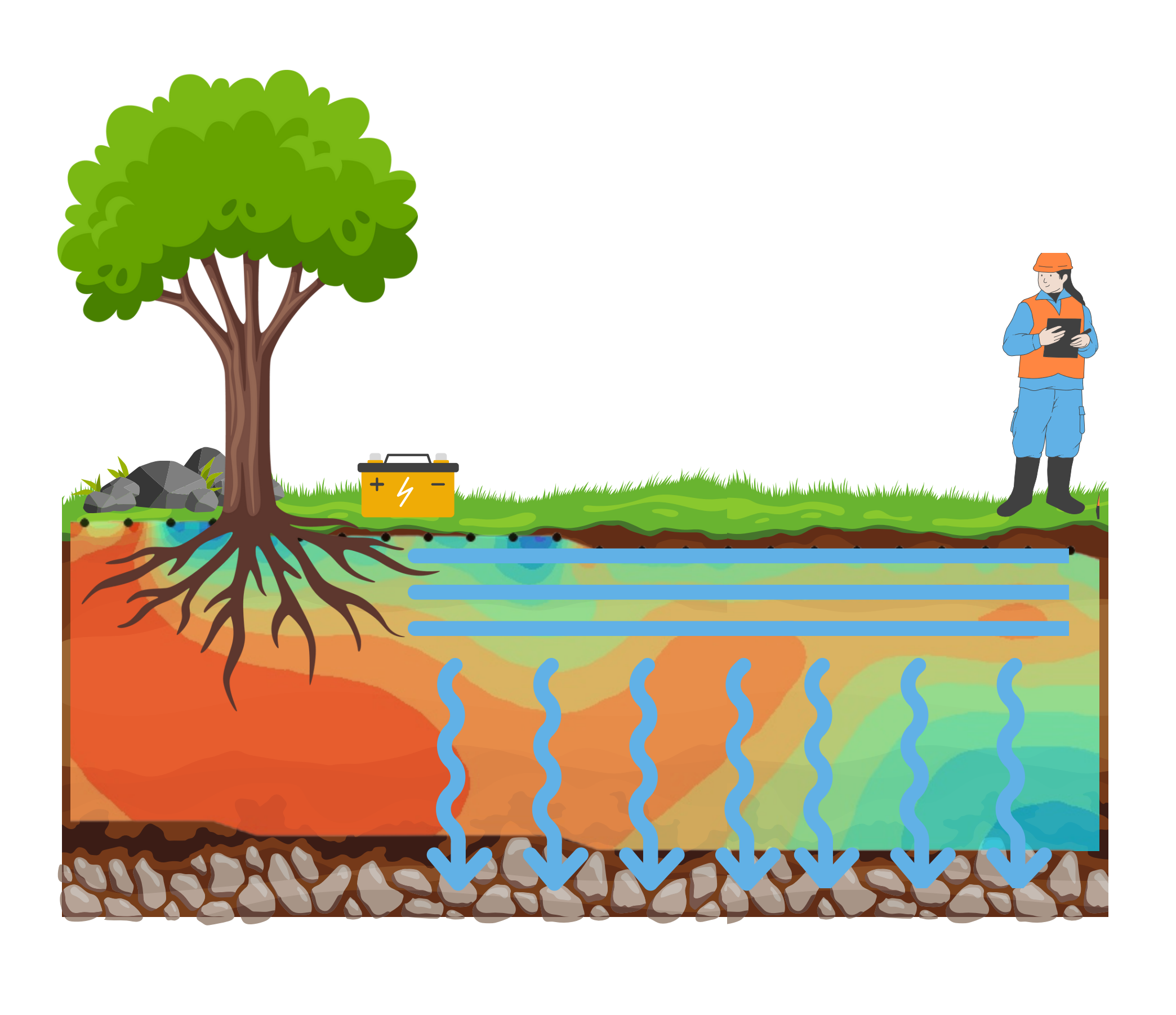




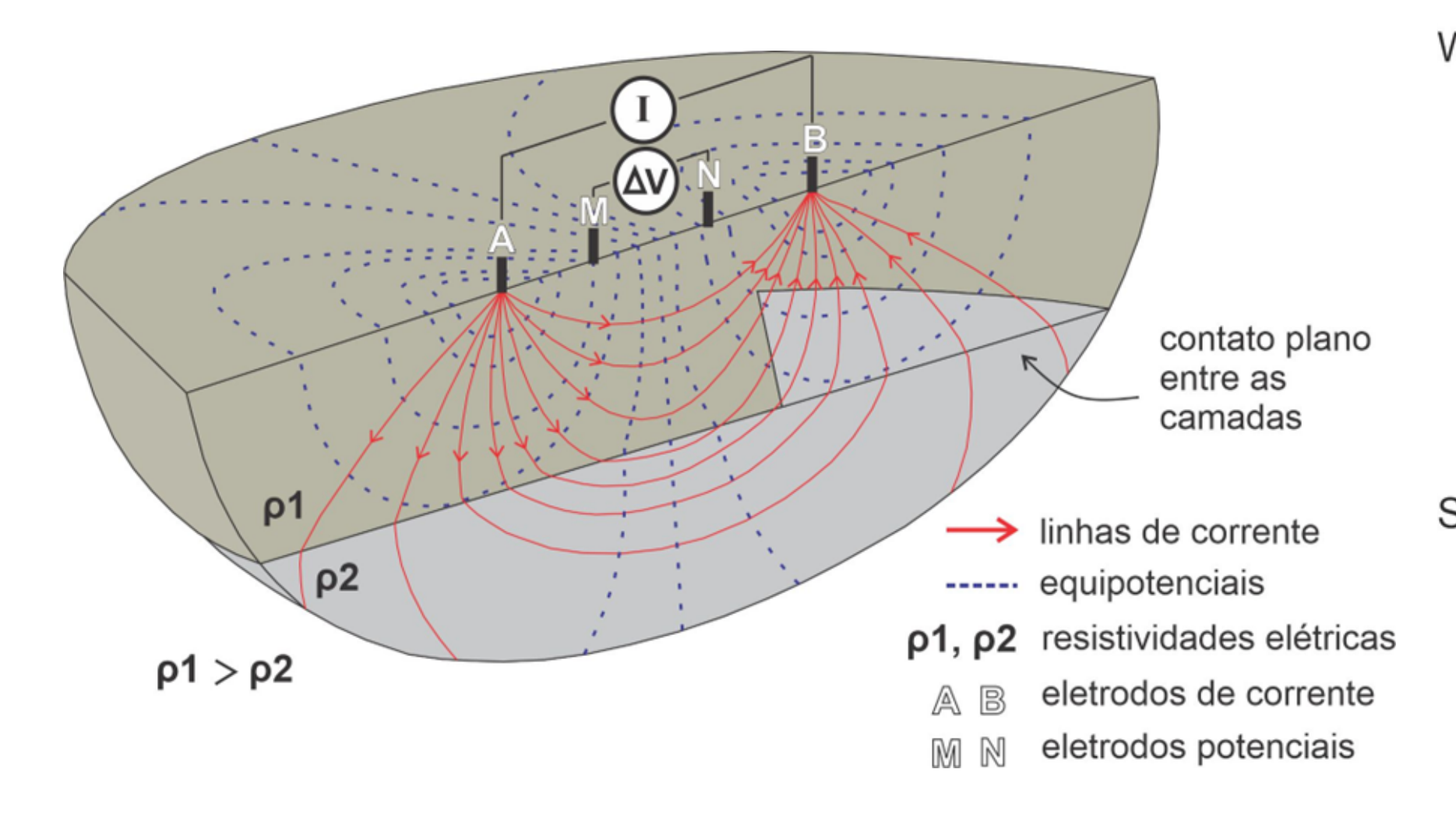
TÉCNICA DE TOMOGRAFIA ELÉTRICA

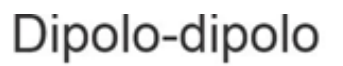


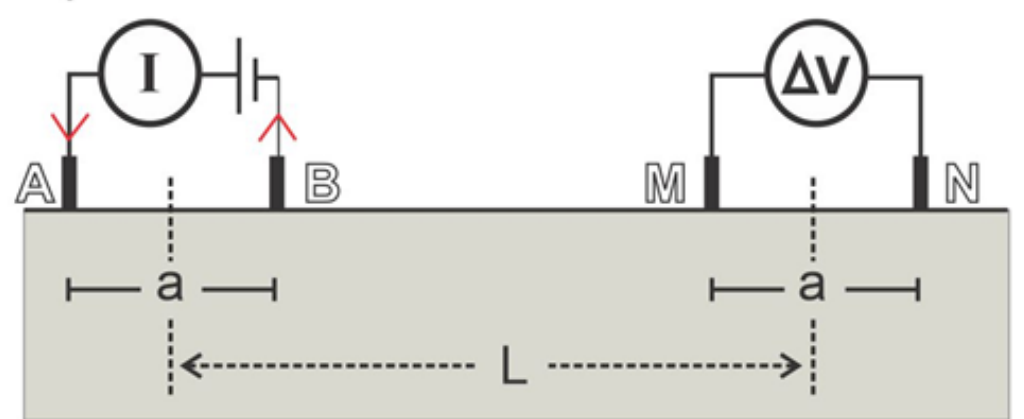


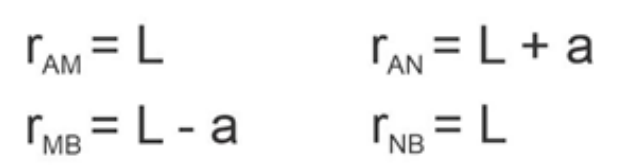


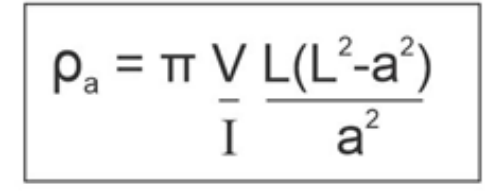
Arranjos geoelétricos em campo

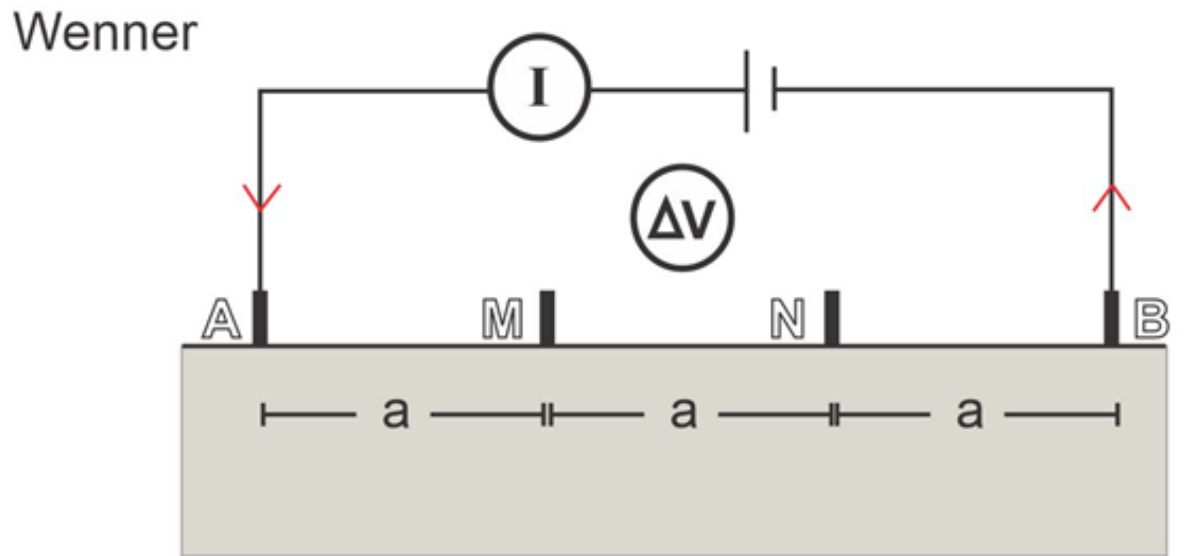












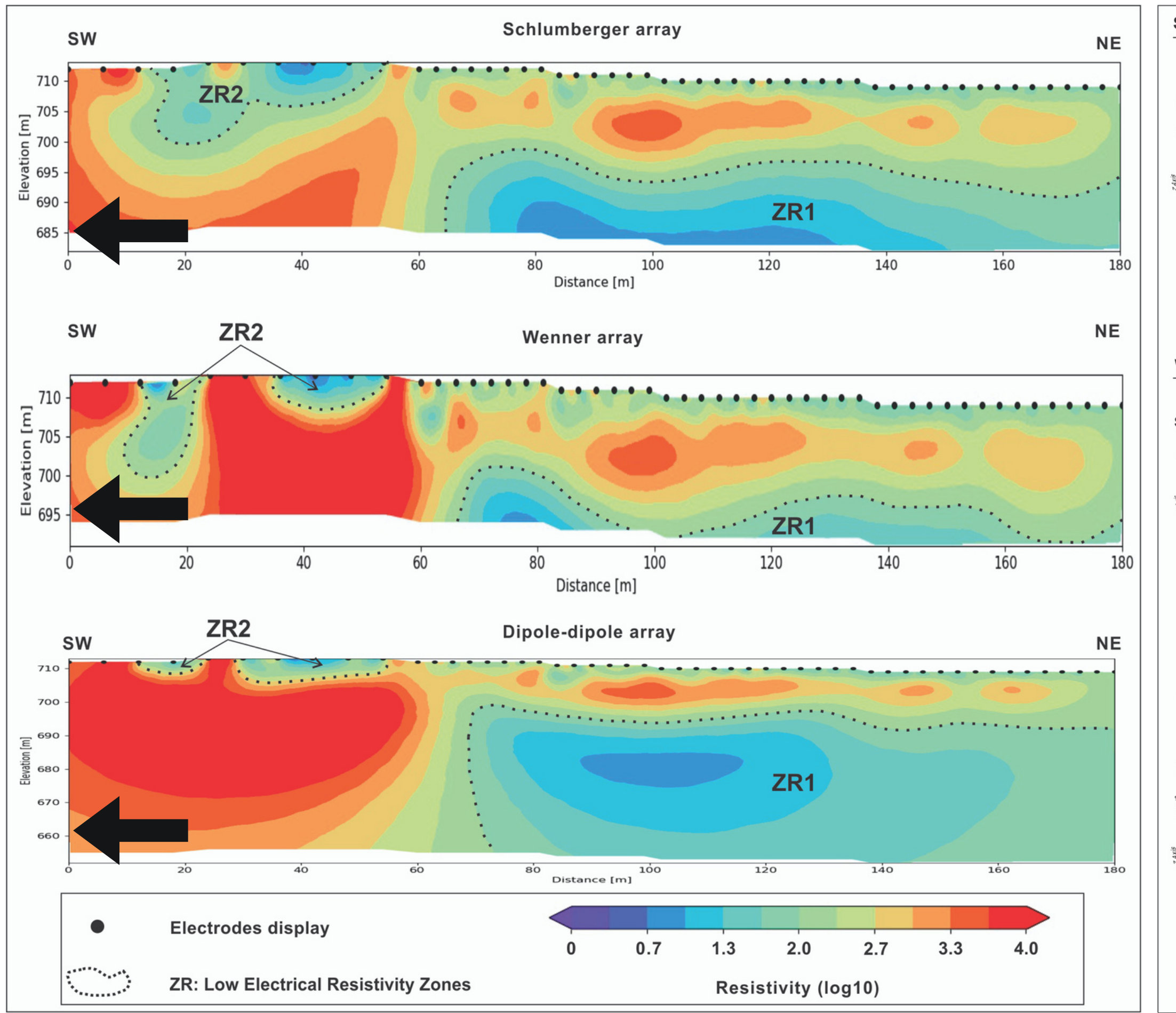
$$r_{AM} = a$$
 $r_{AN} = 2a$
 $r_{MB} = 2a$ $r_{NB} = a$

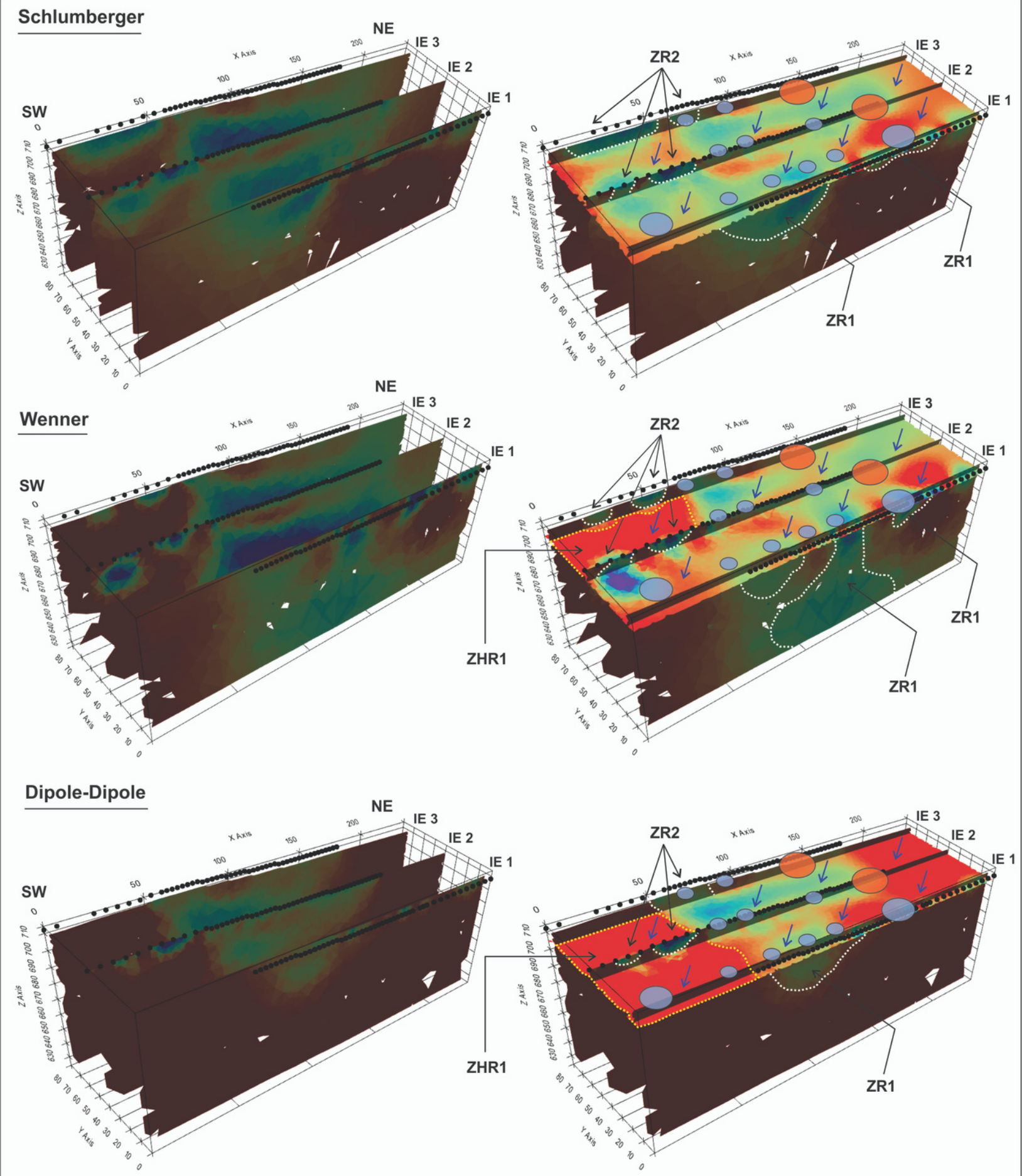
$$\rho_a = 2\pi \frac{V}{I} a$$

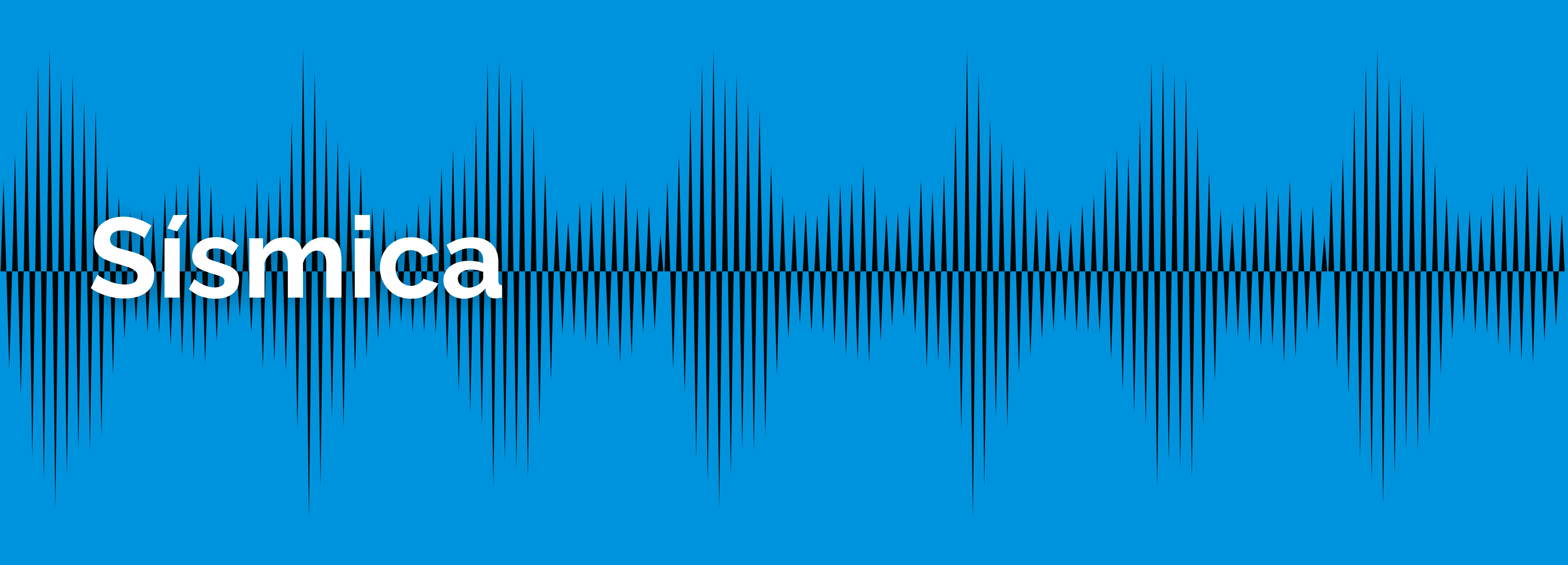
$$r_{AM} = (L - a)$$
 $r_{AN} = r_{MB}$

$$r_{MB} = (L + a)$$
 $r_{NB} = r_{AM}$

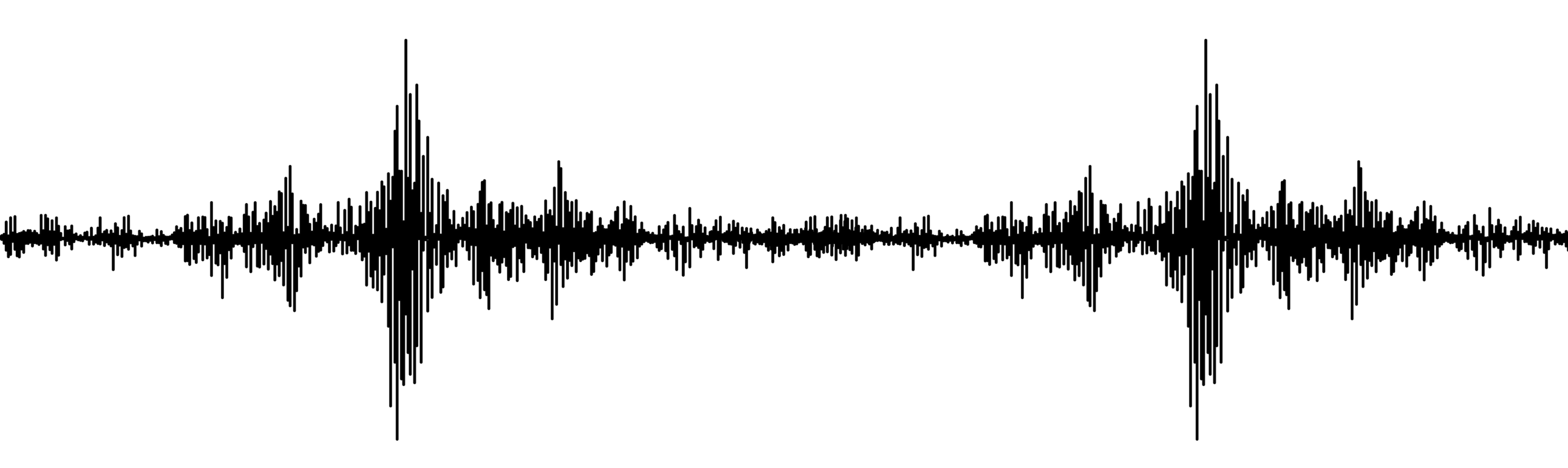
$$\rho_{a} = \frac{\pi}{4} \frac{V}{I} \left(\frac{L^{2} - a^{2}}{a} \right)$$

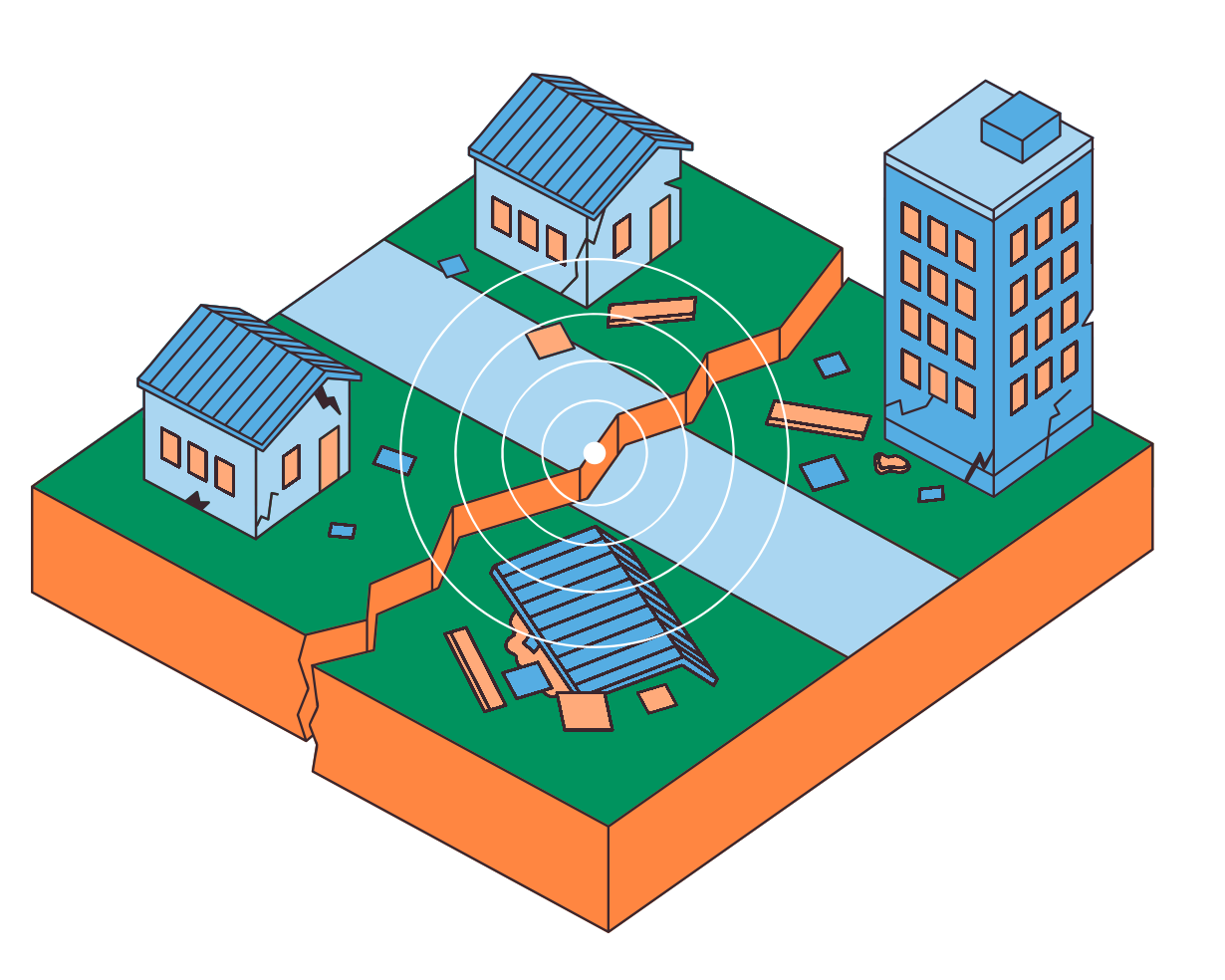




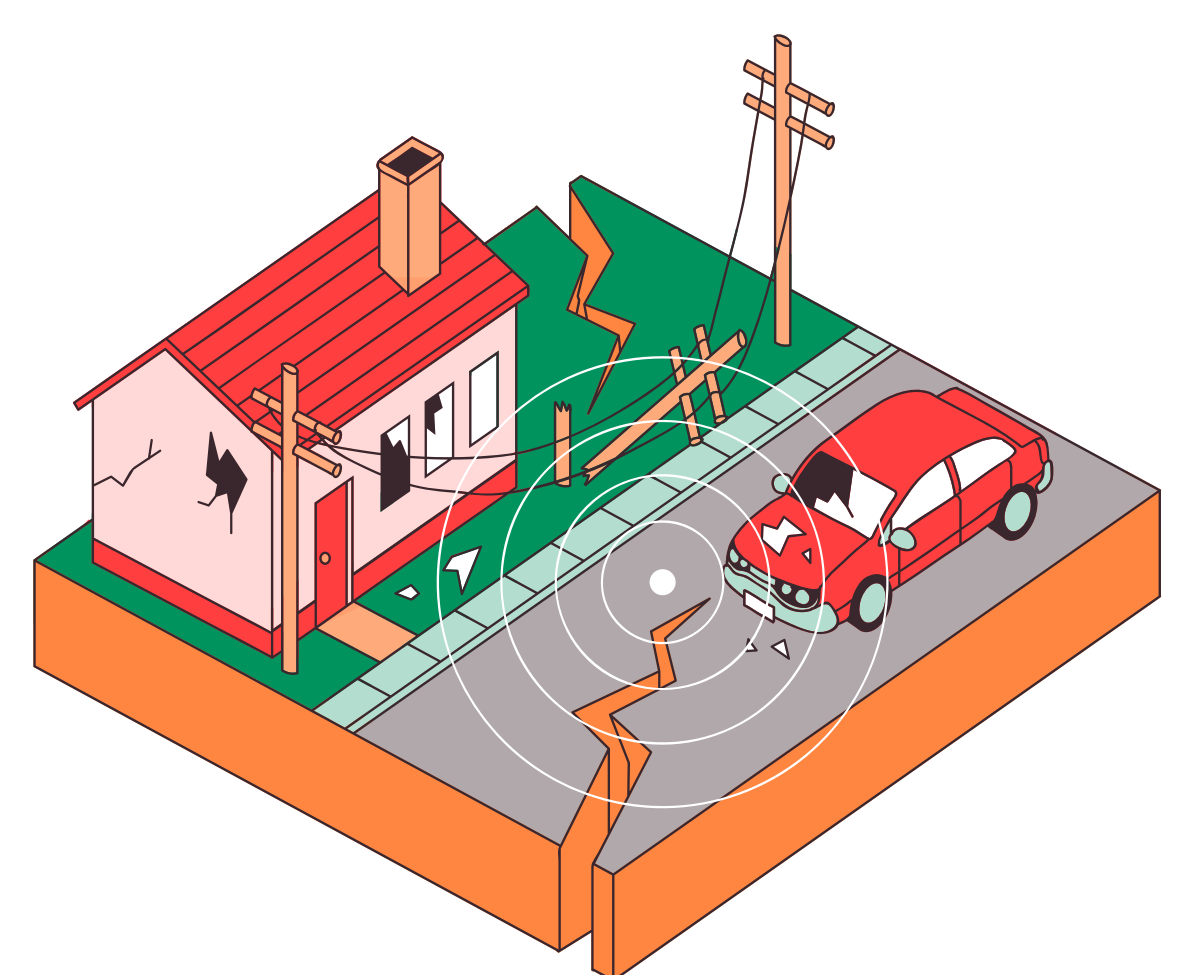


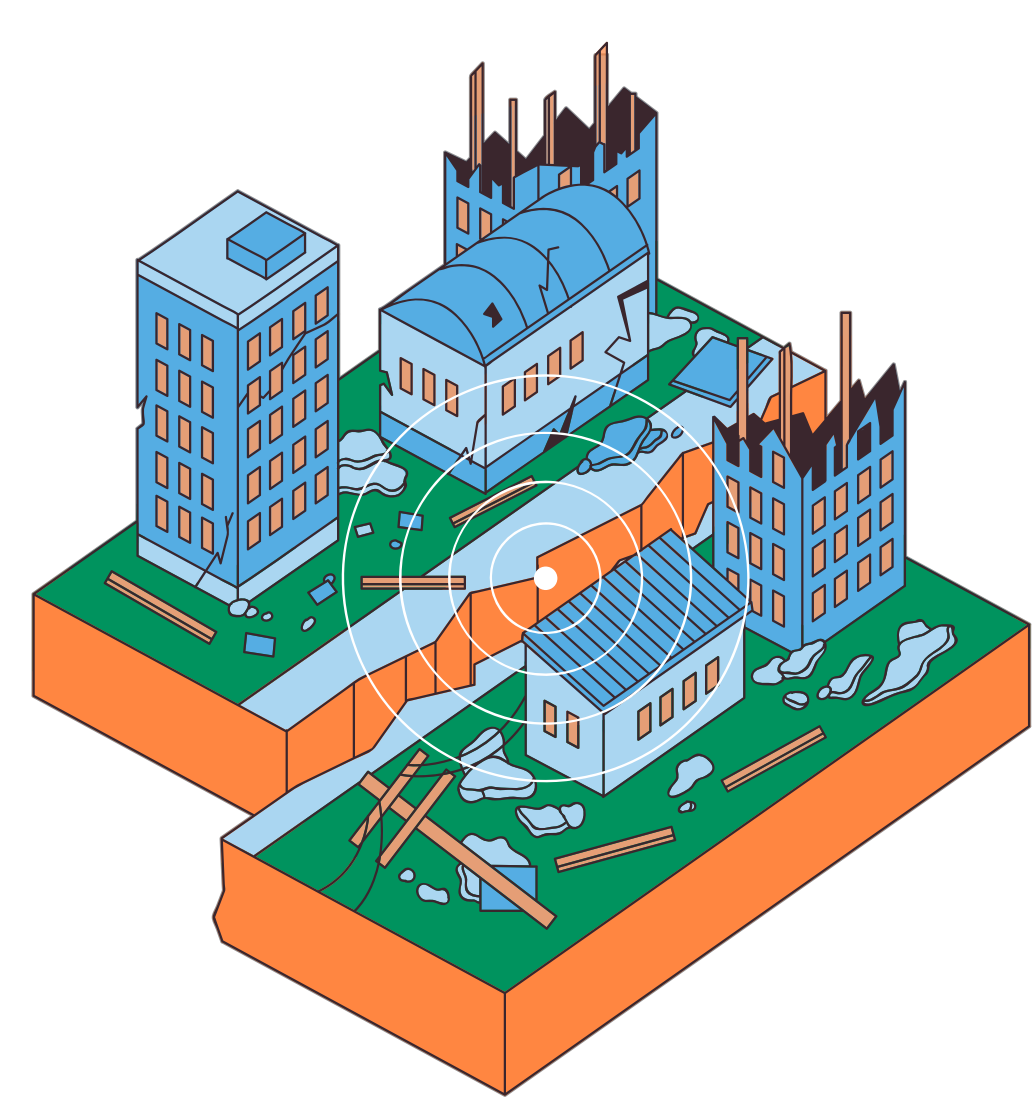
Qual a primeira imagem que vem a cabeça quando falamos em "evento sísmico"?

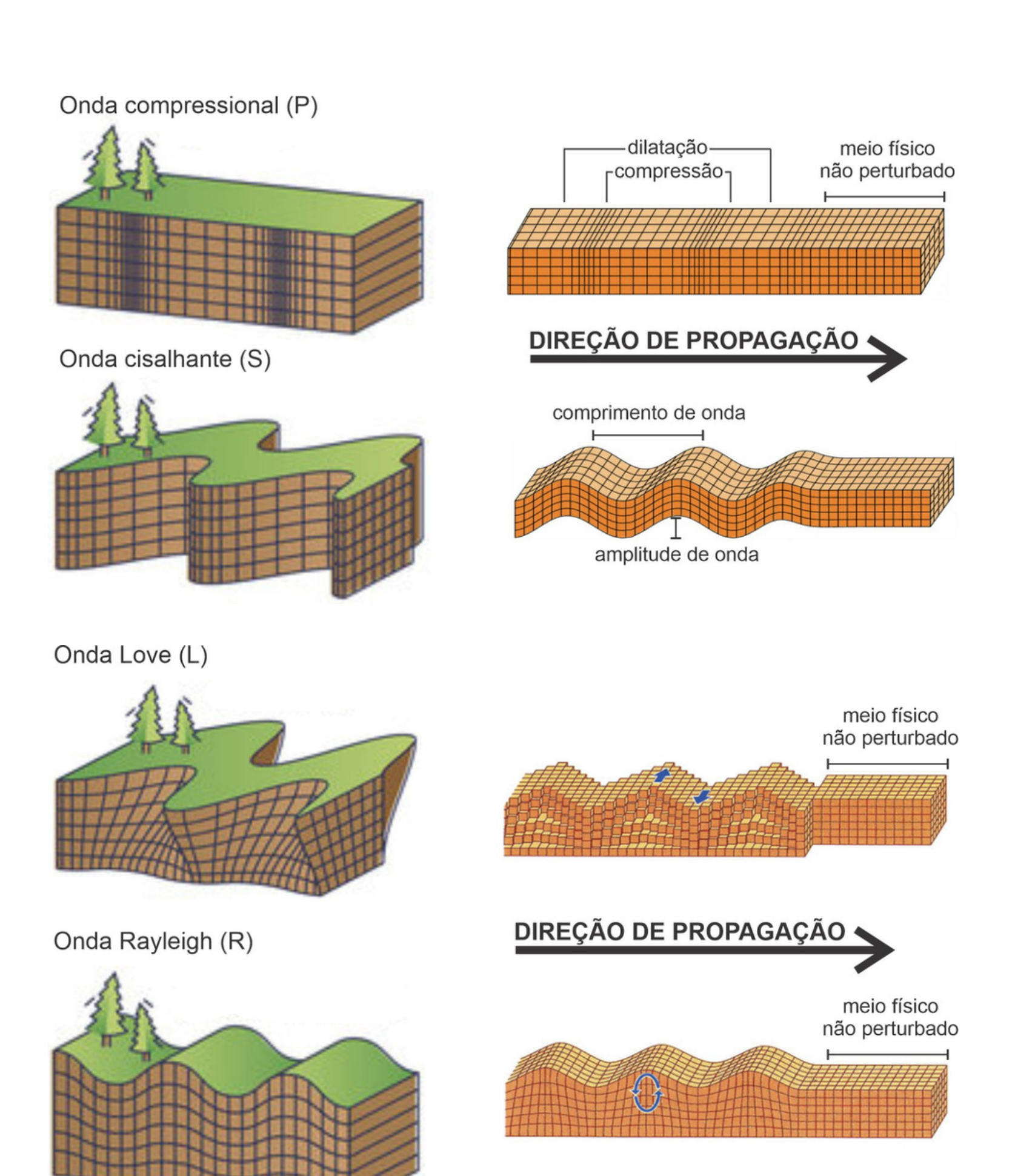


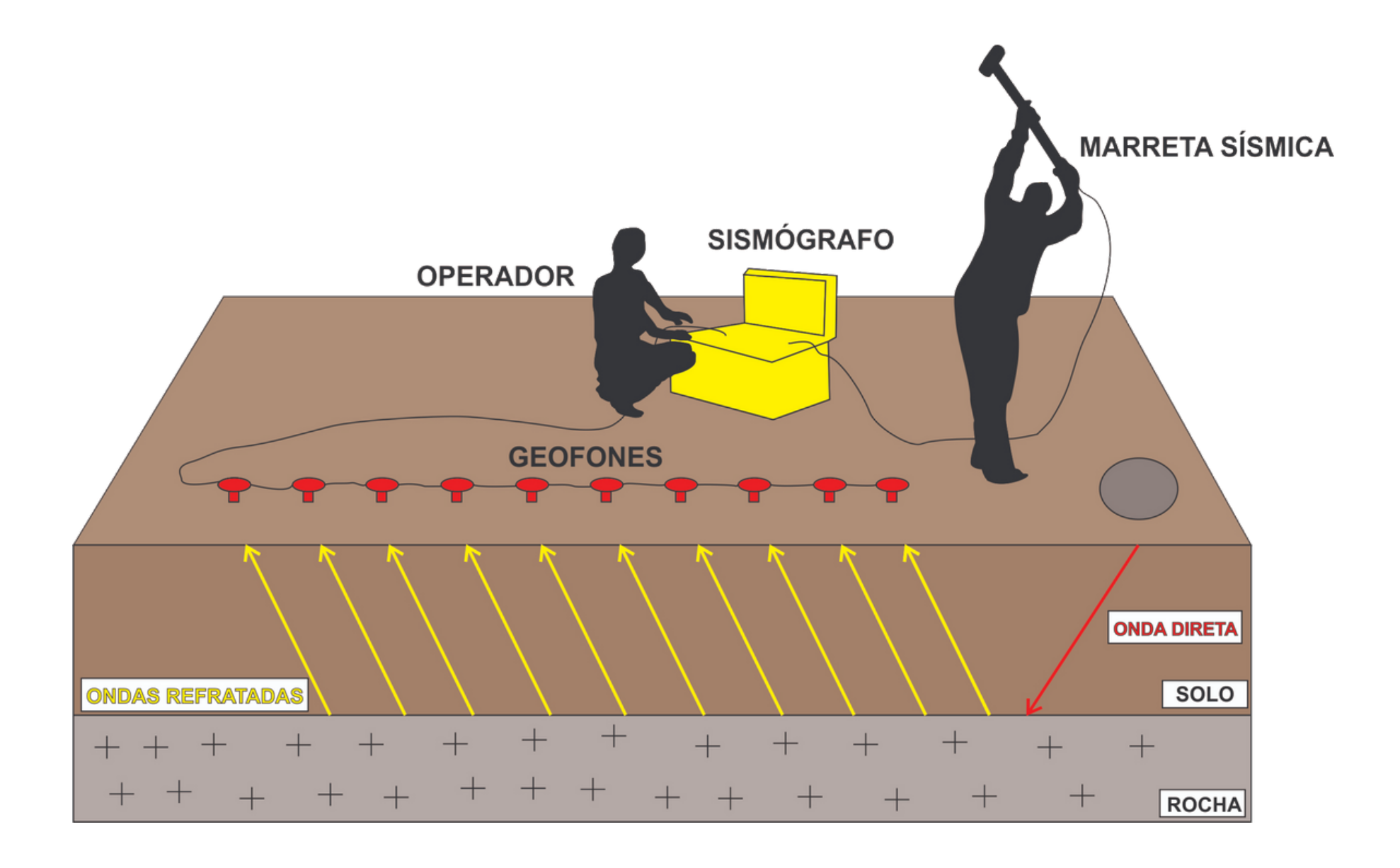


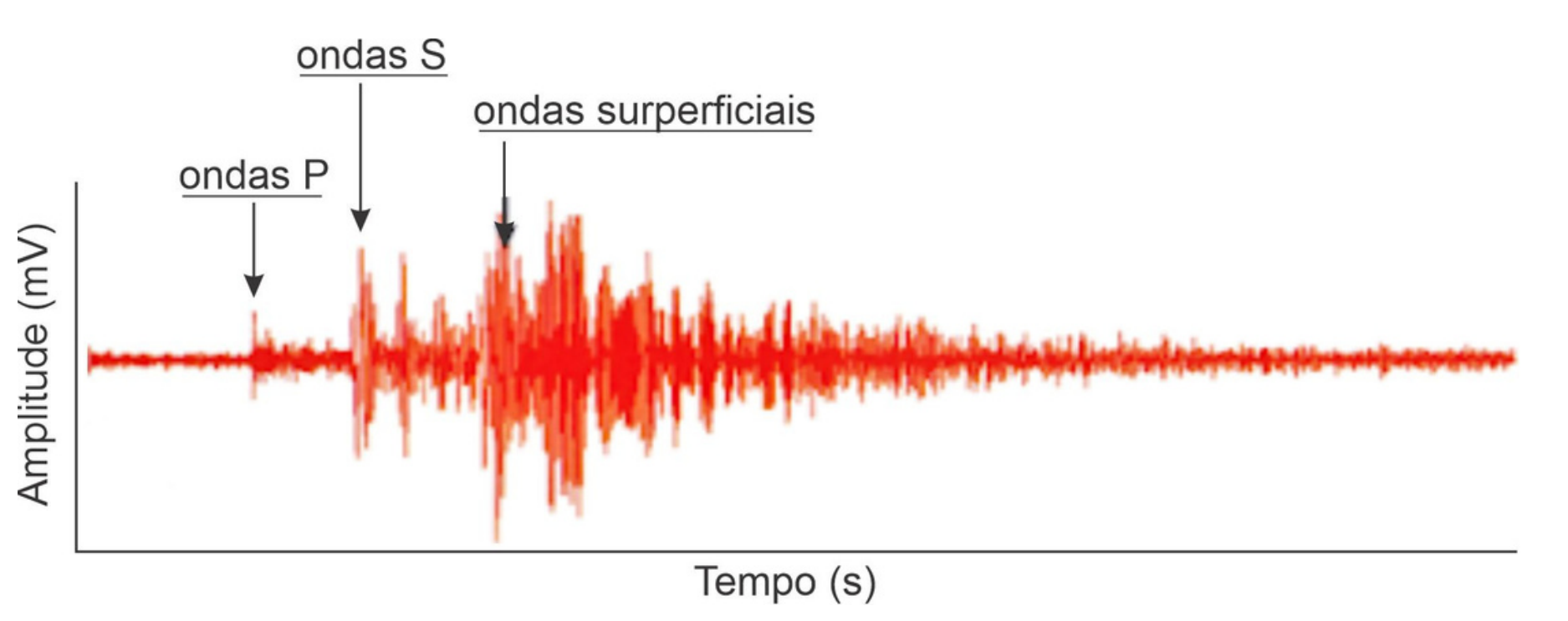




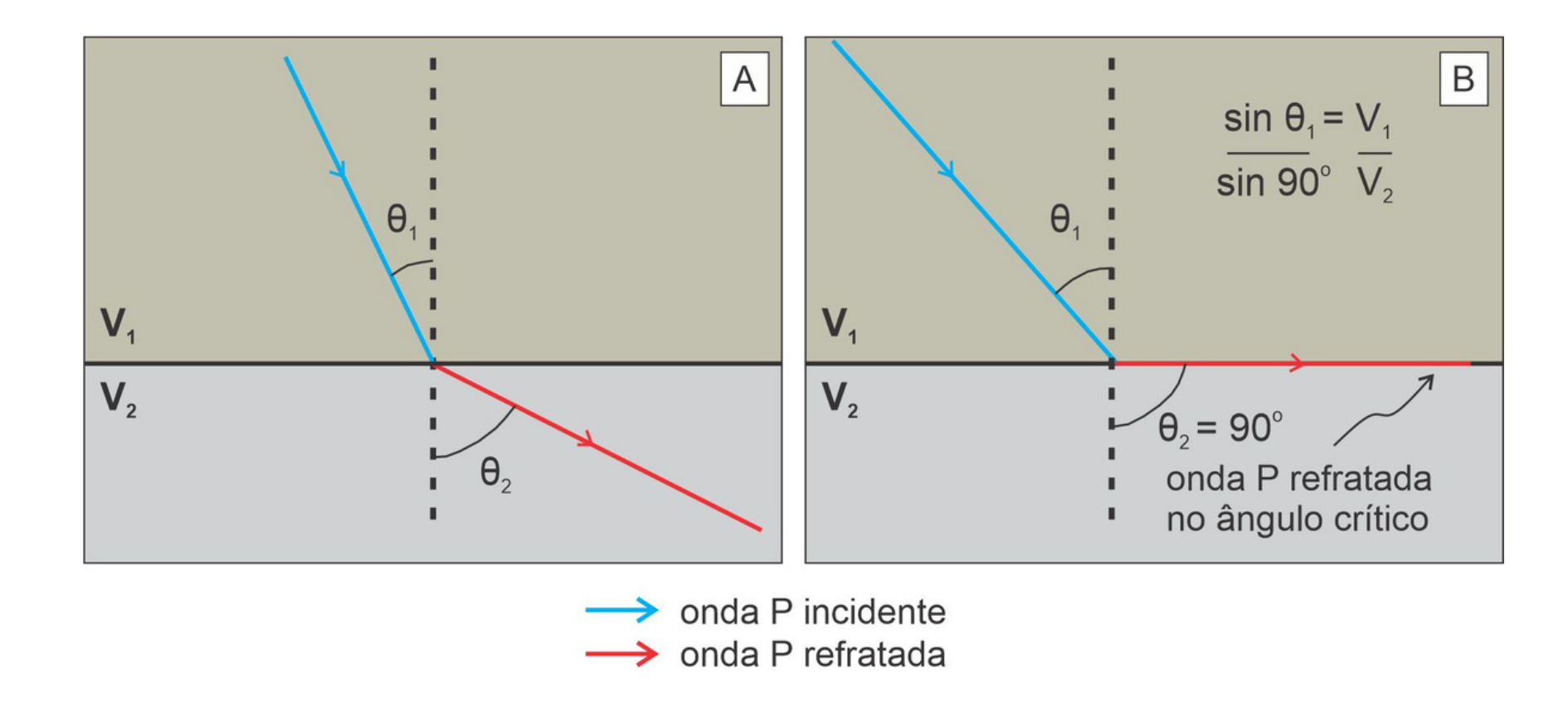


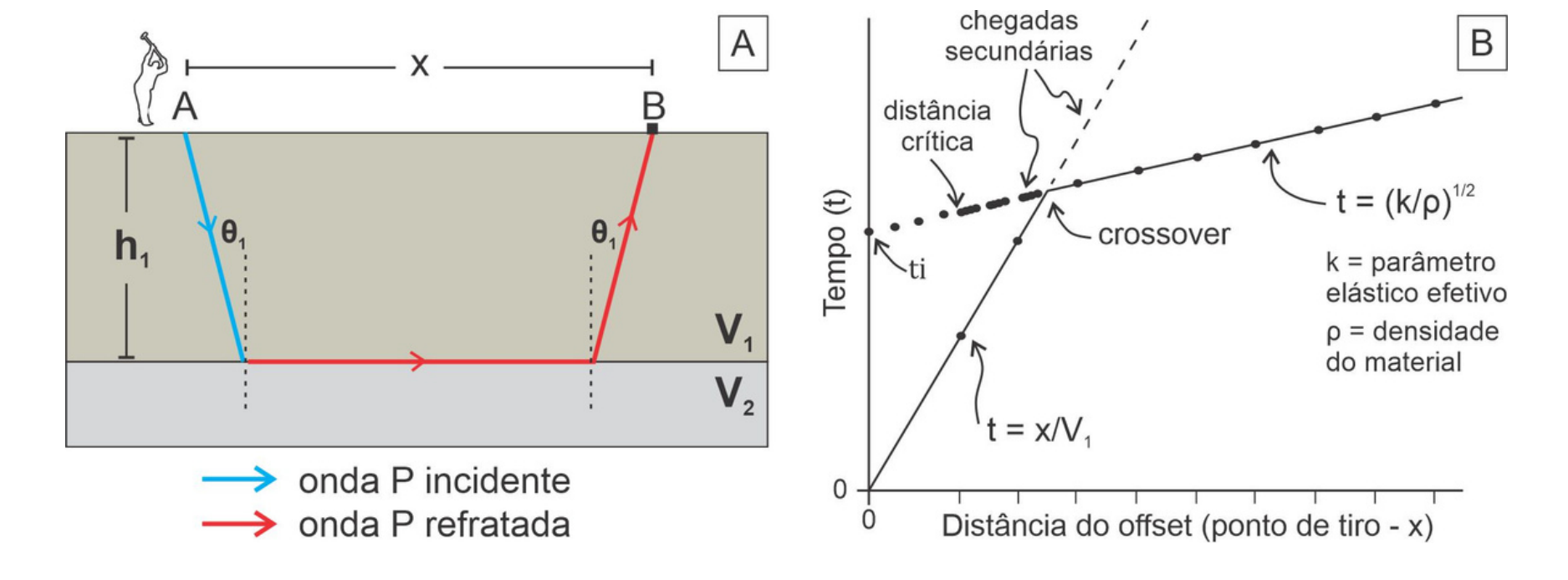


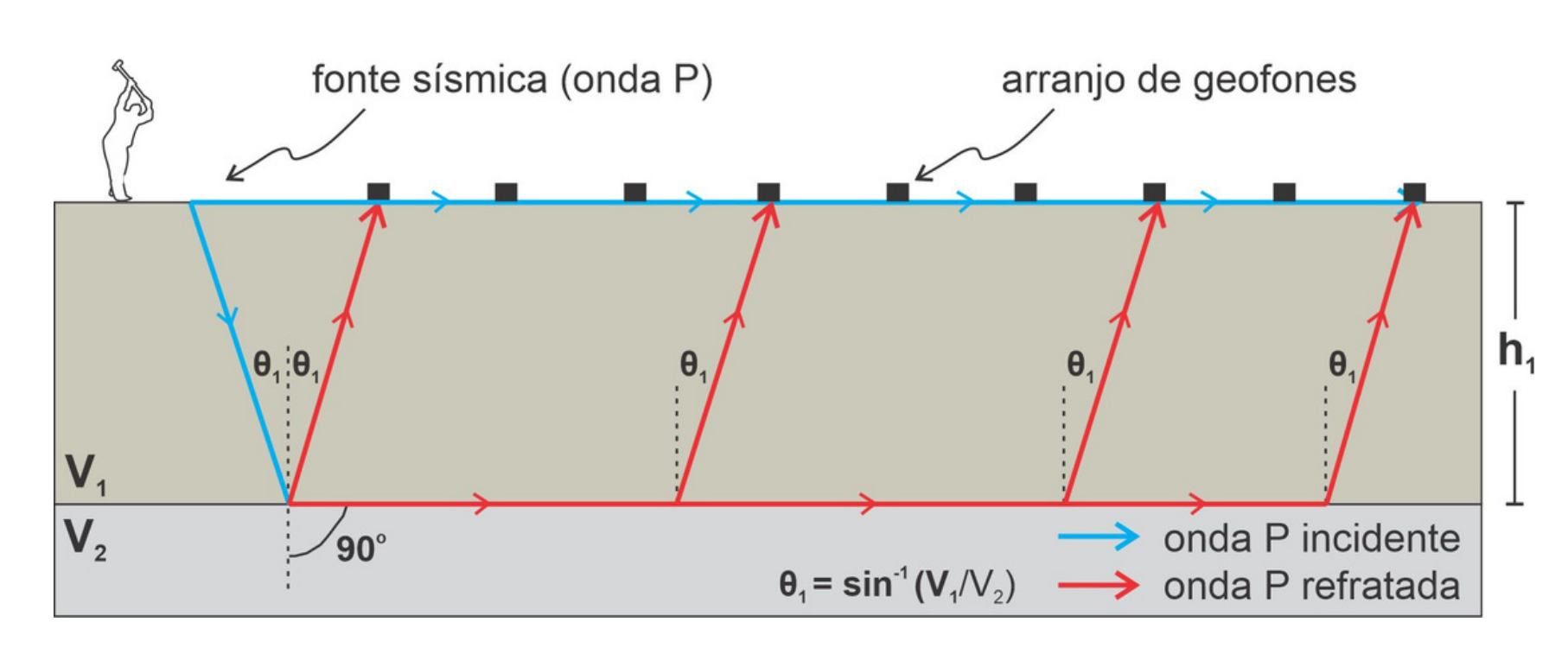


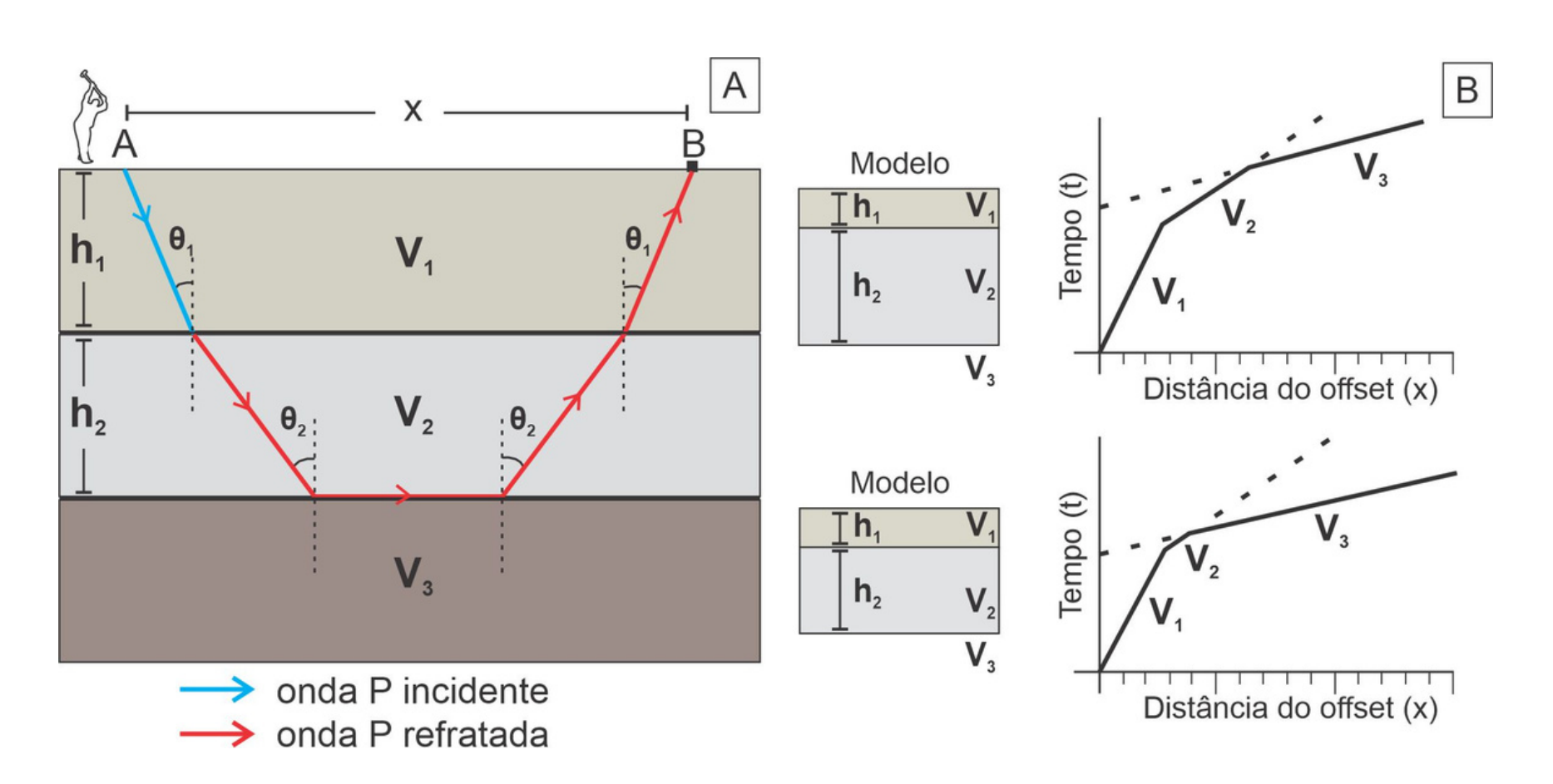


SÍSMICA DE REFRAÇÃO

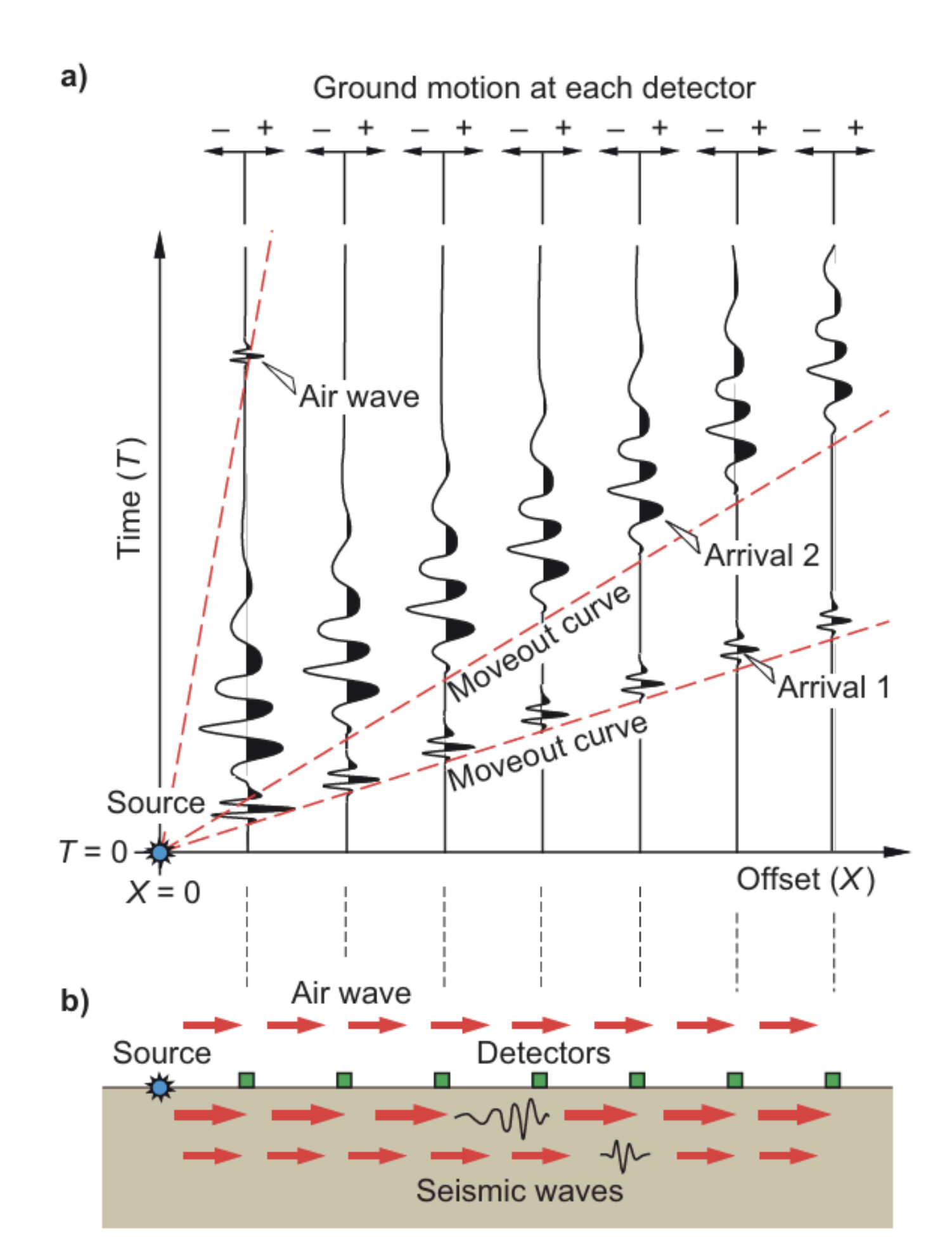




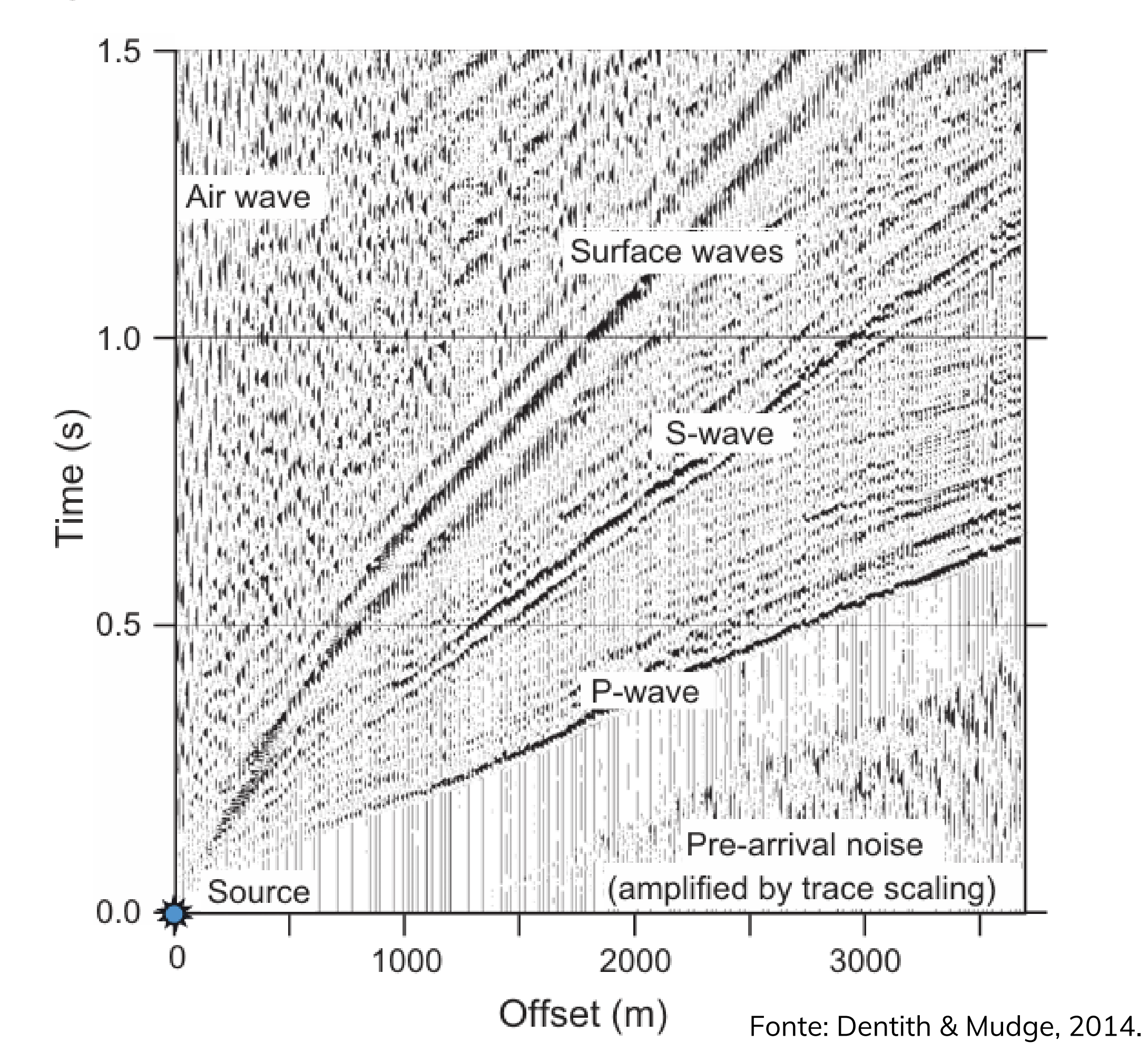




PROPRIEDADES DAS ONDAS SÍSMICAS







Como as ondas sísmicas são registradas?







Como as ondas sísmicas são registradas?







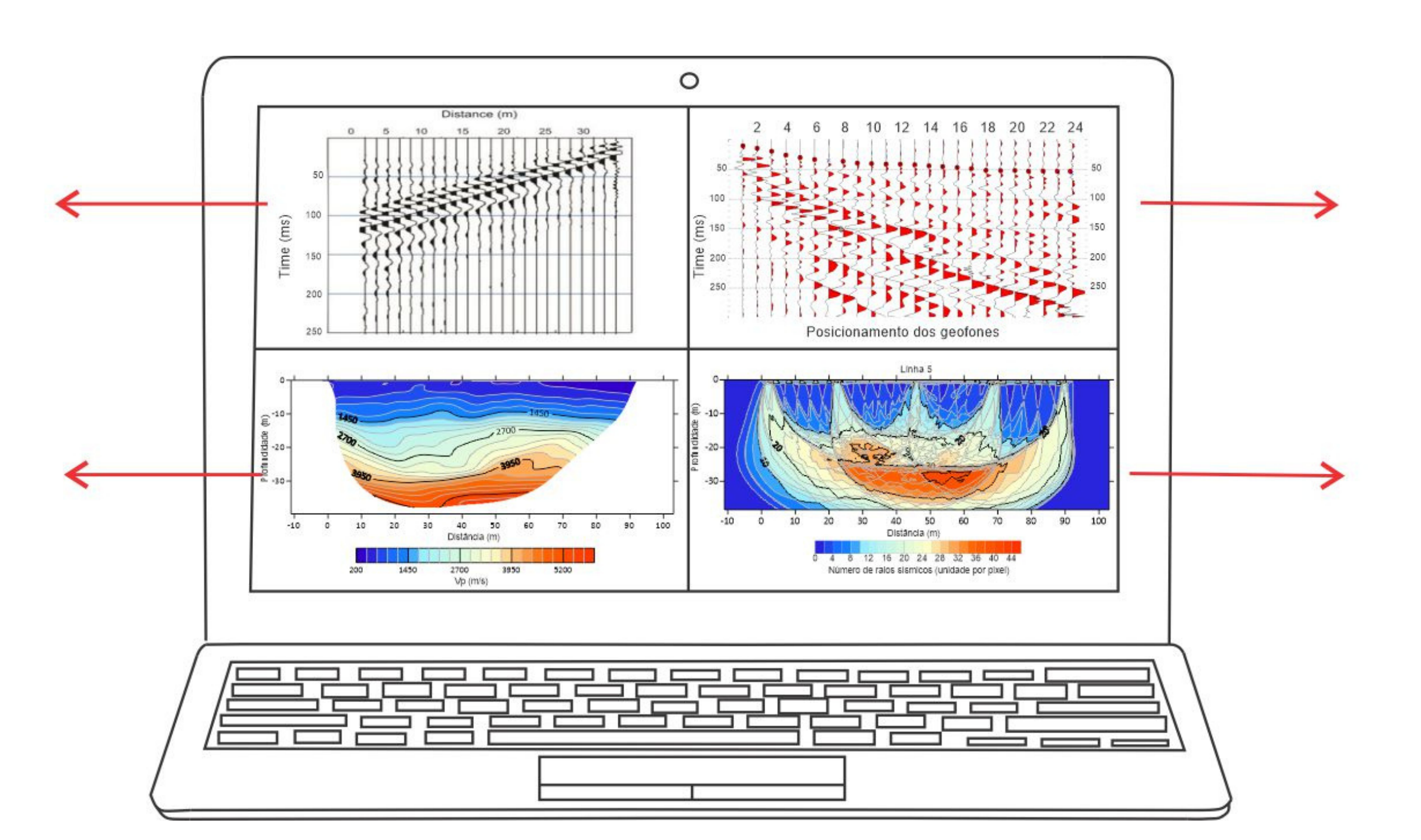
ESQUEMA DAS ETAPAS DE PROCESSAMENTO DOS DADOS DE TOMOGRAFIA SÍSMICA DE REFRAÇÃO

SISMOGRAMA

Gráfico
Distância (m)
x
tempo (ms)

ETAPA DE INVERSÃO

Seção tomográfica de refração sísmica

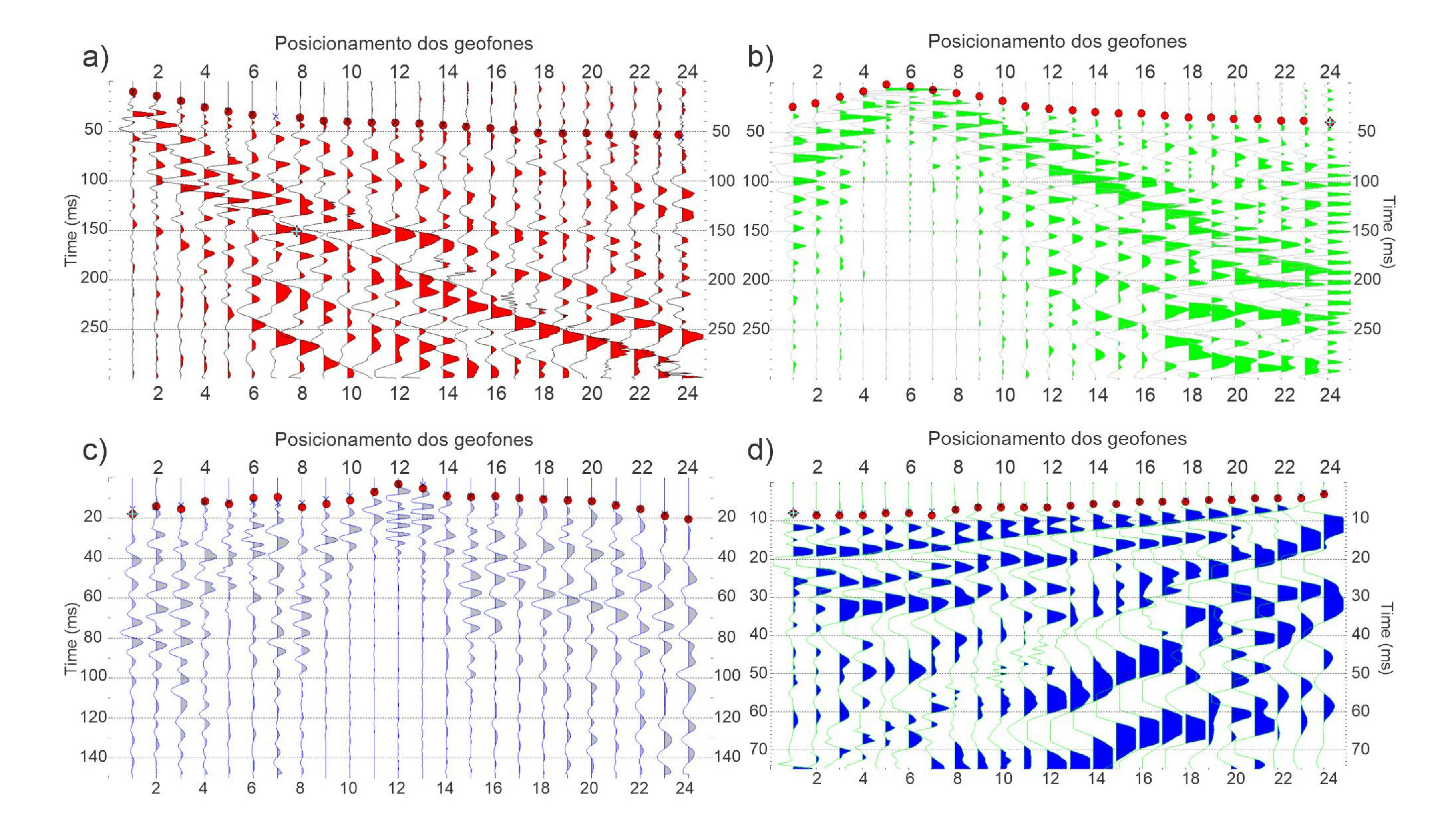


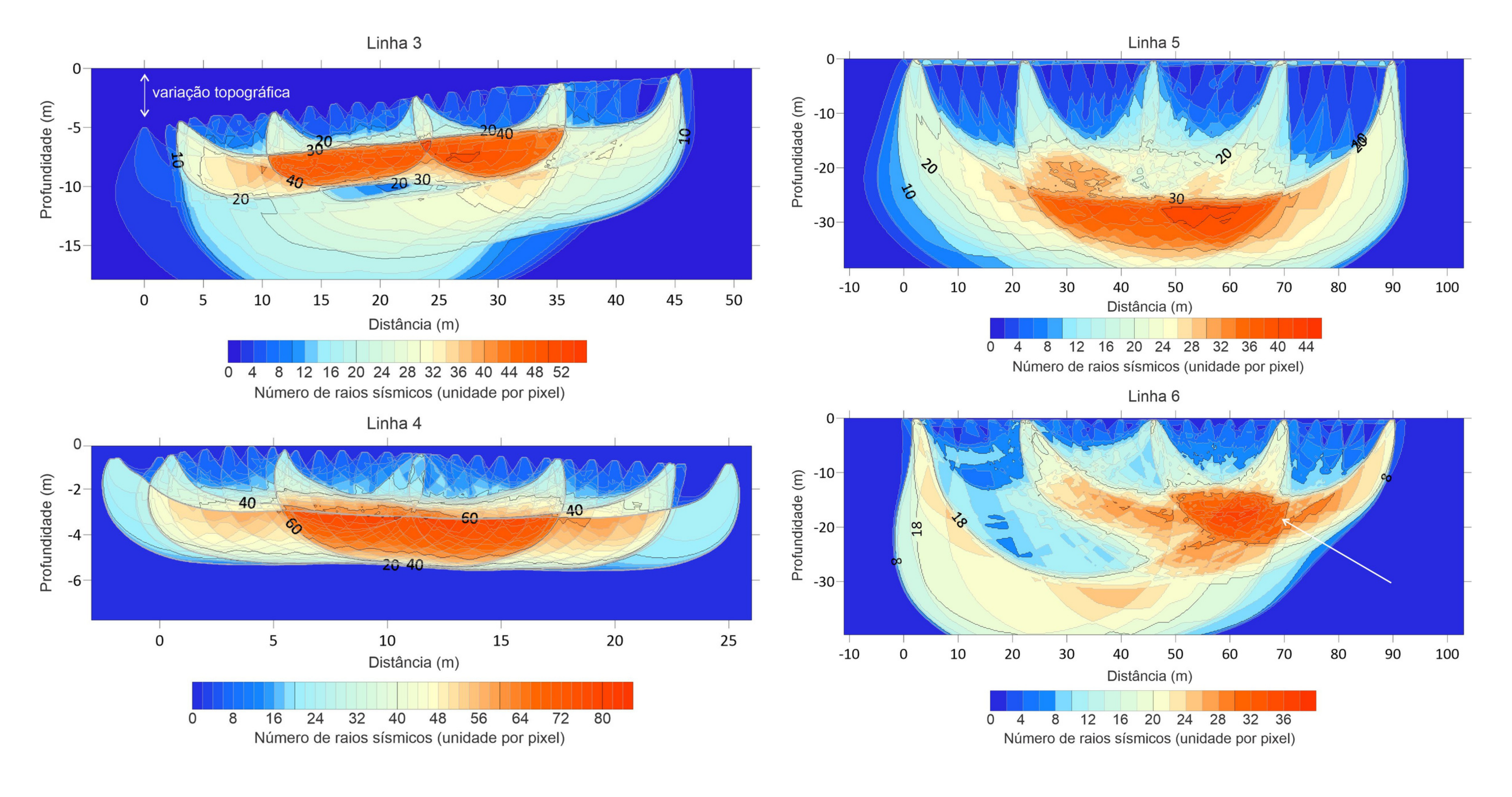
SISMOGRAMA

Determinação dos primeiros pontos de chegadas das ondas P

ETAPA DE INVERSÃO

Seção com a disposição dos raios sísmicos





Estudos de caso

Mina Osamu Utsumi, Poços de Caldas (MG) 🔷 🛠

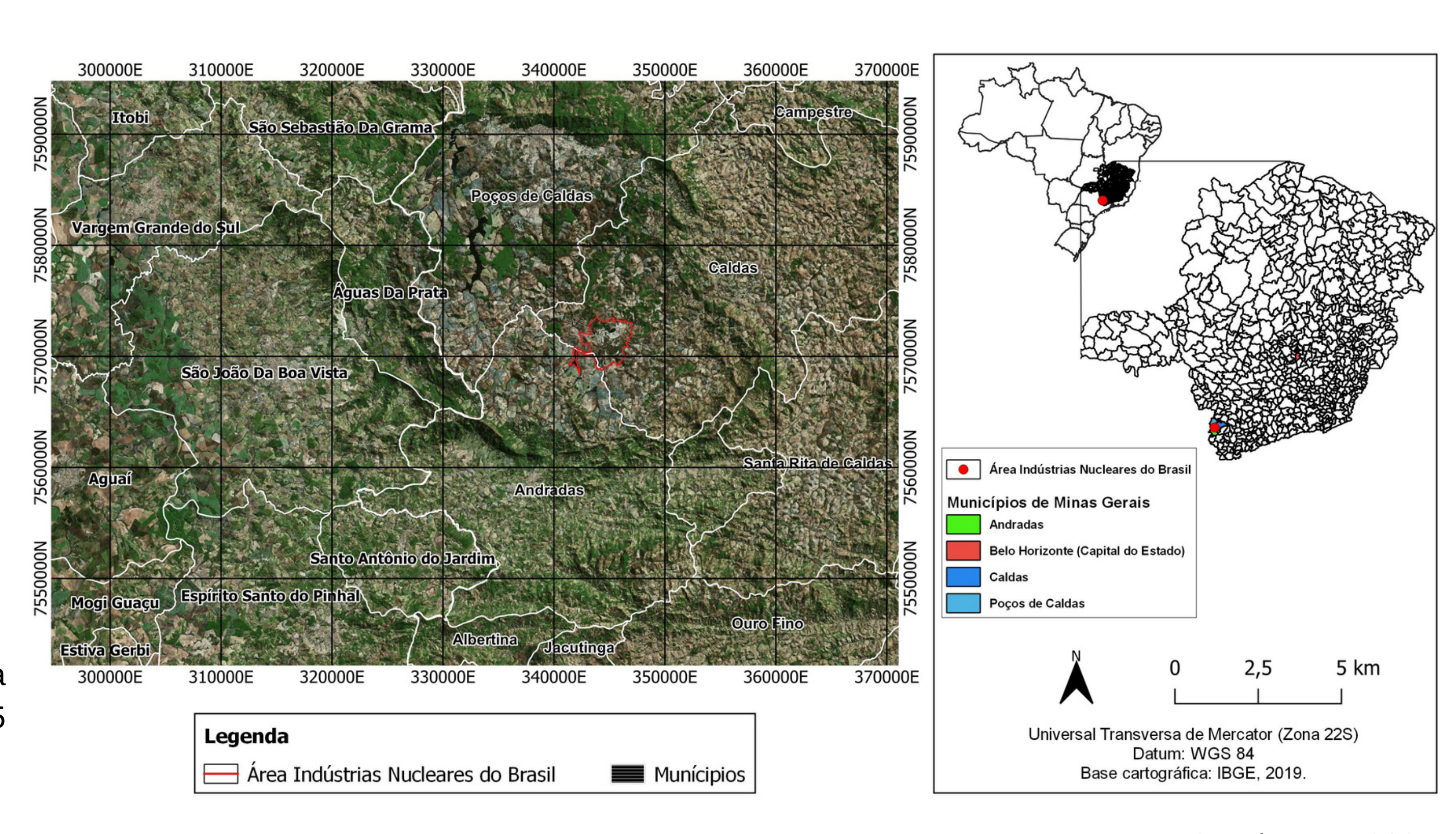




Pertencente à Indústrias Nucleares do Brasil S. A.

Inserida na região conhecida como Planalto de Poços de Caldas, localizado sudoeste do Estado Minas Gerais e está inserida Complexo Mínerono Poços Industrial de Caldas - CIPC.

Todo o CIPC/INB ocupa uma área de aproximadamente 15 km2.



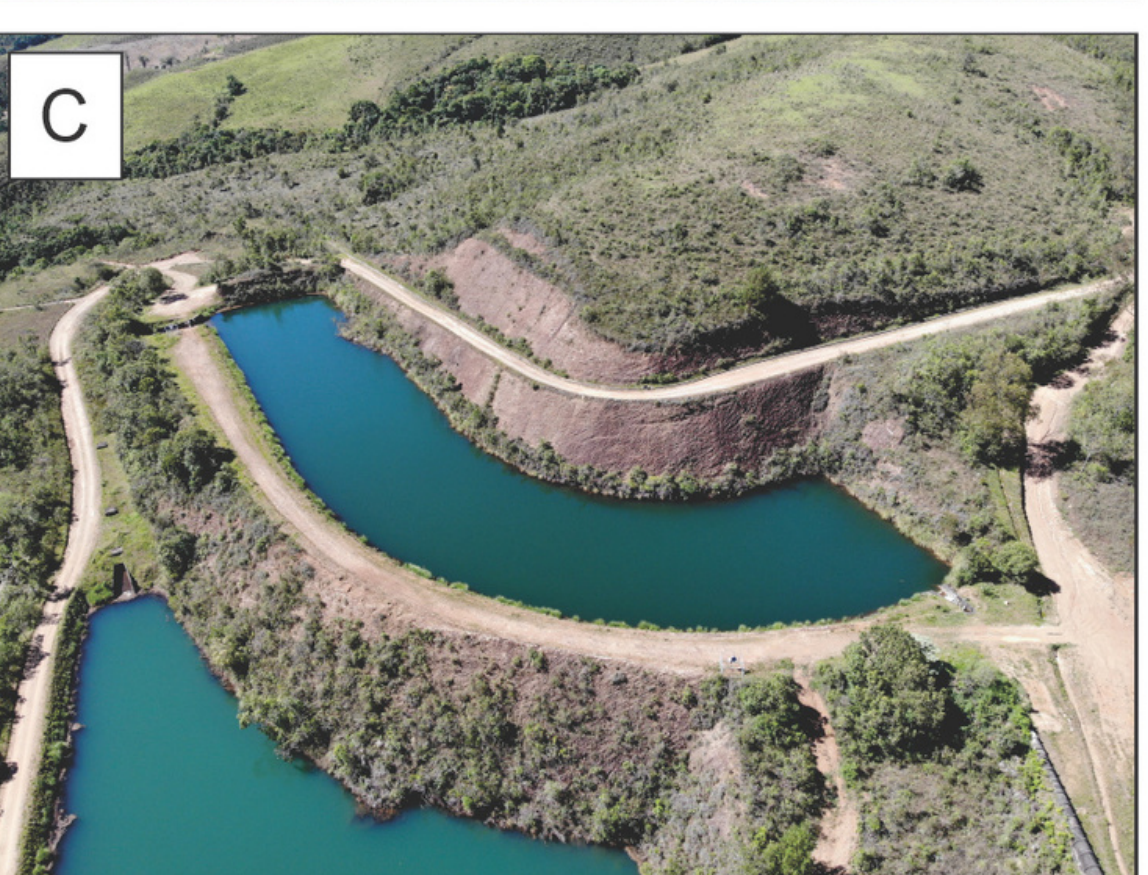
Mina Osamu Utsumi, Poços de Caldas (MG) 🚳 🛠







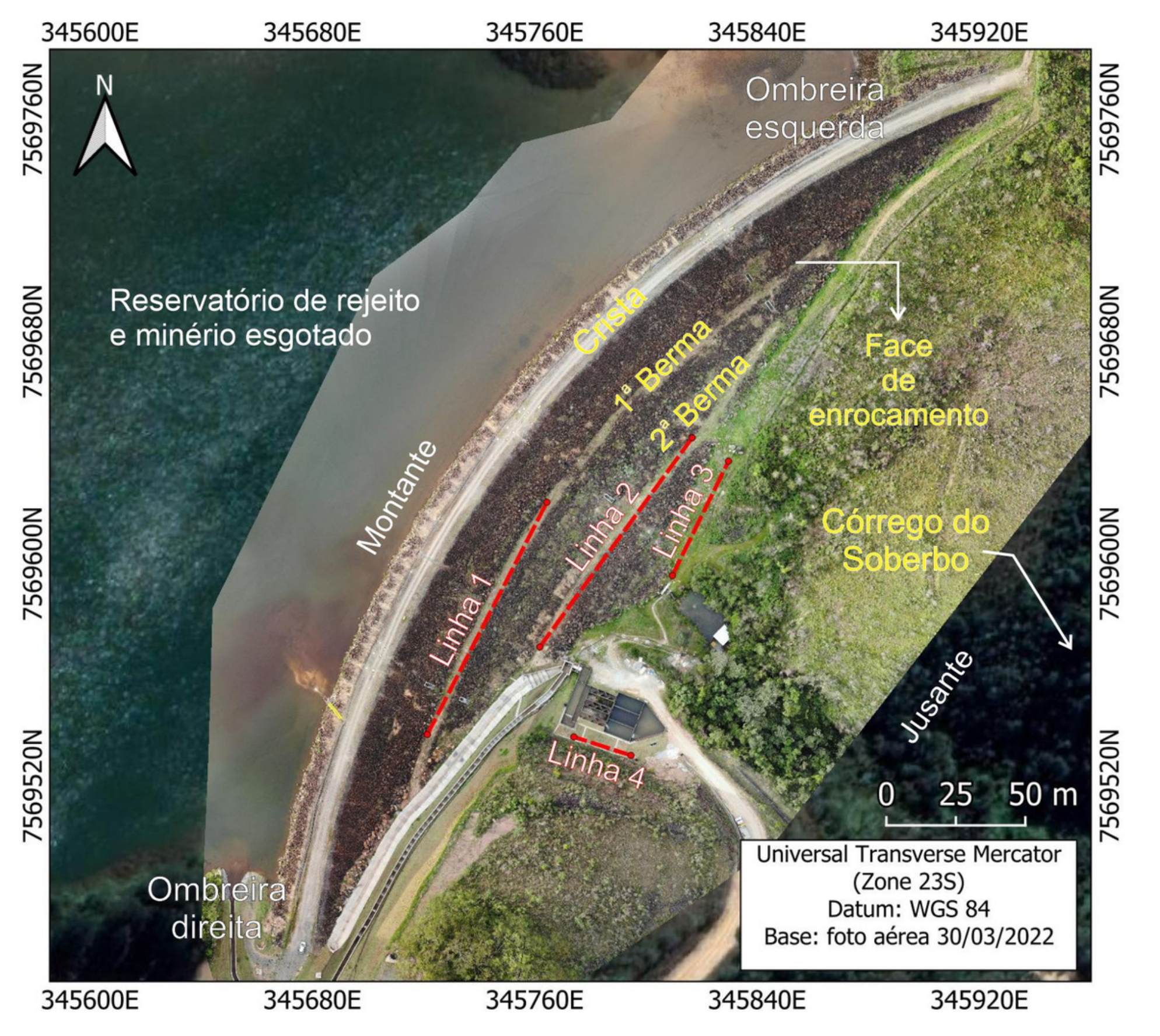




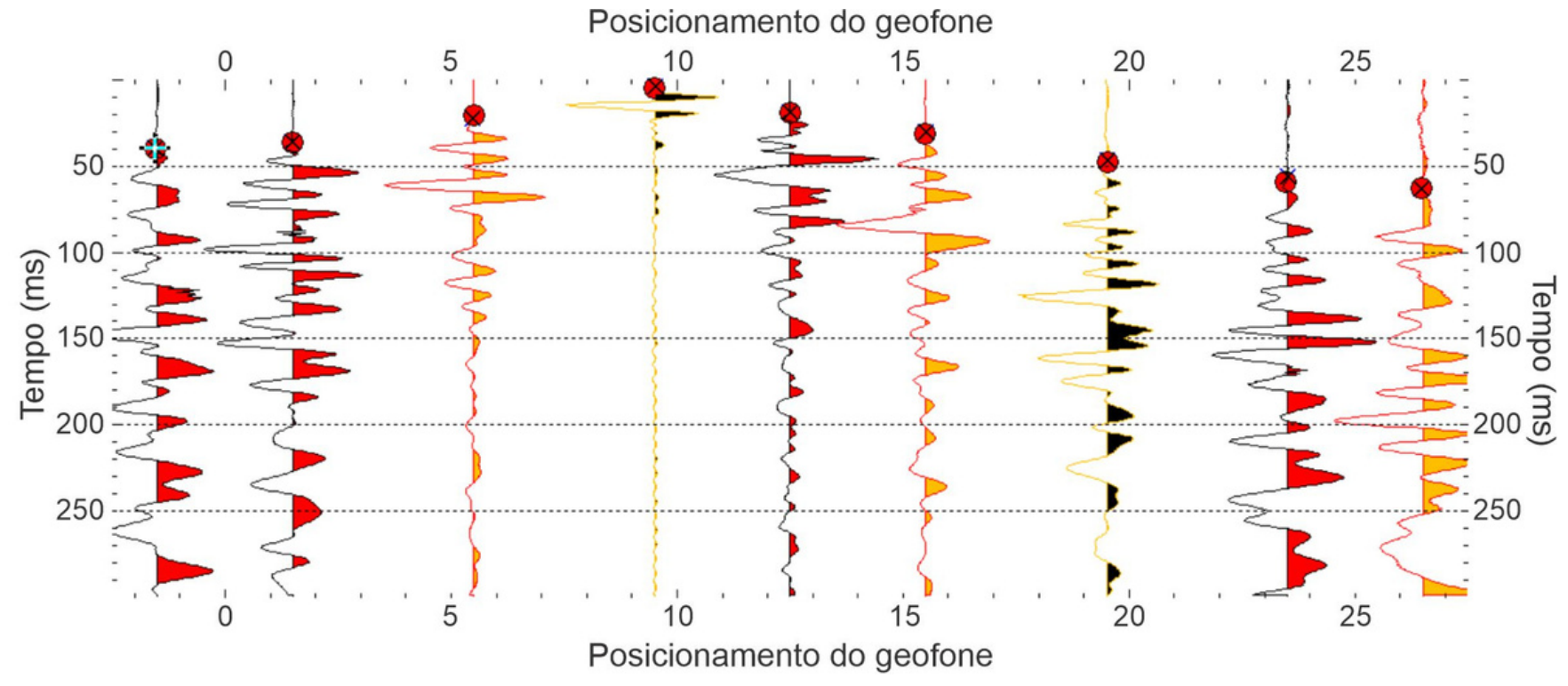


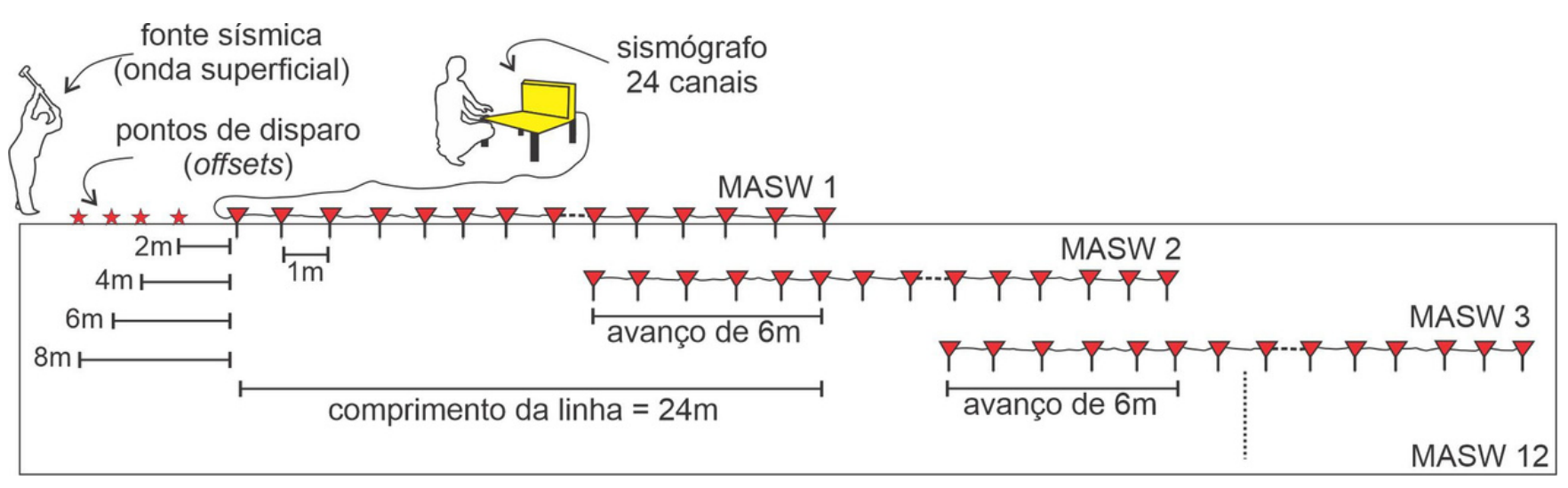


Sísmica de refração e MASW



AQUISIÇÕES SÍSMICAS NA BARRAGEM

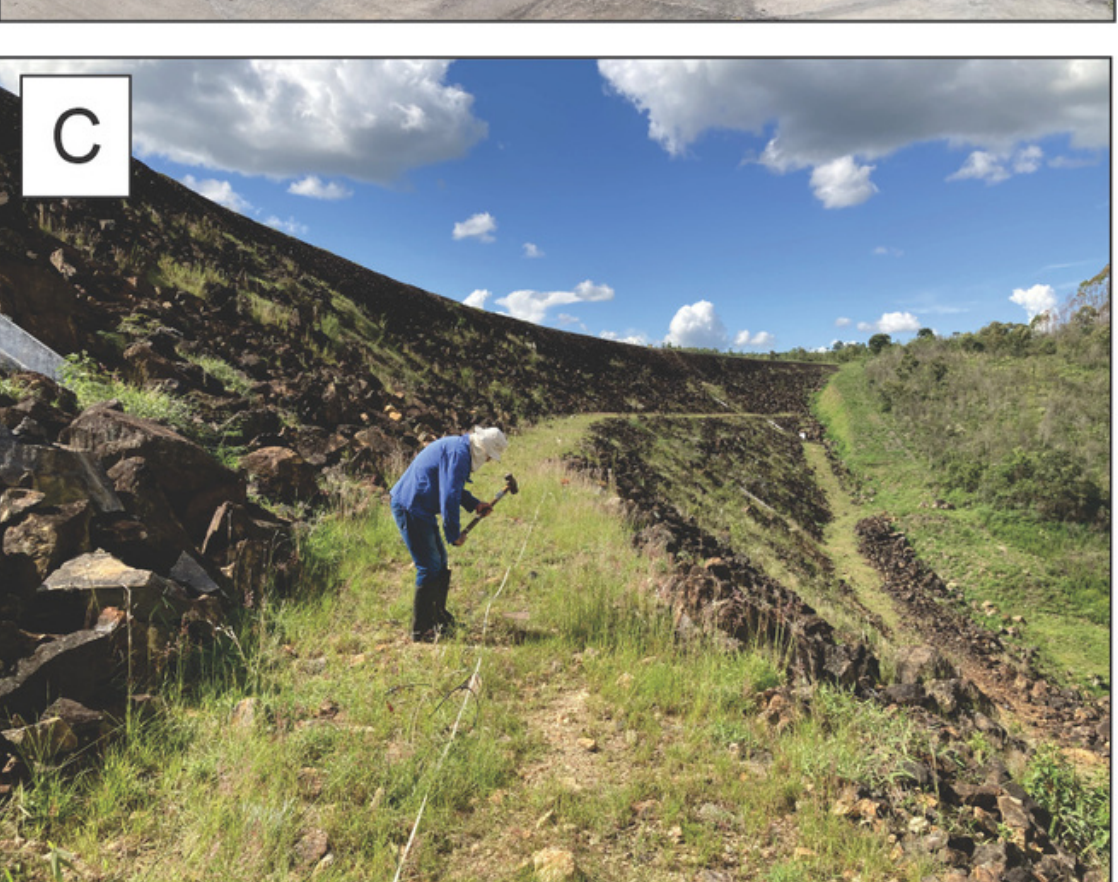




Aquisições de dados de Sísmica de refração e MASW



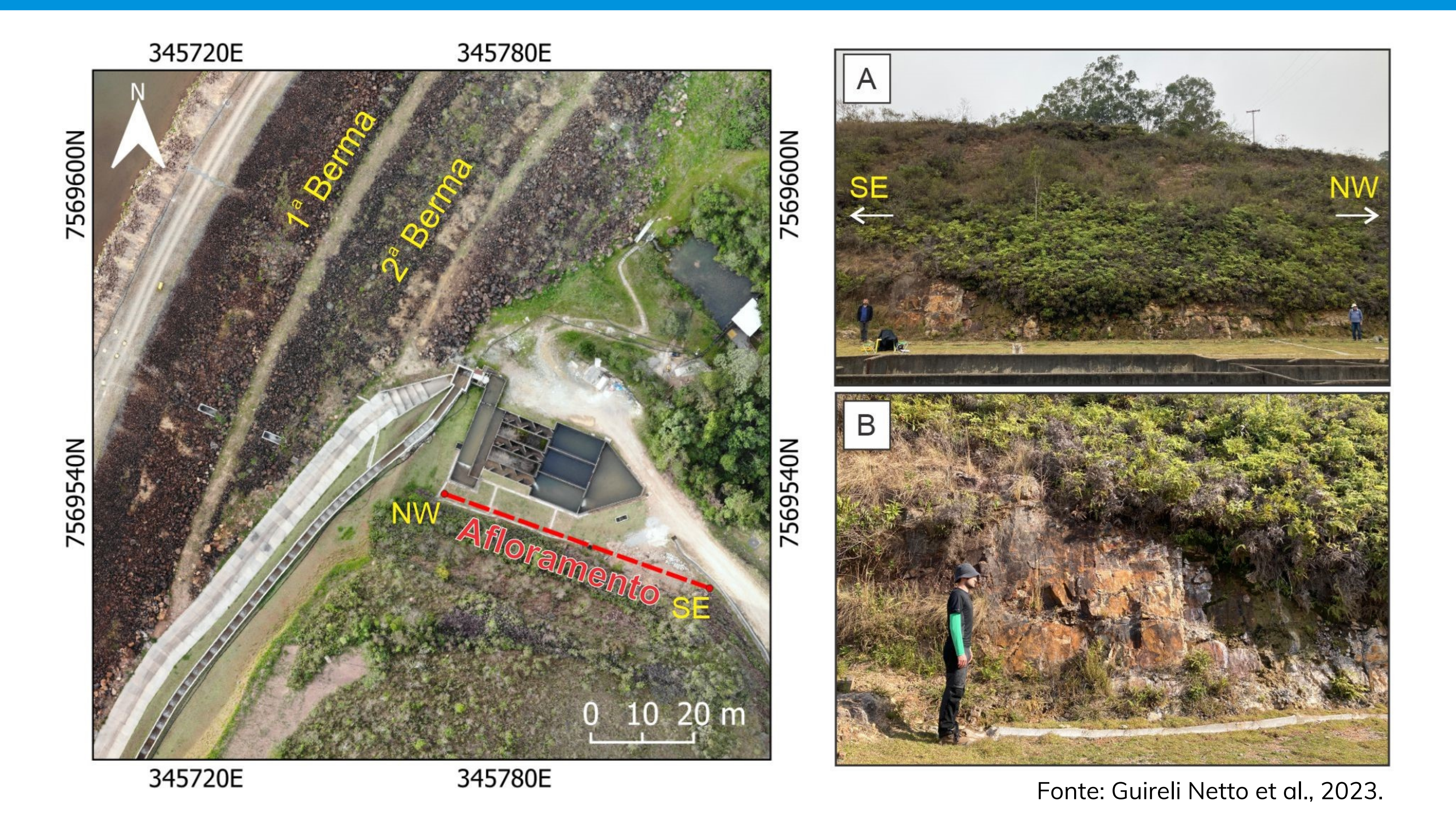


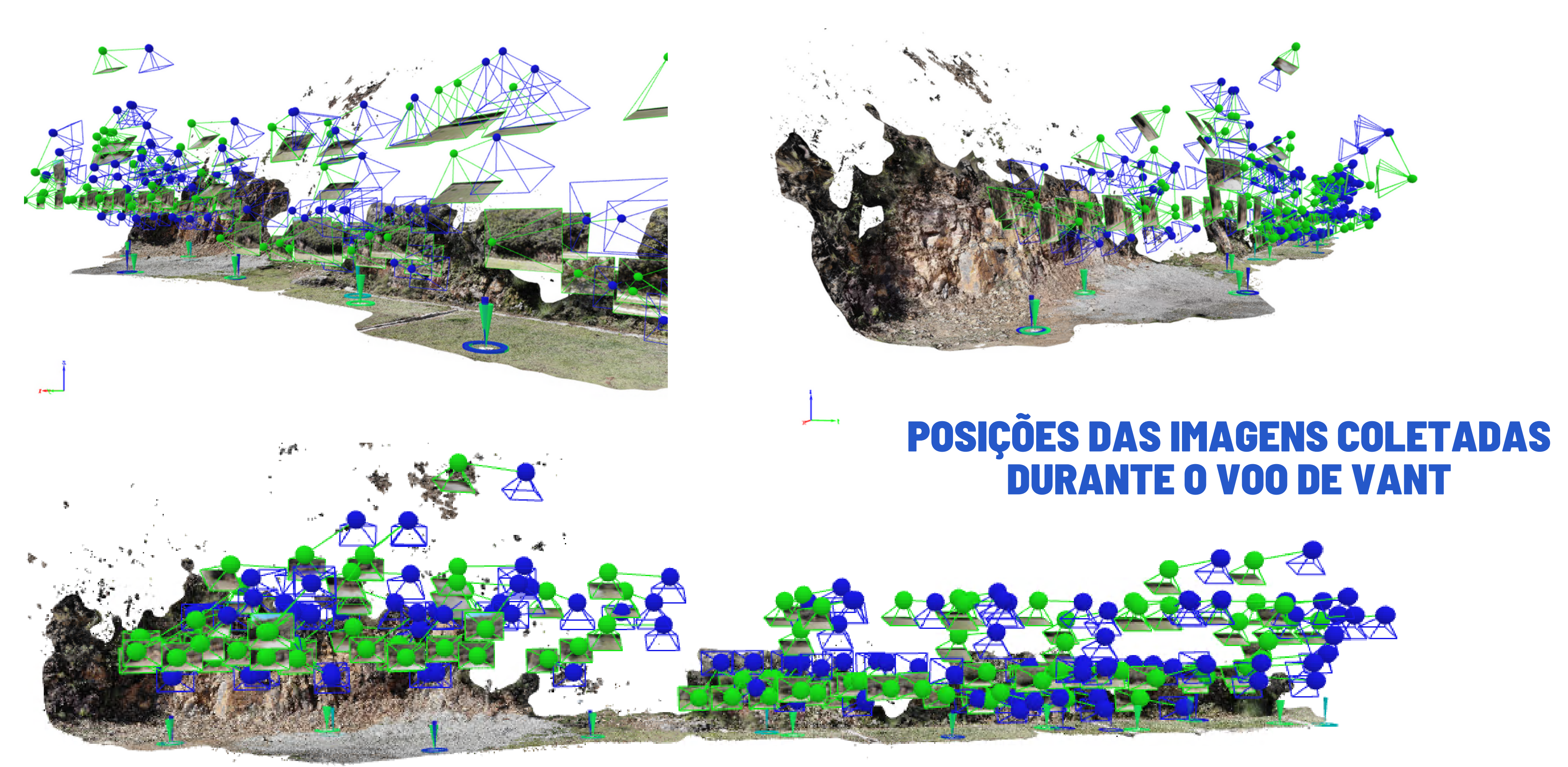


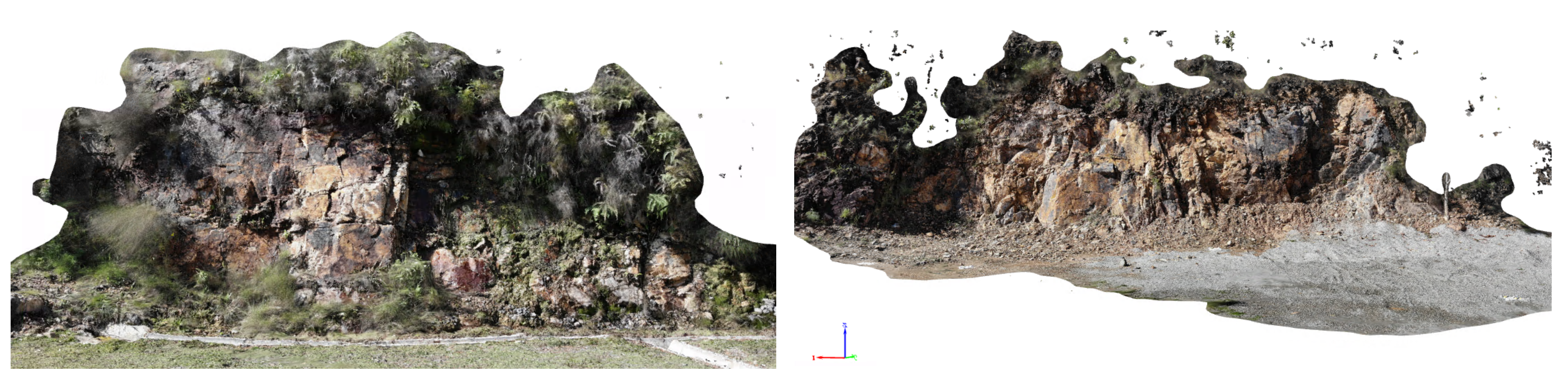




Análise estrutural de maciço rochoso

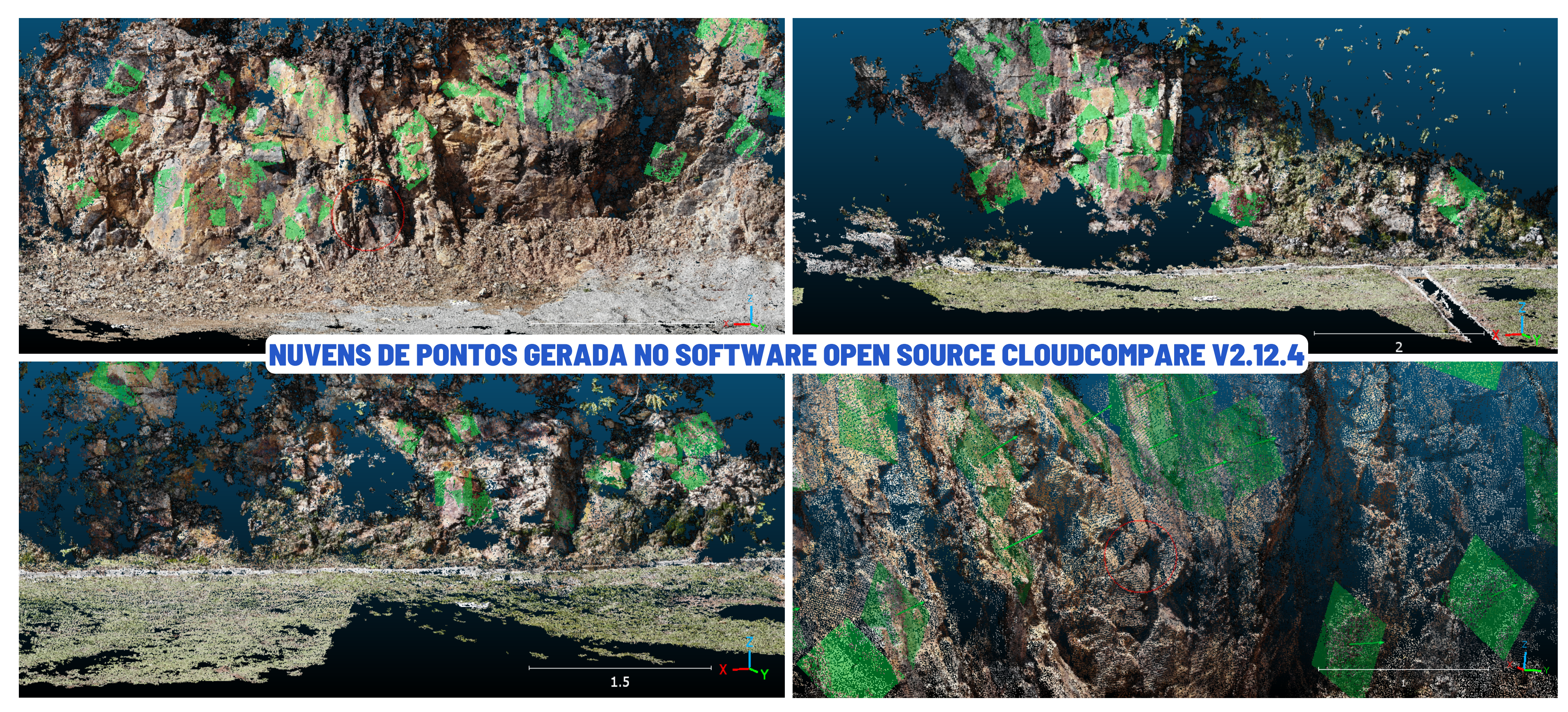


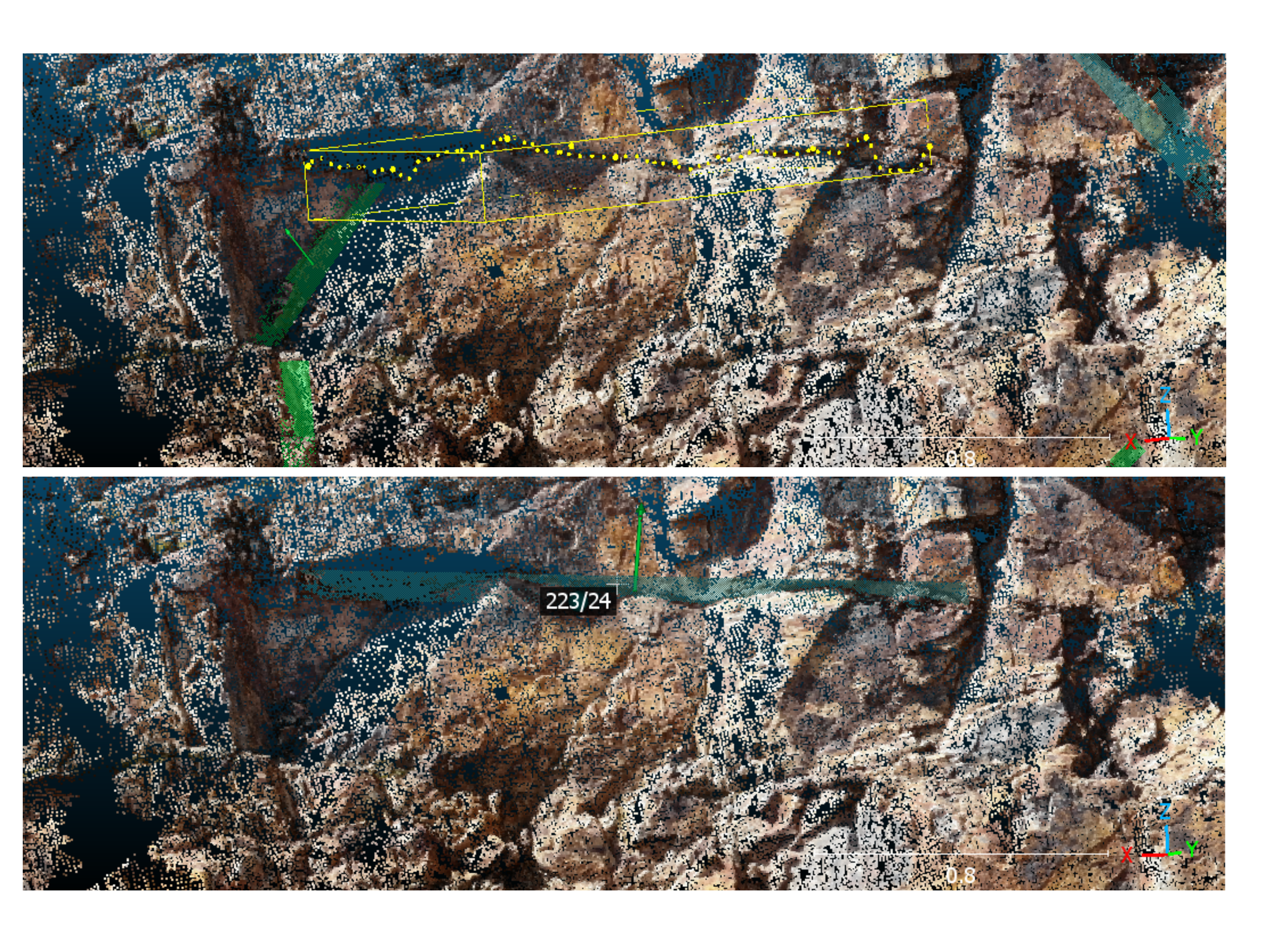




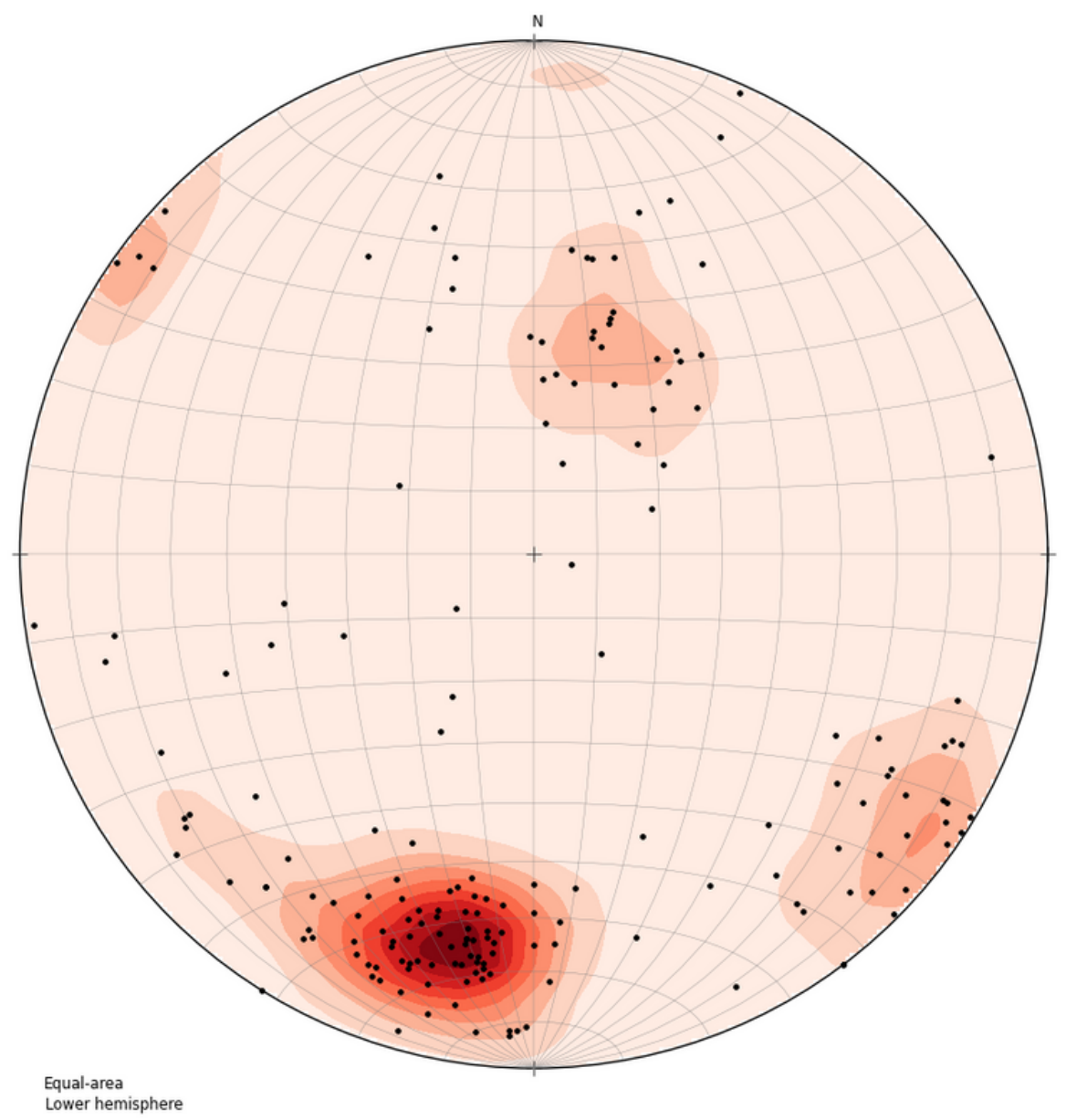
DIGITAL OUTCROP MODEL OBTIDO A PARTIR DE FOTOGRAMETRIA DIGITAL







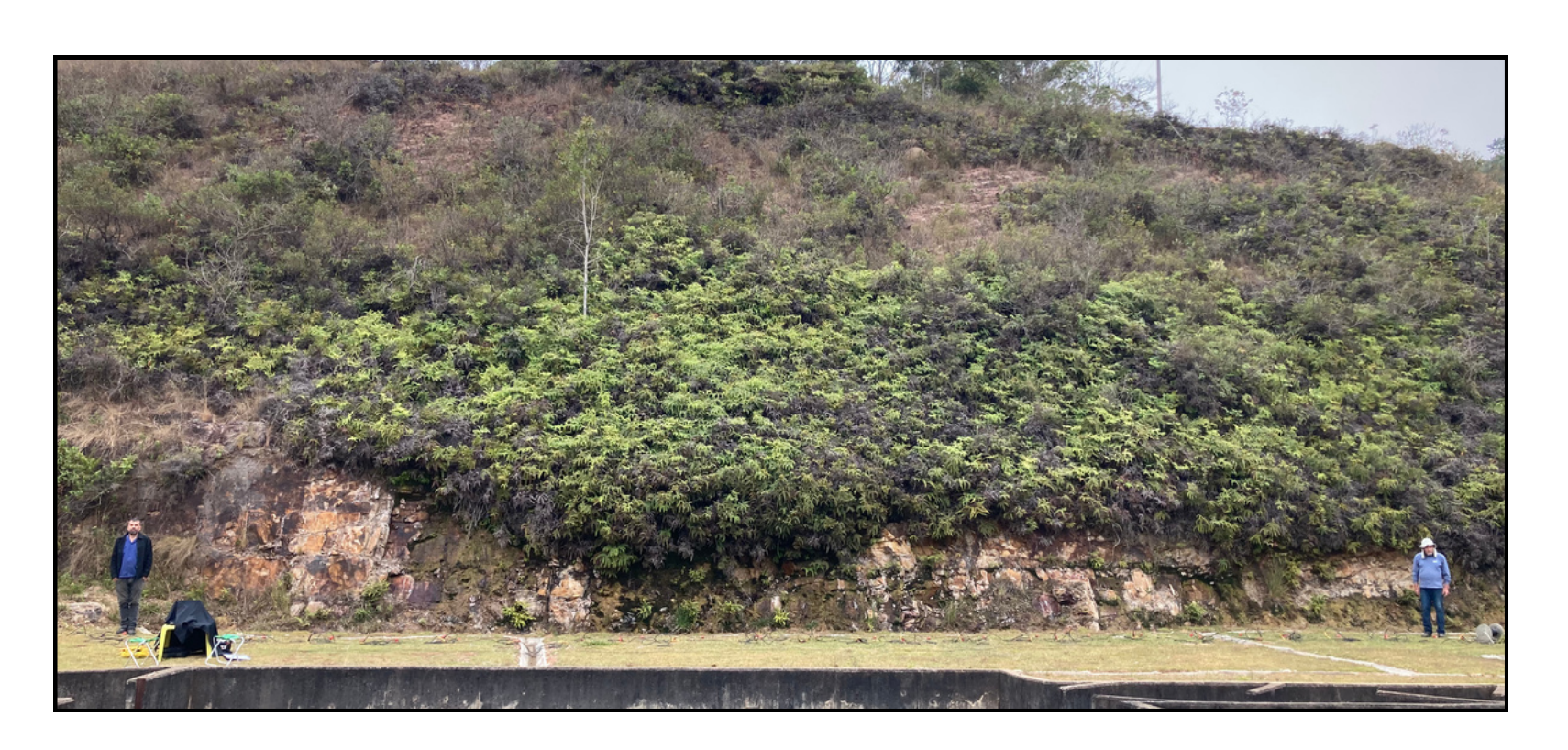
PROJEÇÕES ESTEREOGRÁFICA E TRIDIMENSIONAL DE ELEMENTOS PLANARES



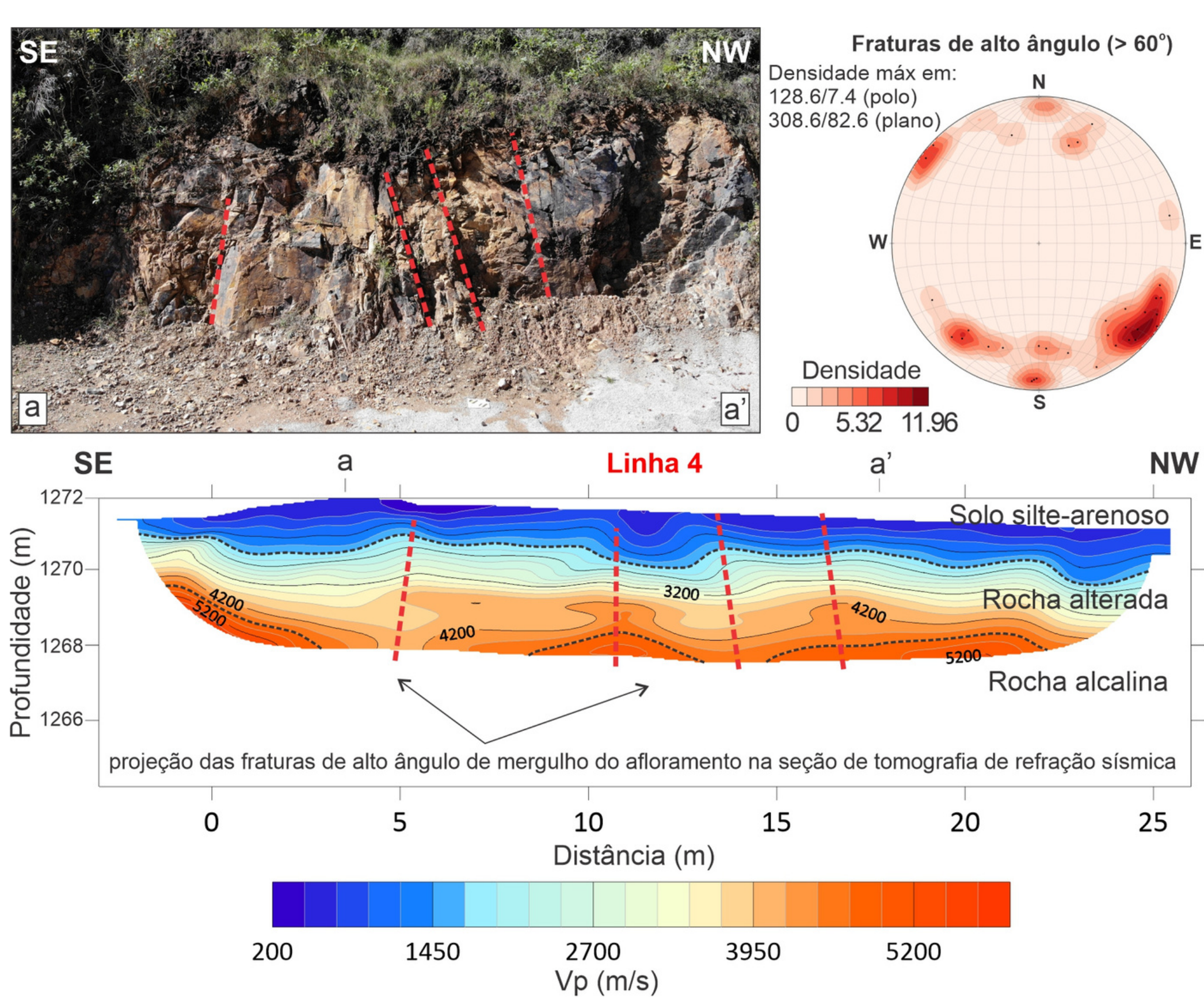
Mina Osamu Utsumi, Poços de Caldas (MG) 🔷 💢







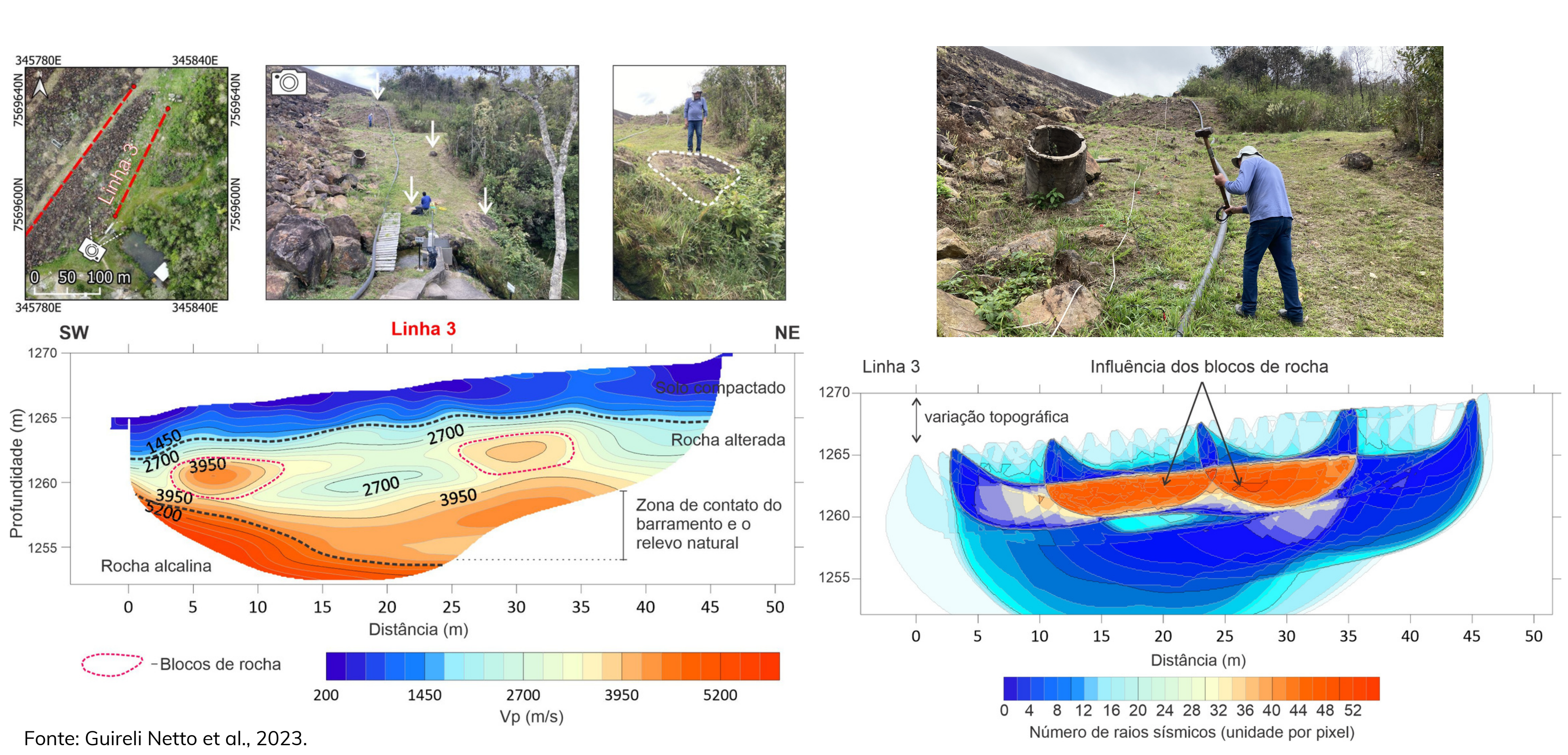




Mina Osamu Utsumi, Poços de Caldas (MG) 🔷 🛠



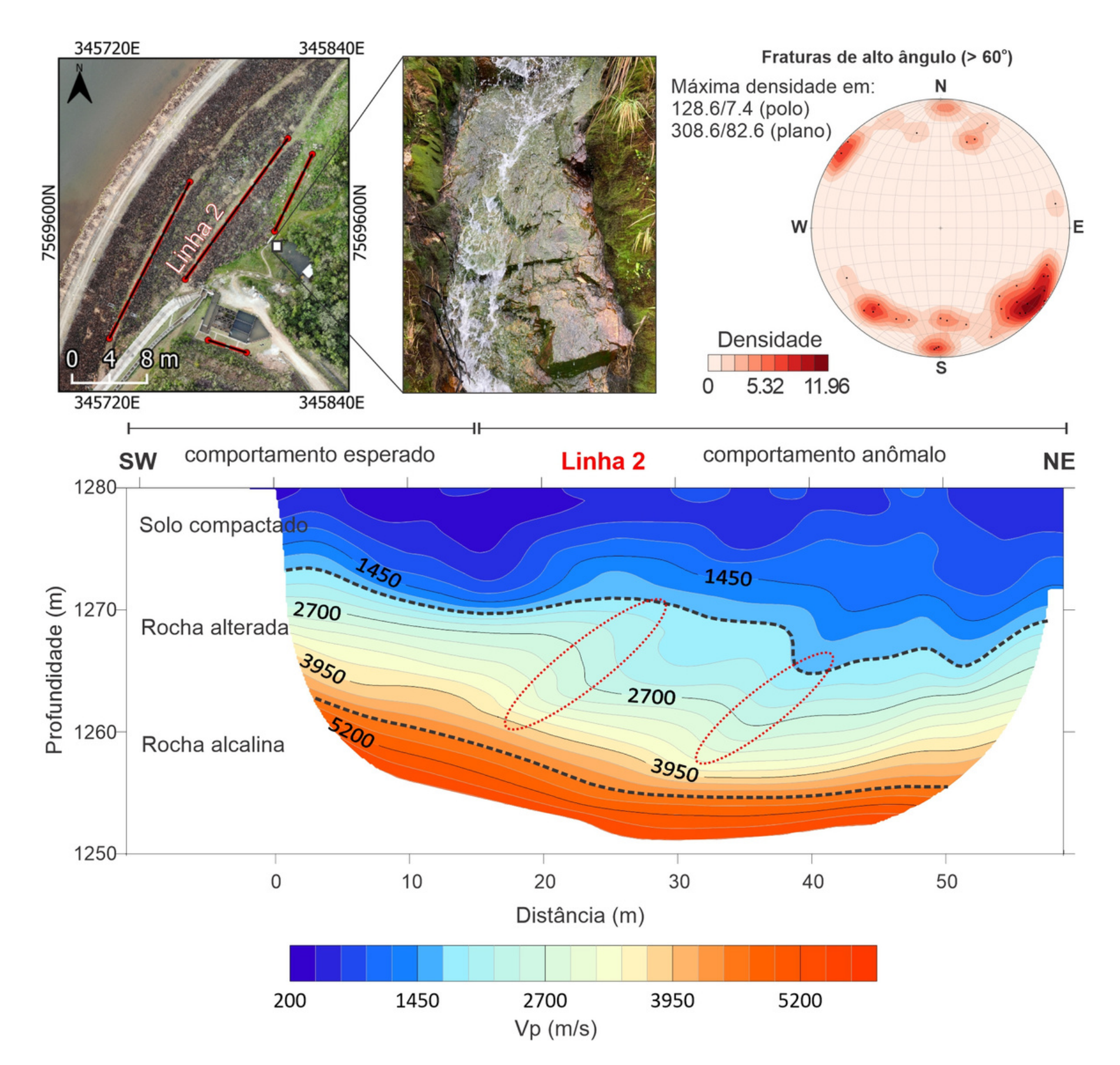


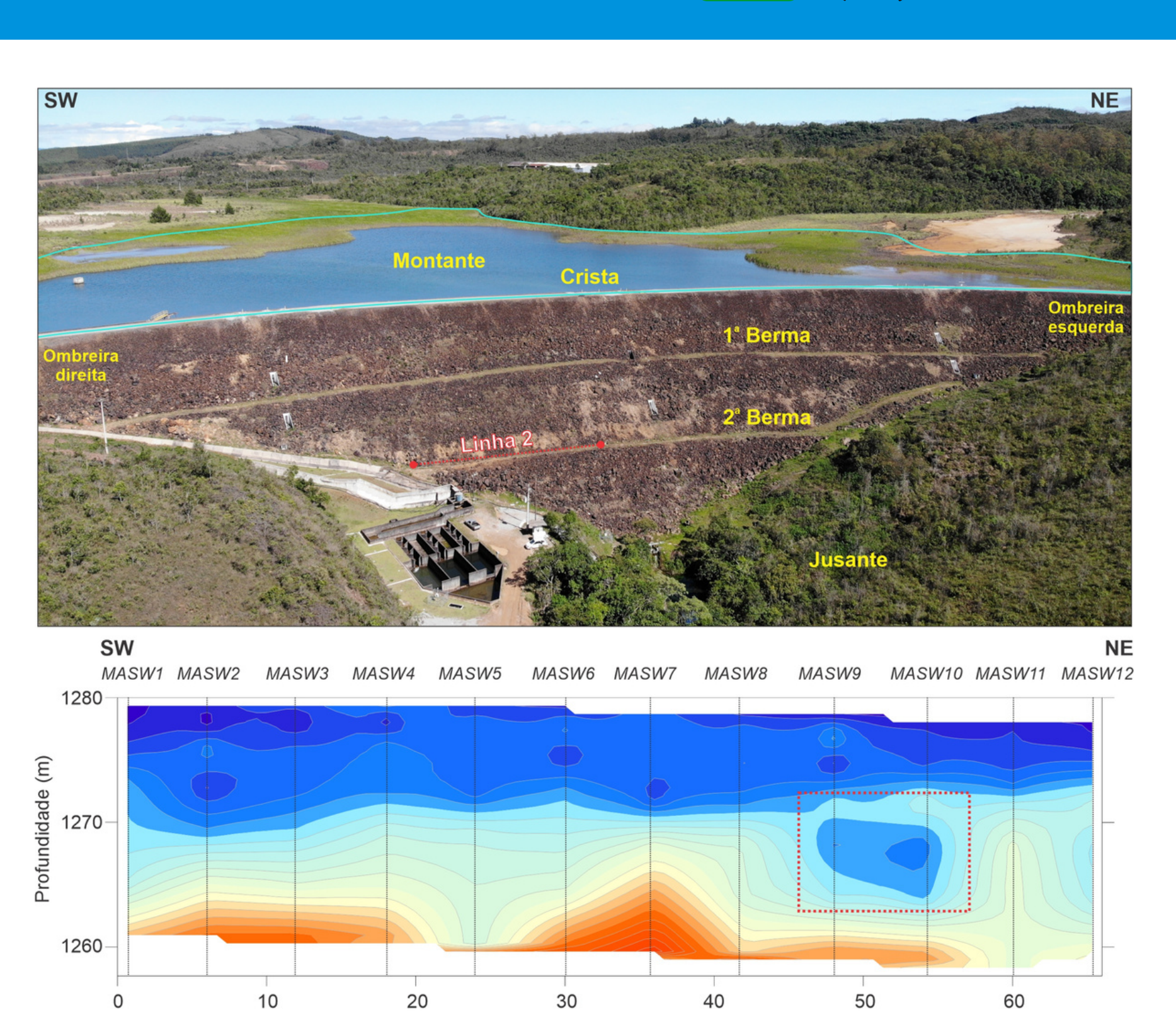


Mina Osamu Utsumi, Poços de Caldas (MG) 🔷 🛠









Distância (m)

Vs (m/s)

950

1100

1250 1400

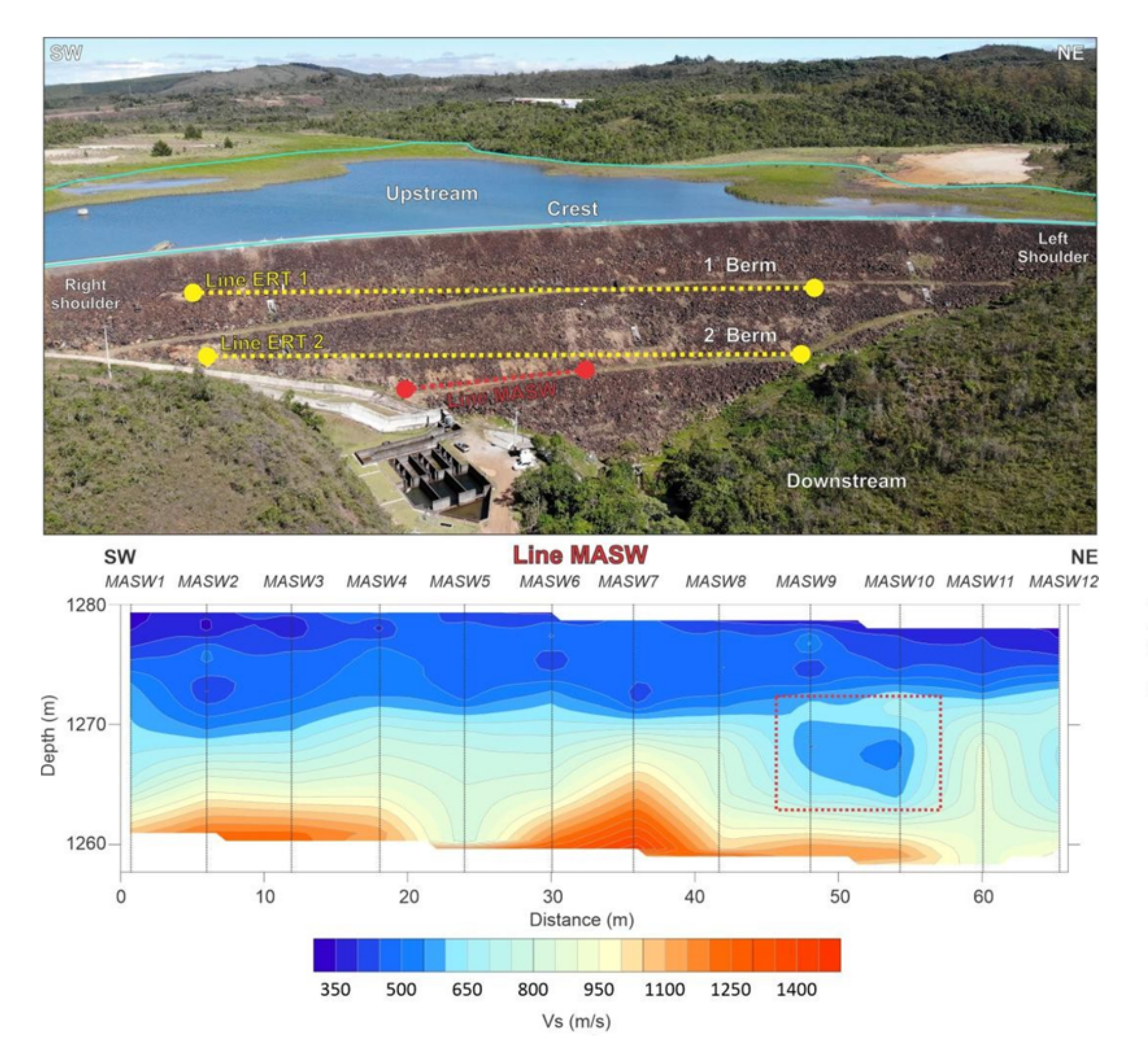
650

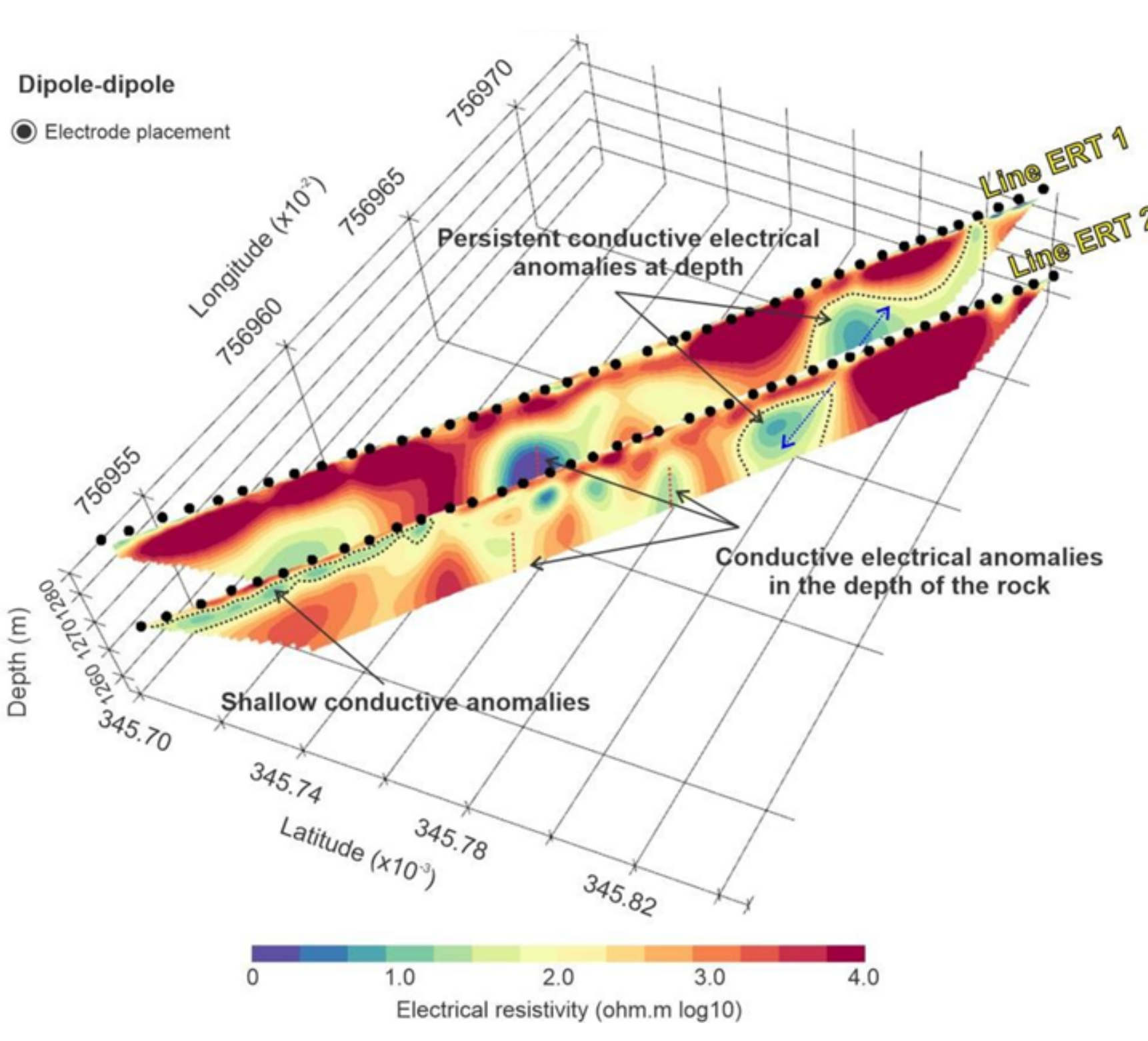
500

Mina Osamu Utsumi, Poços de Caldas (MG) 🦠 💢





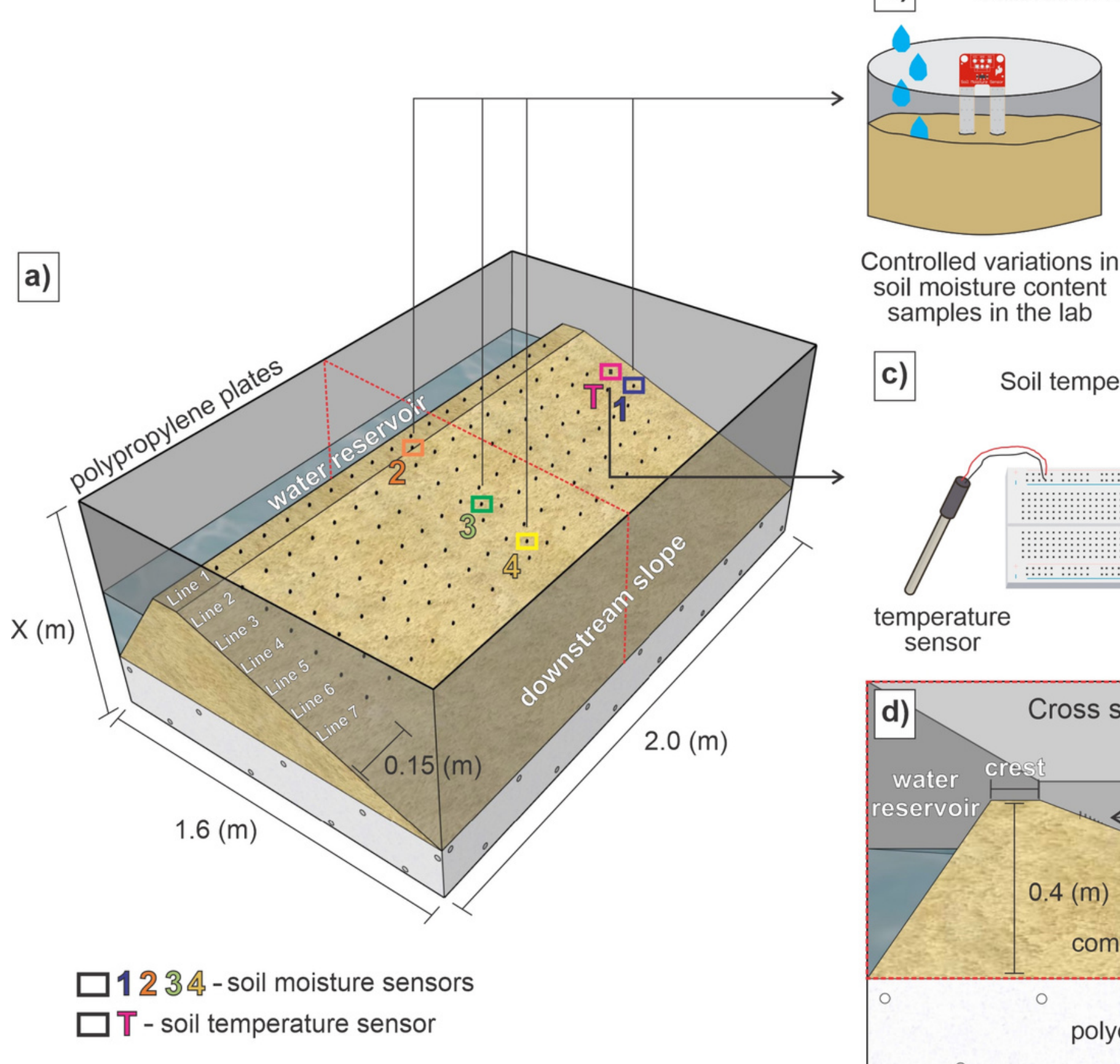




Fonte: under review in Journal of Mining and Environment

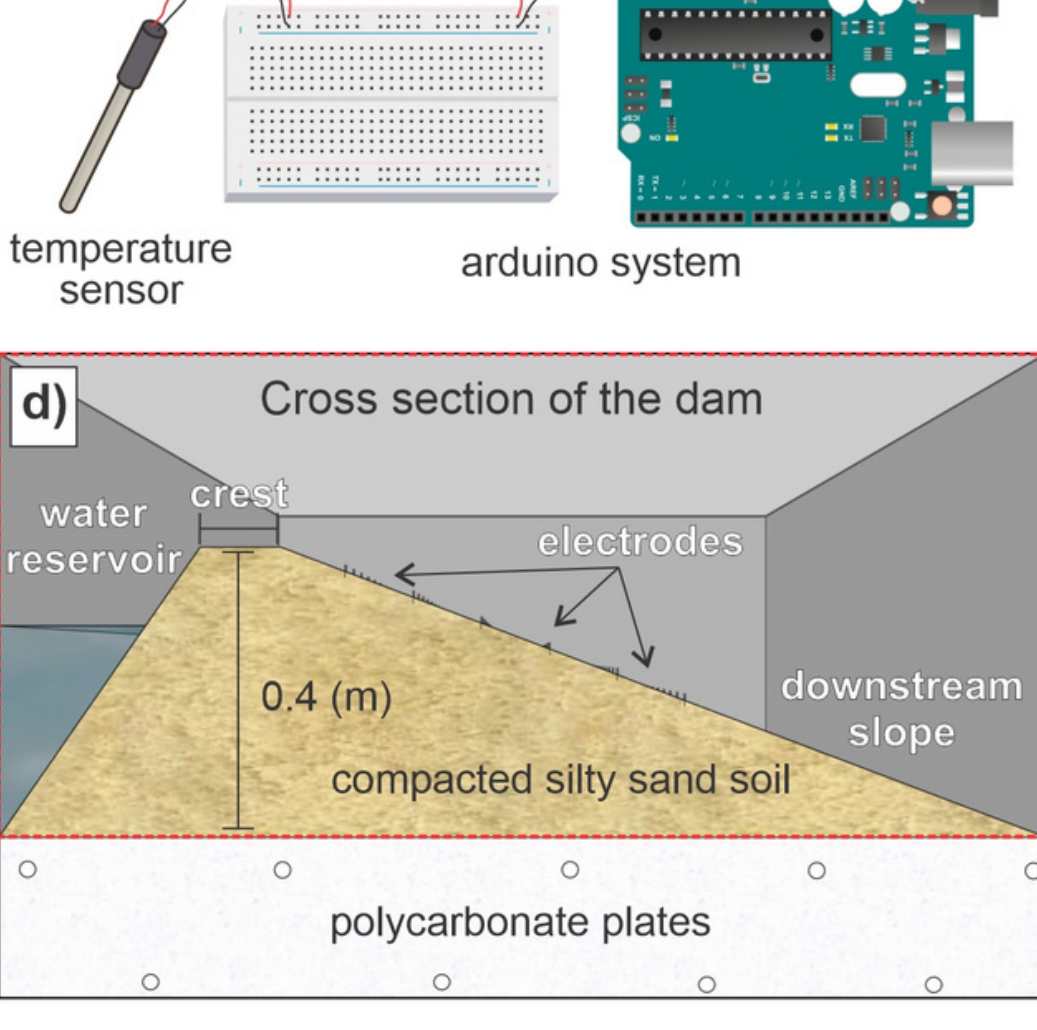
Projeto de Capacitação IPT e Intergeo Geofísica Aplicada

Monitoramento geoelétrico de barragem de solo compactado para entendimento das alterações físicas do maciço a partir de avaliações geofísicas e sensores hidrogeológicos.









Calibration for each soil moisture sensor

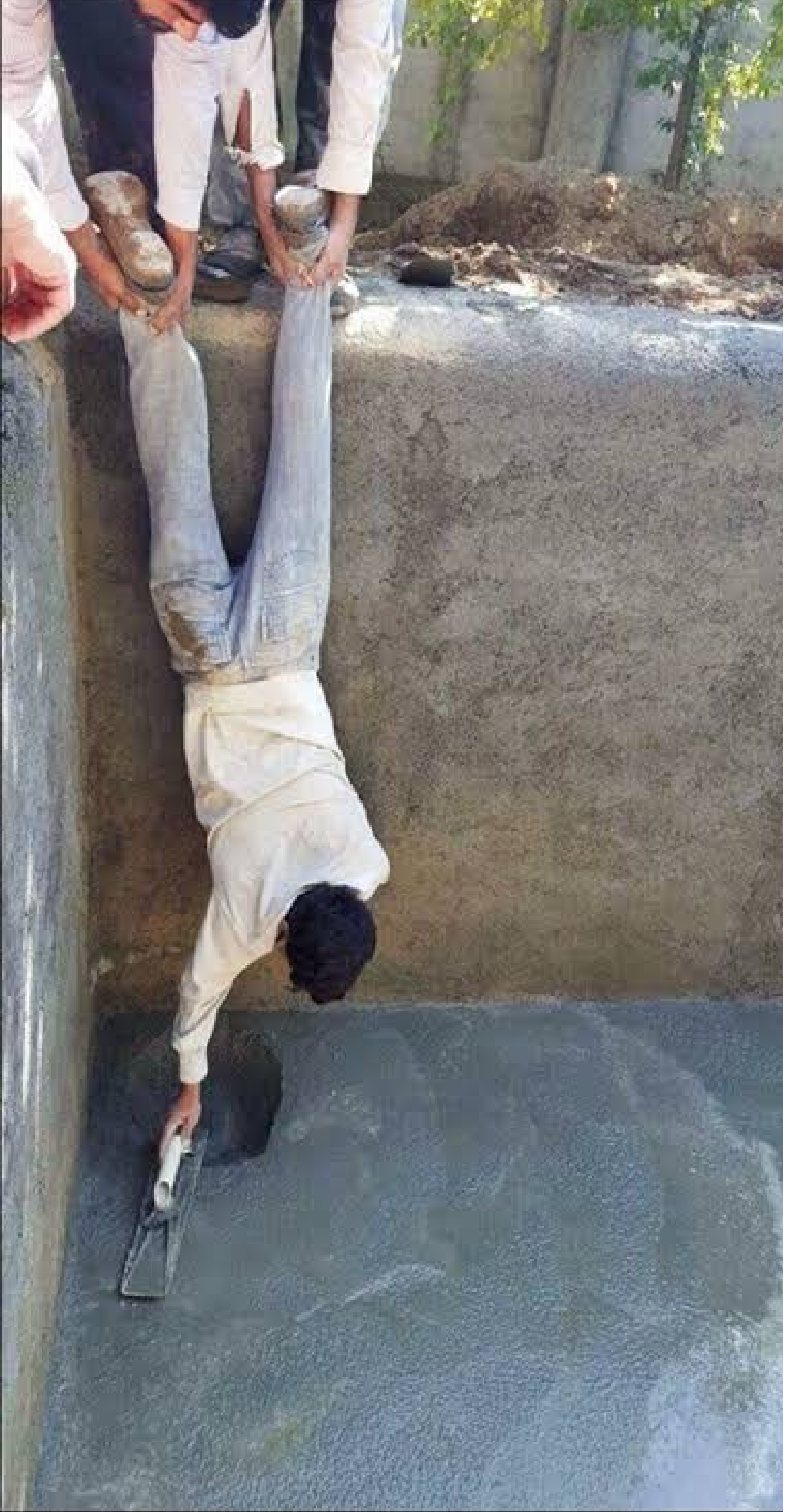
(1024 value)

Soil temperature sensor operation

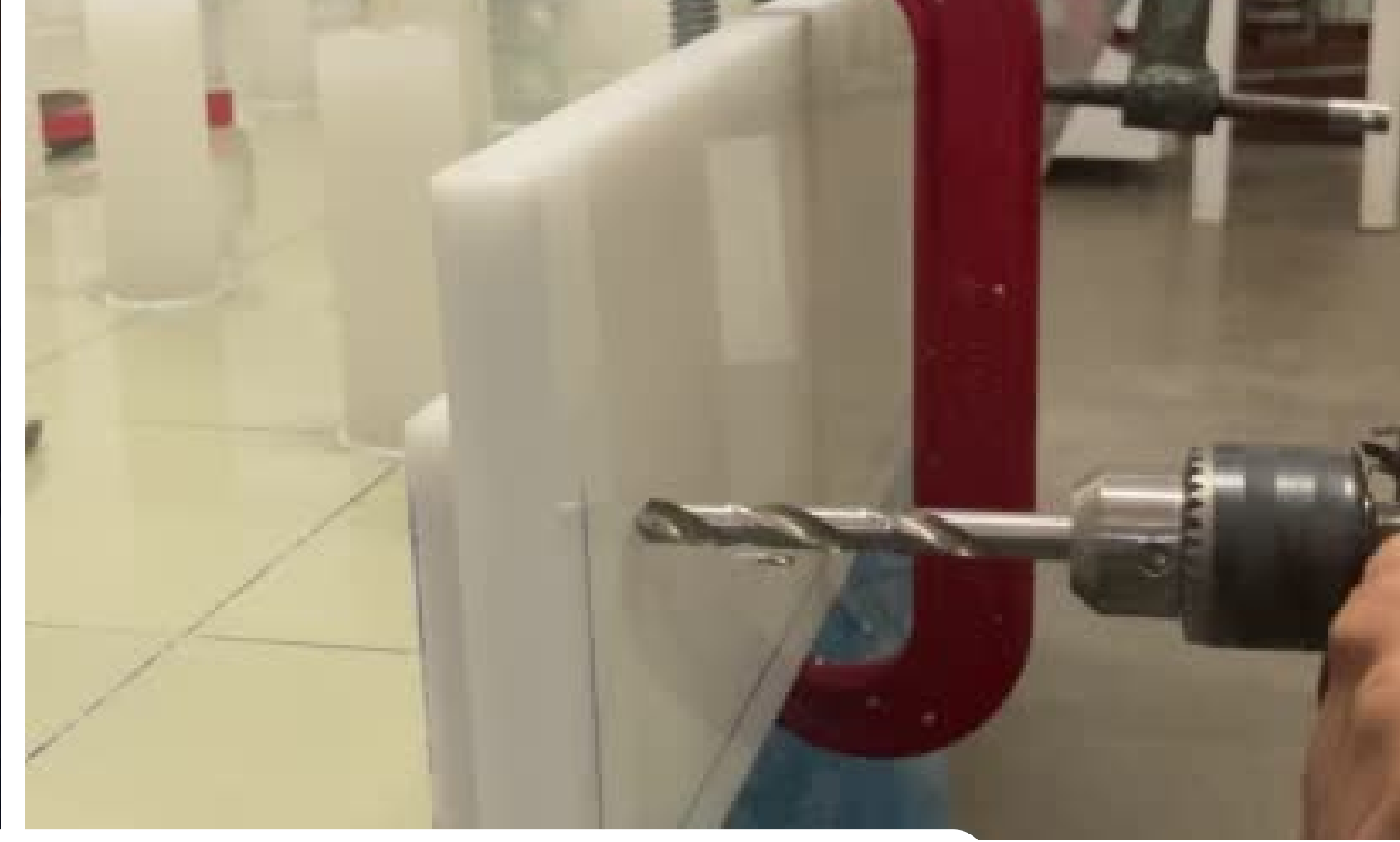
Sensor's operating diagram

moist

(0 to 1024 value)







tínhamos uma engenheira civil e um sonho

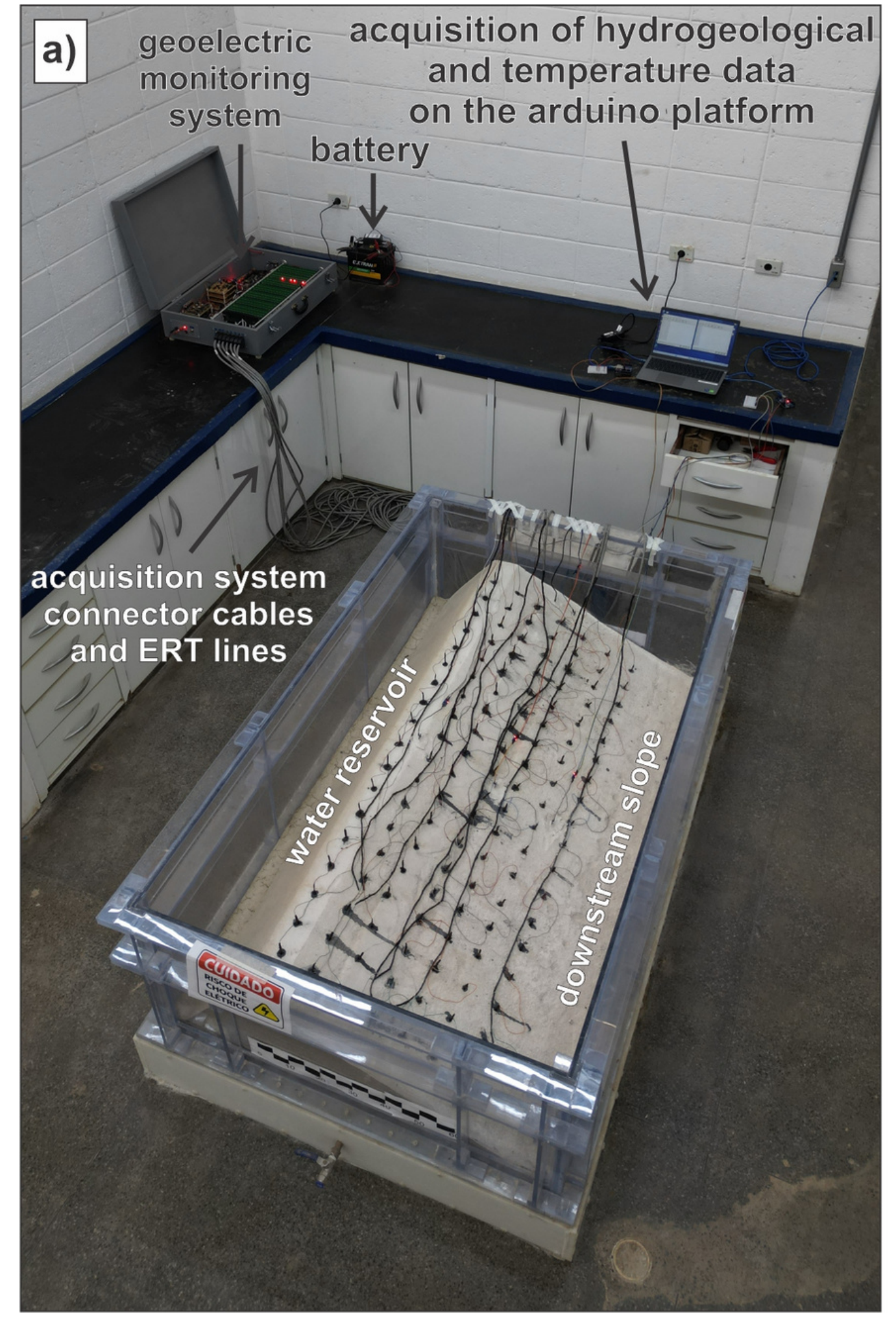


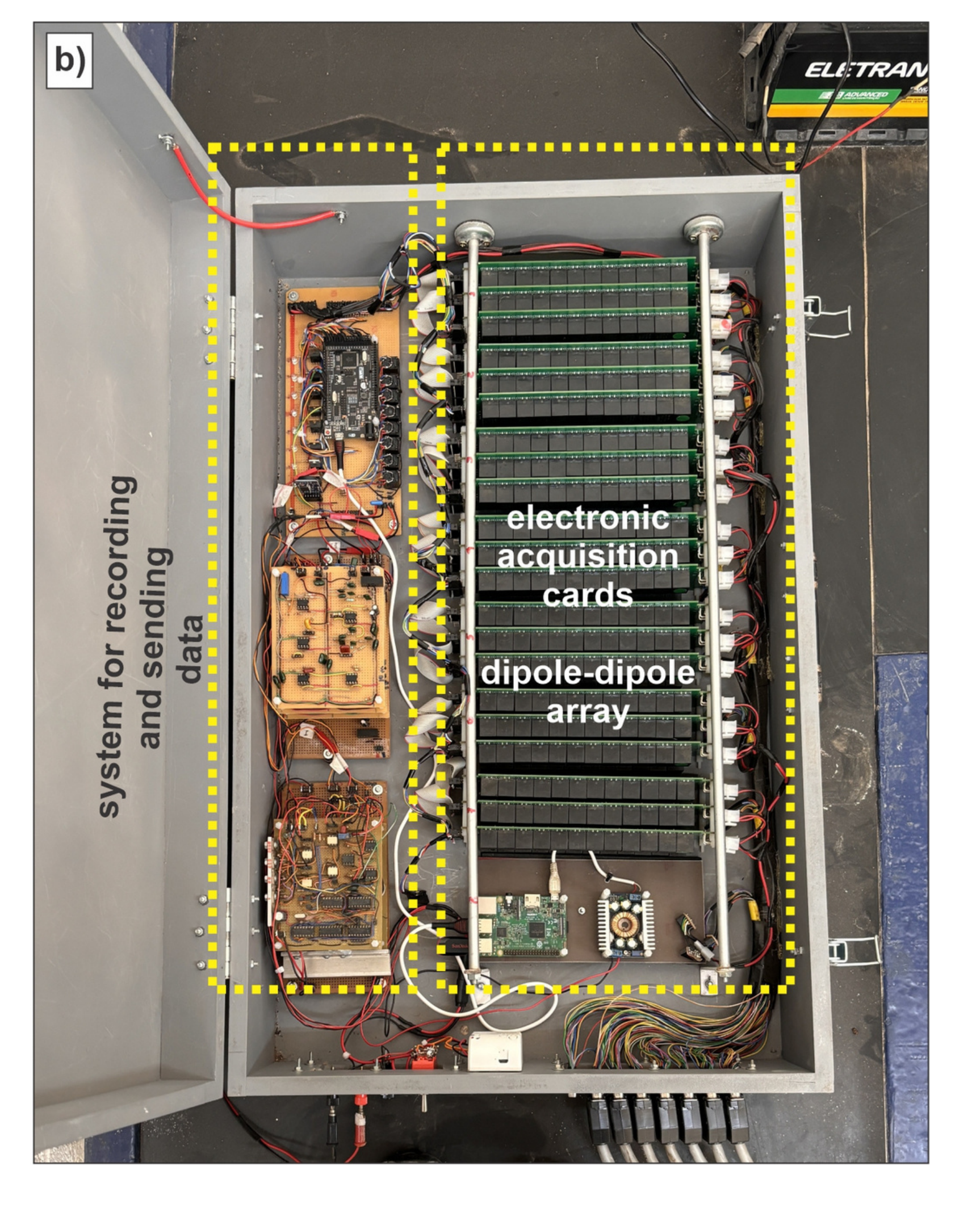


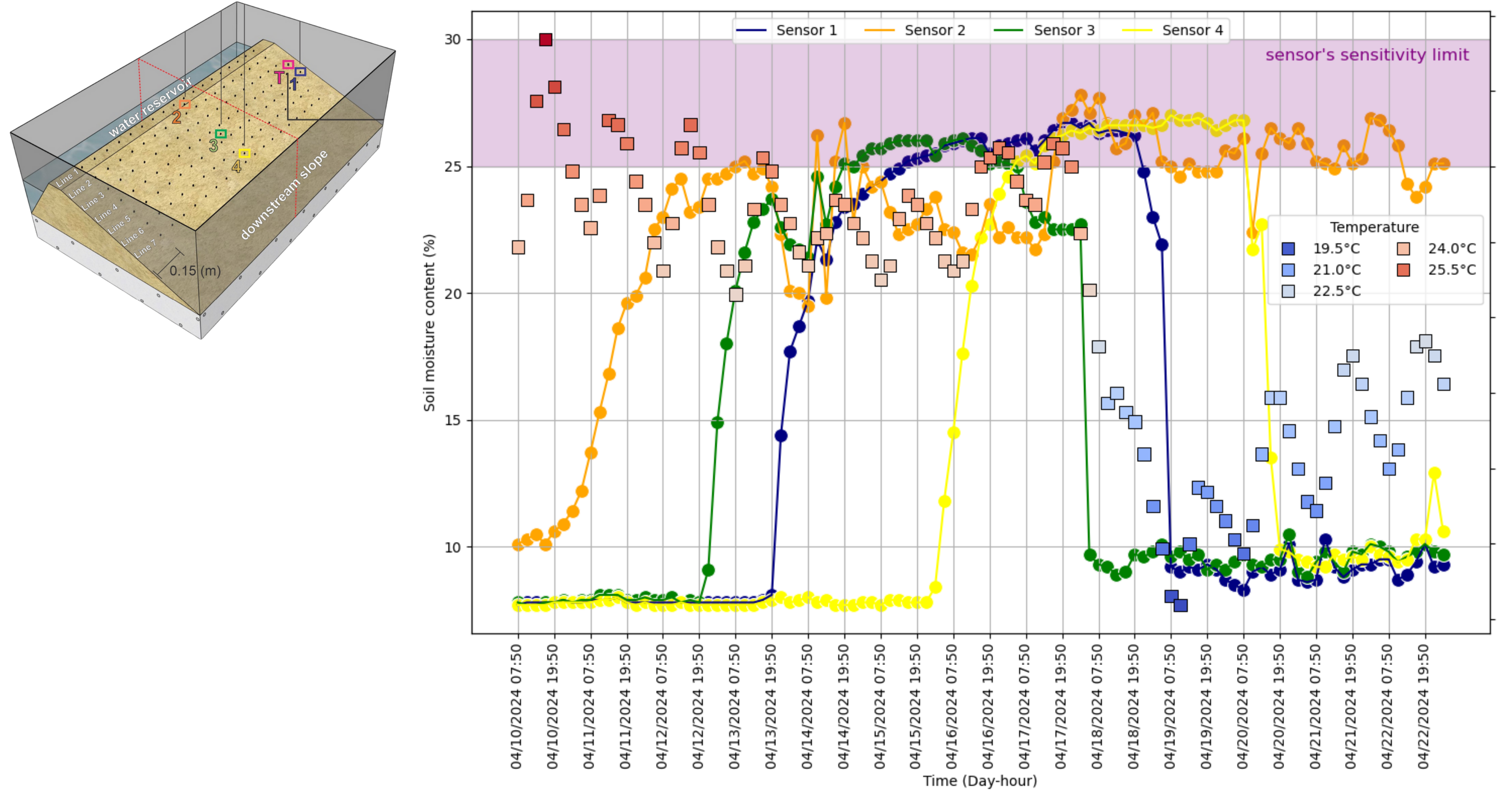






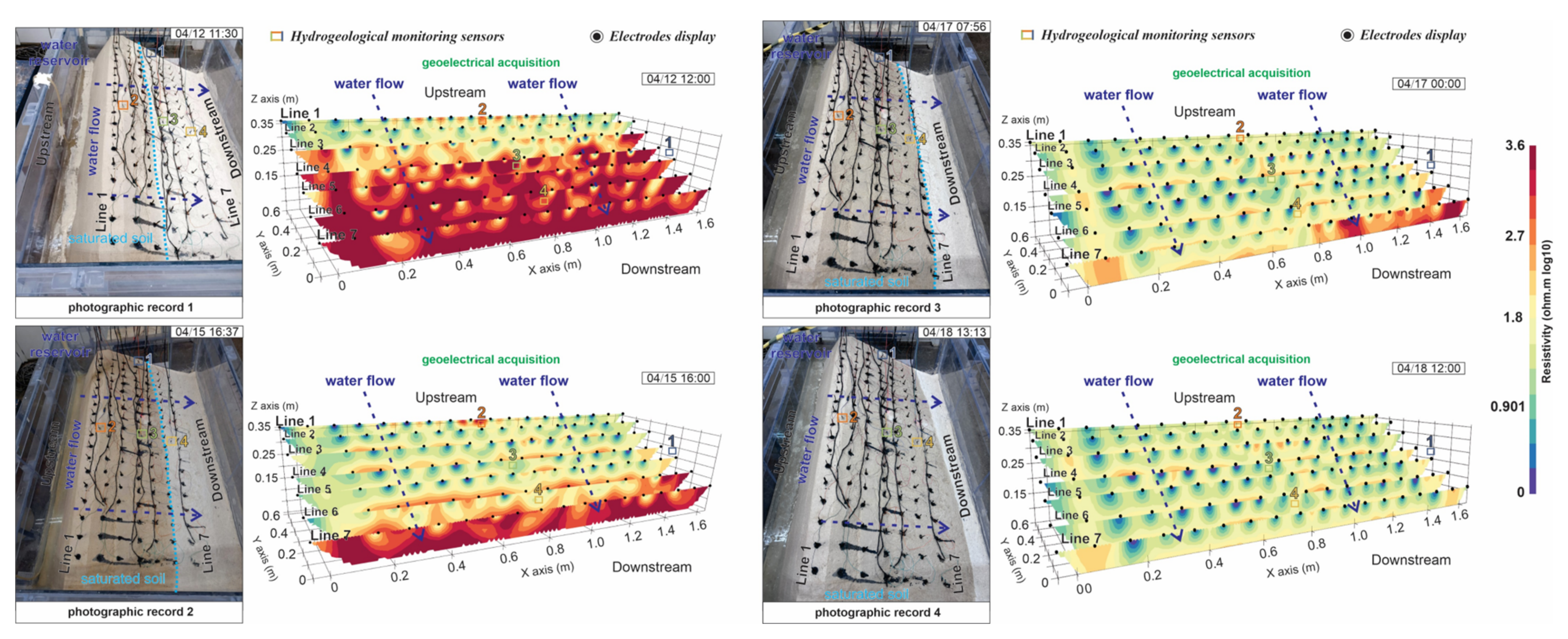


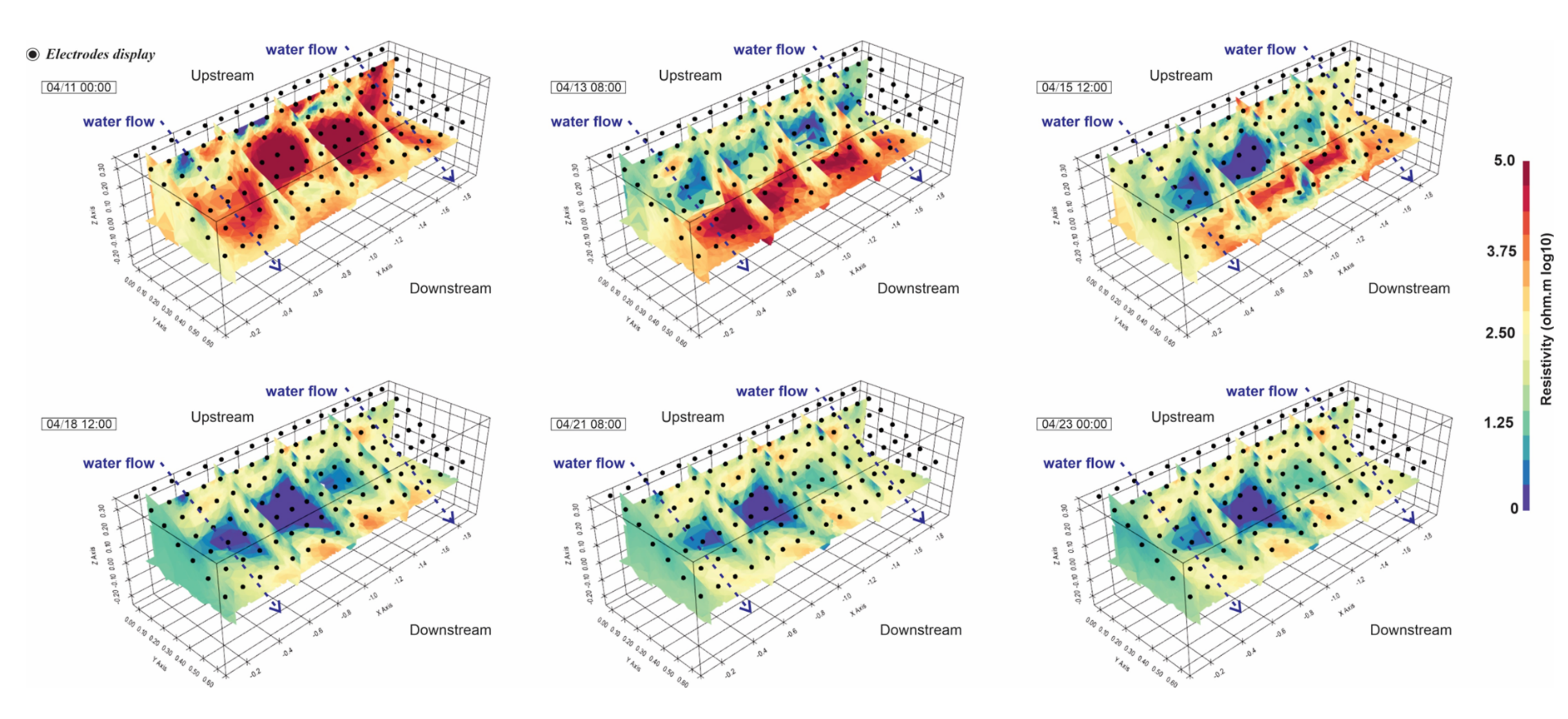




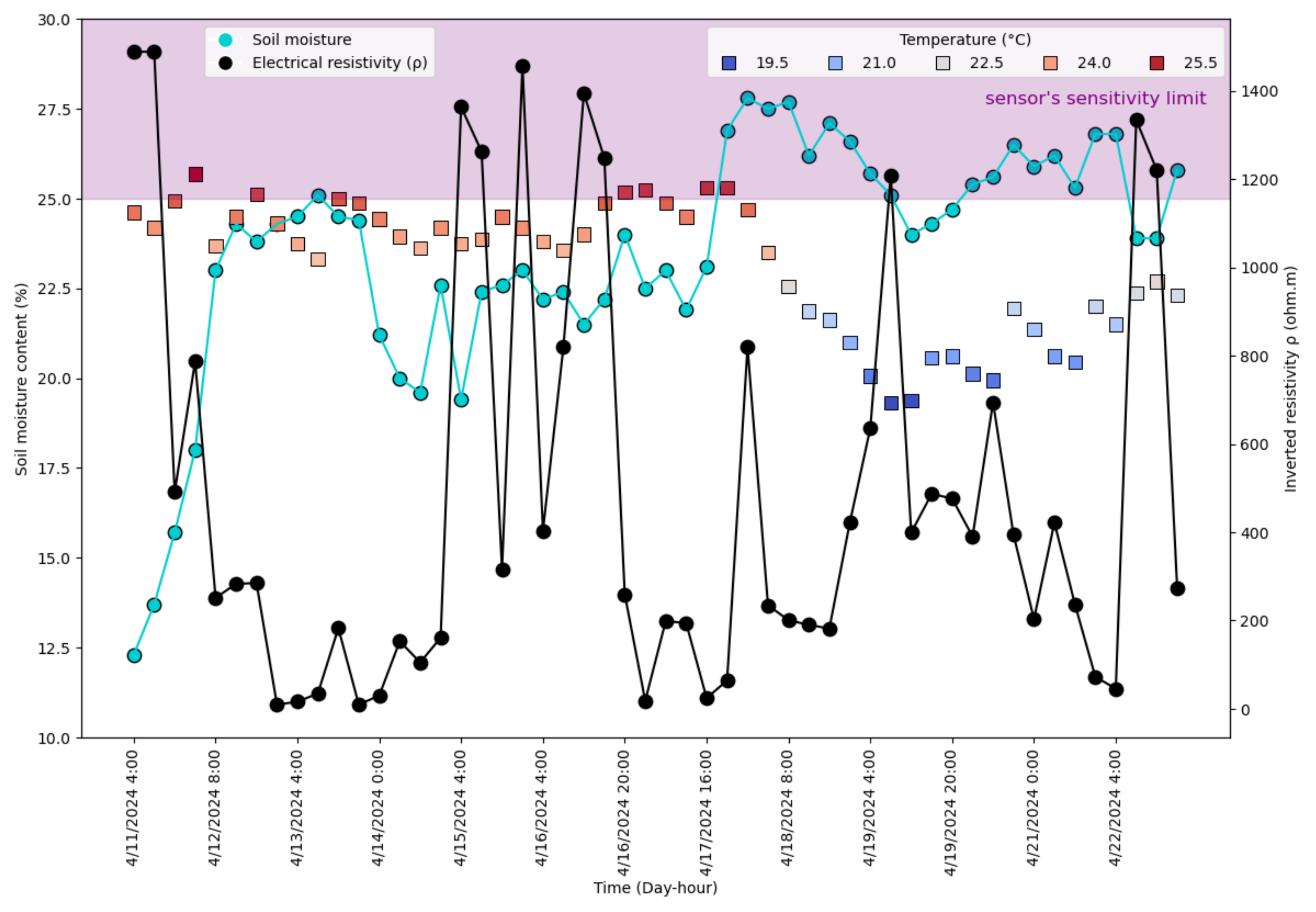
Fonte: Guireli Netto et al., 2025.

Avanço da frente de saturação do solo e a resposta geoelétrica

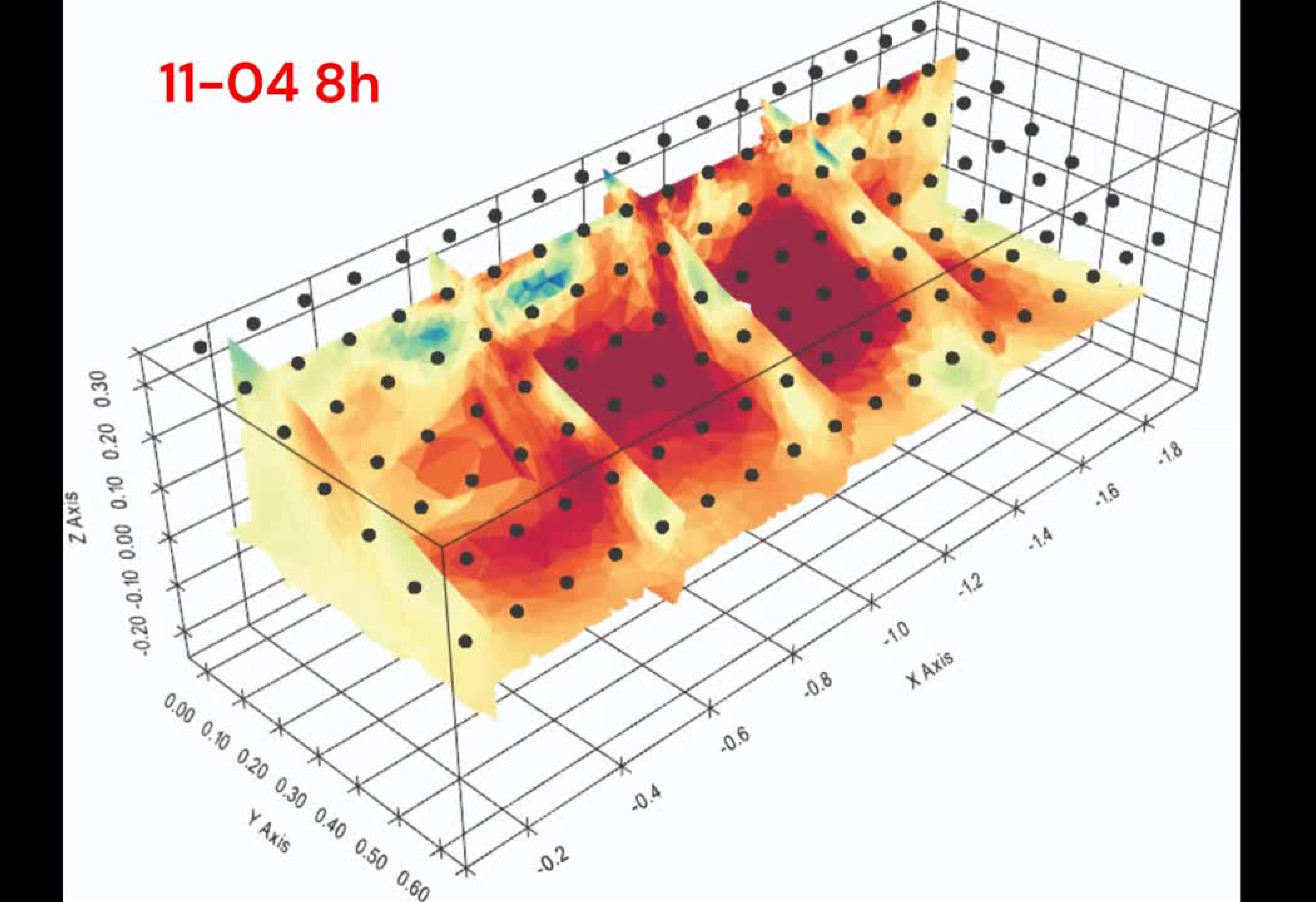




Fonte: Guireli Netto et al., 2025.



Fonte: Guireli Netto et al., 2025.



Estudos de casos em campo e laboratório

Guireli Netto, L., Orlando, P.D.G., Serafim, R., de Oliveira, M.P., Pereira, J.P.S., Heleno, A.F., Spinelli, T.M. & Arbieto, C.C. (2025). Monitoring water percolation in a laboratory compacted soil dam using time-lapse electrical resistivity tomography. Scientific Reports. 15, 14356. https://doi.org/10.1038/s41598-025-99325-w

Guireli Netto, L., Moreira, C.A., Albarelli, D.S.N.A., Gandolfo, O.C.B. & Ilha, L.M. (2025). Correlation Between Seismic Wave Velocities and Rock Quality in the Foundation of a Radionuclide Storage Dam. Pure and Applied Geophysics. https://doi.org/10.1007/s00024-025-03775-2

Guireli Netto, L., Moreira, C.A., Bianchi, H.M., Gandolfo, O.C.B. & Ilha, L.M. (2024). Characterization of Excavated Radionuclide Retention Ponds in a Uranium Mine in the Process of Decommissioning Using Geophysical Methods. Pure and Applied Geophysics. 181, 3313–3330. https://doi.org/10.1007/s00024-024-03602-0

Guireli Netto, L., Singha, K., Moreira, C.A., Gandolfo, O.C.B. & Albarelli, D.S.N.A. (2023). Investigation of fractured rock beneath a uranium-tailing storage dam through UAV digital photogrammetry and seismic refraction tomography. Frontiers in Earth Science. 11:1281076. https://doi.org/10.3389/feart.2023.1281076

Agradecimentos



















Obrigado pela atenção.